COMMITTENTE:



PROGETTAZIONE:



DIRETTRICE FERROVIARIA MESSINA - CATANIA - PALERMO NUOVO COLLEGAMENTO PALERMO - CATANIA

U.O. INFRASTRUTTURE SUD

PROGETTO DEFINITIVO

TRATTA LERCARA DIR. - CALTANISSETTA XIRBI (LOTTO 3)

Opere di sostegno viabilità - Lotto 3b

NV58: Muro di sottoscarpa MU83F

Relazione di calcolo

SCALA:
-

COMMESSA LOTTO FASE ENTE TIPO DOC. OPERA/DISCIPLINA PROGR. REV.

RS3T 30 D 78 CL MU83F0 001 C

Rev.	Descrizione	Redatto	Data	Verificato	Data	Approvato	Data	Autorizzato Data
Α	Emissione Esecutiva	ATI Sintagma Rocksoil - Edin	Feb-2020	A.Di Costanzo	Feb-2020	A.Barreca	Feb-2020	D.Tiberti
В	Emissione Esecutiva	ATI Sintagma Rocksoil - Edin	Apr-2020	A.Di Costanzo	Apr-2020	A.Barreca	Apr-2020	. Mar-2021
С	Emissione Esecutiva	ATI Sintagma Rocksoil - Edin	Mar-2021	A.Di Costanzo	Mar-2021	A.Barreca	Mar-2021	C. A. W. E. E.
				The second second				Service Servic
								Series of the se
								Ordine de

File: RS3T.3.0.D.78.CL.MU.83.F.0.001.C



DIRETTRICE FERROVIARIA MESSINA – CATANIA – PALERMO NUOVO COLLEGAMENTO PALERMO – CATANIA TRATTA VALLELUNGA – CALTANISETTA XIRBI (LOTTO 3b)

OPERE DI SOSTEGNO VIABILITA' – LOTTO 3B

LOTTO

30 D 78

NV58: MURO DI SOTTOSCARPA MU83F RELAZIONE DI CALCOLO COMMESSA RS3T CODIFICA CL

DOCUMENTO MU83F0 001

REV.

FOGLIO 1 di 90

INDICE

1.	PREMES	SSA		4
	1.1	DES	SCRIZIONE DELL'OPERA	∠
2.	NORMA	TIVA	DI RIFERIMENTO	8
3.	DOCUM	ENTI I	DI RIFERIMENTO	8
4.	UNITÀ I	OI MIS	URA E SIMBOLOGIA	9
5.	CARATT	TERIS.	ΓΙCHE DEI MATERIALI	10
	5.1	CAI	LCESTRUZZO	10
	5.2	ACC	CIAIO IN BARRE AD ADERENZA MIGLIORATA B450 C	13
6.	INQUAL)RAM	ENTO GEOTECNICO	14
7.	CRITER	I DI VI	ERIFICA	16
	7.1	VEF	RIFICHE GEOTECNICHE (SLU) IN CONDIZIONI STATICHE	16
	7	7.1.1	VERIFICA A SCORRIMENTO	18
	7	7.1.2	VERIFICA A RIBALTAMENTO	19
	7	7.1.3	VERIFICA A CARICO LIMITE DELLA FONDAZIONE	19
	7	7.1.4	VERIFICA A STABILITÀ GLOBALE	19
	7.2	VEF	RIFICHE GEOTECNICHE (SLV) IN CONDIZIONI SISMICHE	20
	7.3	VEF	RIFICHE GEOTECNICHE (SLE)	22
	7.4	VEF	RIFICHE STRUTTURALI SLU	23
	7	7.4.1	CRITERI DI VERIFICA DELLE SEZIONI IN C.A	23
	7	7.4.2	VERIFICHE PER GLI STATI LIMITE ULTIMI A FLESSIONE - PRESSOFLESSIONE	23
	7	7.4.3	VERIFICA AGLI STATI LIMITE ULTIMI A TAGLIO	23
	7.5	VEF	RIFICHE STRUTTURALI (SLE)	26
	7	7.5.1	VERIFICHE ALLE TENSIONI	26
	7	7.5.2	VERIFICHE A FESSURAZIONE	27
8.	ANALIS	I DEI (CARICHI	29
	8.1	PES	I PROPRI	29



NV58: MURO DI SOTTOSCARPA MU83F RELAZIONE DI CALCOLO
 COMMESSA
 LOTTO
 CODIFICA
 DOCUMENTO
 REV.
 FOGLIO

 RS3T
 30 D 78
 CL
 MU83F0 001
 C
 2 di 90

	8.2	CAI	RICHI PERMANENTI	31
		8.2.1	PARAPETTO METALLICO	31
		8.2.2	BARRIERA DI SICUREZZA	31
		8.2.3	SPINTA DEL TERRENO	31
	8.3	CAI	RICHI VARIABILI	33
		8.3.1	CARICHI MOBILI DA TRAFFICO	33
	8.4	VA	LUTAZIONE DELL'AZIONE SISMICA	34
		8.4.1	VITA NOMINALE	34
		8.4.2	CLASSE D'USO	34
		8.4.3	PERIODO DI RIFERIMENTO	34
		8.4.4	PARAMETRI SISMICI	34
9.	COMB	INAZIO	NI DI CARICO	39
10.	PROG	ETTO E	VERIFICA DEL MURO DI SOTTOSCARPA "TIPO 1"	43
	10.1	DA	ΓΙ DI INPUT	43
	10.2	. CAI	COLO DELLE AZIONI	46
		10.2.1	FORZE VERTICALI E INERZIALI	46
		10.2.2	SPINTE IN CONDIZIONE STATICA	48
		10.2.3	SPINTE IN CONDIZIONE SISMICA +	49
		10.2.4	SPINTE IN CONDIZIONE SISMICA	50
	10.3	VEI	RIFICHE GEOTECNICHE	51
		10.3.1 DRENA	VERIFICA STATICA A RIBALTAMENTO, SCORRIMENTO E CARICO LIMITE VERTICALE - C.	51
		10.3.2 DRENA	VERIFICA SISMICA A RIBALTAMENTO, SCORRIMENTO E CARICO LIMITE VERTICALE - C.	53
		10.3.3	VERIFICA DI STABILITÀ GLOBALE – COND. DRENATE	57
	10.4	VEI	RIFICHE STRUTTURALI	61
		10.4.1	CALCOLO DELLE SOLLECITAZIONI	61
		10.4.2	VERIFICHE SLU	63



NV58: MURO DI SOTTOSCARPA MU83F RELAZIONE DI CALCOLO
 COMMESSA
 LOTTO
 CODIFICA
 DOCUMENTO
 REV.
 FOGLIO

 RS3T
 30 D 78
 CL
 MU83F0 001
 C
 3 di 90

	10	0.4.3	VERIFICHE SLE TENSIONE	65
	10	0.4.4	VERIFICHE SLE FESSURAZIONE	66
11.	PROGET	то е у	/ERIFICA DEL MURO DI SOTTOSCARPA "TIPO 2"	67
	11.1	DAT	'I DI INPUT	67
	11.2	CAL	COLO DELLE AZIONI	70
	1.	1.2.1	FORZE VERTICALI E INERZIALI	70
	1.	1.2.2	SPINTE IN CONDIZIONE STATICA	72
	1.	1.2.3	SPINTE IN CONDIZIONE SISMICA +	73
	1.	1.2.4	SPINTE IN CONDIZIONE SISMICA -	74
	11.3	VER	IFICHE GEOTECNICHE	75
			VERIFICA STATICA A RIBALTAMENTO, SCORRIMENTO E CARICO LIMITE VERTICALE - C.	75
			VERIFICA SISMICA A RIBALTAMENTO, SCORRIMENTO E CARICO LIMITE VERTICALE - C.	77
	1.	1.3.3	VERIFICA DI STABILITÀ GLOBALE – COND. DRENATE	81
	11.4	VER	IFICHE STRUTTURALI	85
	1.	1.4.1	CALCOLO DELLE SOLLECITAZIONI	85
	1.	1.4.2	VERIFICHE SLU	87
	1.	1.4.3	VERIFICHE SLE TENSIONE	89
	1.	1.4.4	VERIFICHE SLE FESSURAZIONE	90

STALFERR GRUPPO FERROVIE DELLO STATO ITALIANE	NUOVO CO	LLEGAME	NTO PALERI	NA – CATANIA – MO – CATANIA SETTA XIRBI (LO – LOTTO 3B	. ,	
NV58: MURO DI SOTTOSCARPA MU83F RELAZIONE DI CALCOLO	COMMESSA RS3T	LOTTO 30 D 78	CODIFICA CL	DOCUMENTO MU83F0 001	REV.	FOGLIO

1. PREMESSA

Il presente documento si inserisce nell'ambito della redazione degli elaborati tecnici di progetto definitivo della direttrice ferroviaria Messina-Catania-Palermo, nuovo collegamento Palermo-Catania tratta Vallelunga – Caltanisetta Xirbi (Lotto 3b).

1.1 DESCRIZIONE DELL'OPERA

Nella presente relazione sono illustrati i calcoli e le verifiche del muro di sottoscarpa MU83F che si sviluppa in pianta dal 0+278.12 km al km 0+321.78 km, per uno sviluppo complessivo di 43 m (Figura 1-1, Figura 1-2).

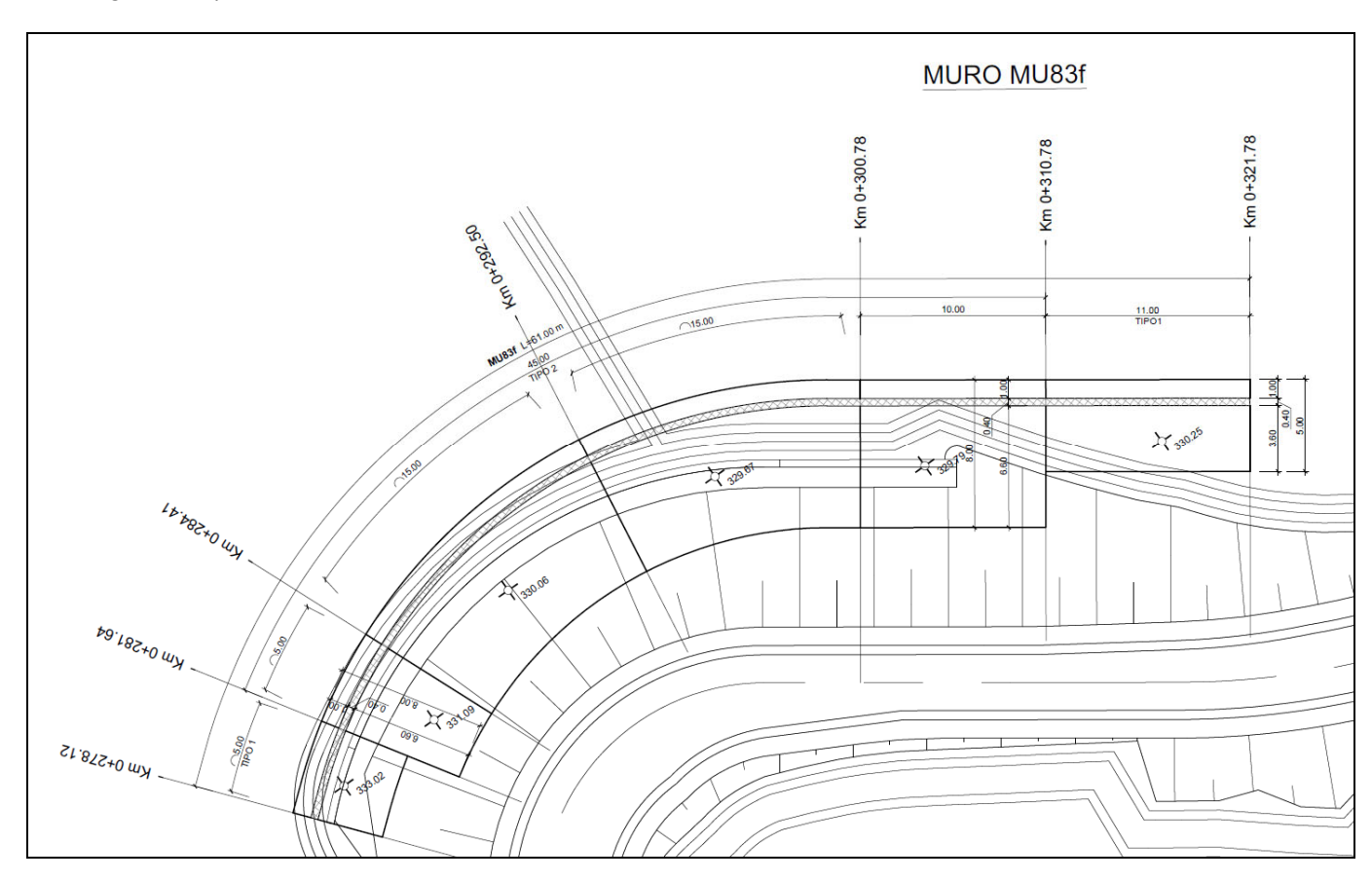


Figura 1-1 – NV58: Muro di sottoscarpa MU83F - Pianta.



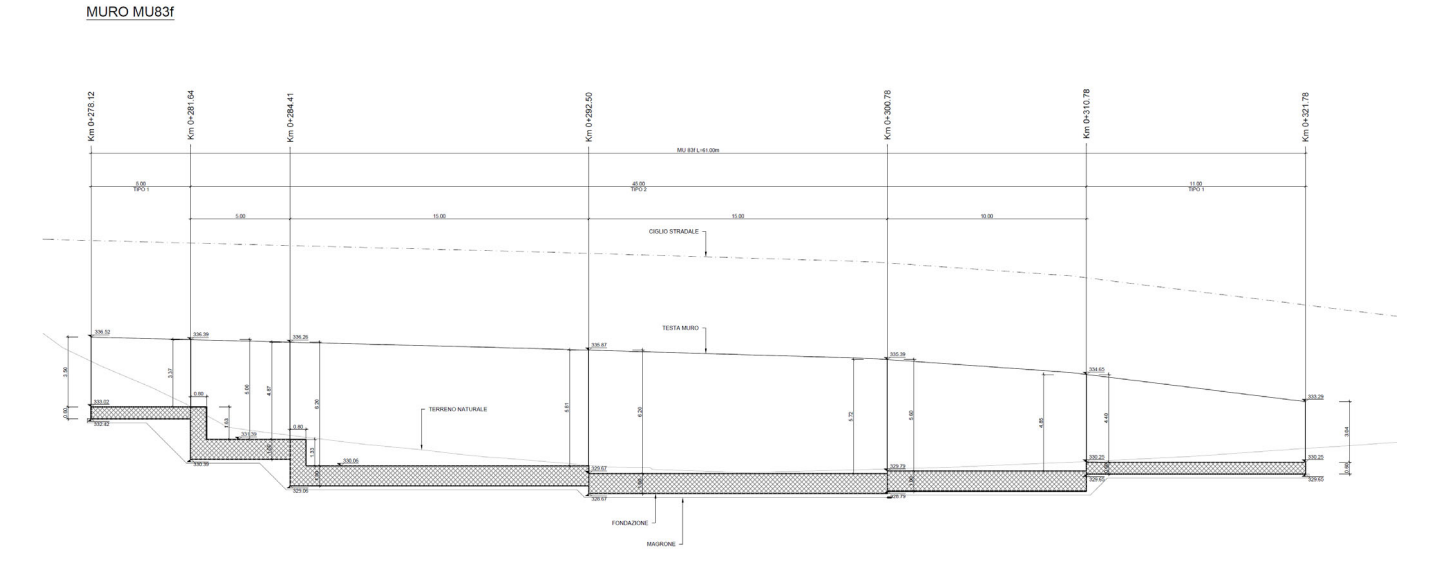


Figura 1-2 – NV58: Muro di sottoscarpa MU83F - Prospetto.

Quanto riportato di seguito consentirà di verificare che il dimensionamento della struttura è stato effettuato nel rispetto dei requisiti di resistenza richiesti all'opera.

L'altezza del muro è variabile con lo sviluppo dell'opera stessa fino ad un massimo di 6.20m, con spessore del paramento in testa di 0.4m, spessore della soletta di fondazione pari a 0.60m - 1.00m e larghezza della stessa pari a 5m - 9m.

STALFERR GRUPPO FERROVIE DELLO STATO ITALIANE	NUOVO CO	LLEGAME	NTO PALERI	NA – CATANIA – MO – CATANIA ISETTA XIRBI (LO – LOTTO 3B		0
NV58: MURO DI SOTTOSCARPA MU83F RELAZIONE DI CALCOLO	COMMESSA RS3T	LOTTO 30 D 78	CODIFICA	DOCUMENTO MU83F0 001	REV.	FOGLIO 6 di 90

Sono state individuate due tipologie di <u>"muro di sottoscarpa"</u> le cui caratteristiche sono di seguito riassunte:

• muro "tipo 1" per altezze comprese tra 2.00 e 4.50 metri la fondazione del muro è diretta ed è caratterizzata da una lunghezza di 5.00 m e spessore 0.60 m. Il ricoprimento sopra la zattera di valle è pari ad almeno 20 cm. L'altezza del paramento massima è pari a 4.50 m (Figura 1-3).

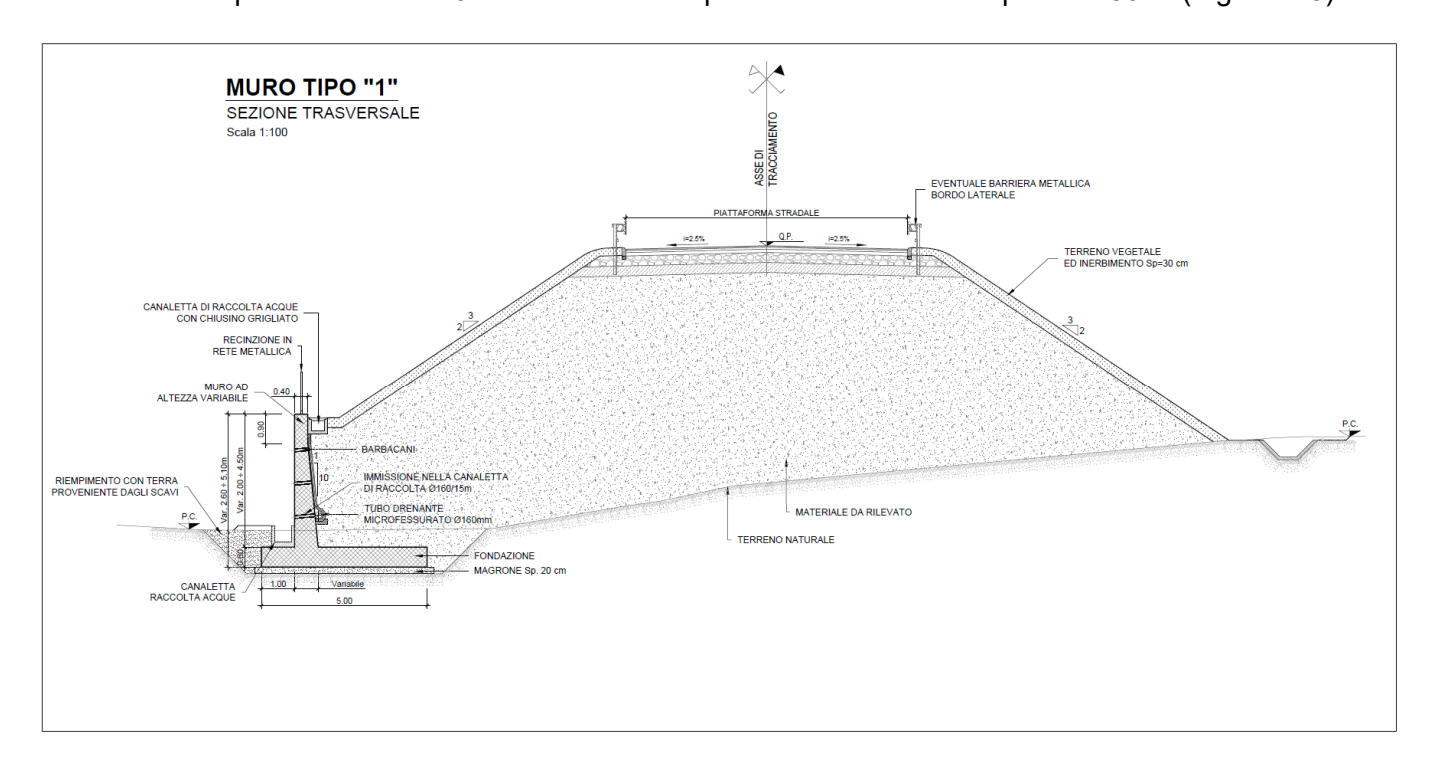


Figura 1-3 – NV58: Muro di sottoscarpa MU83F – Sezione tipo 1.

STALFERR GRUPPO FERROVIE DELLO STATO ITALIANE	NUOVO CO	LLEGAME	NTO PALERI	NA – CATANIA – MO – CATANIA ISETTA XIRBI (LO – LOTTO 3B		0
NV58: MURO DI SOTTOSCARPA MU83F RELAZIONE DI CALCOLO	COMMESSA RS3T	LOTTO 30 D 78	CODIFICA	DOCUMENTO MU83F0 001	REV.	FOGLIO 7 di 90

• muro "tipo 2" per altezze di paramento fino a 6.20 metri la fondazione del muro è diretta ed è caratterizzata da una lunghezza di 9.00 m e spessore 1.00 m. Il ricoprimento sopra la zattera di valle è pari ad almeno 20 cm. L'altezza del paramento massima è pari a 6.20 m (Figura 1-4).

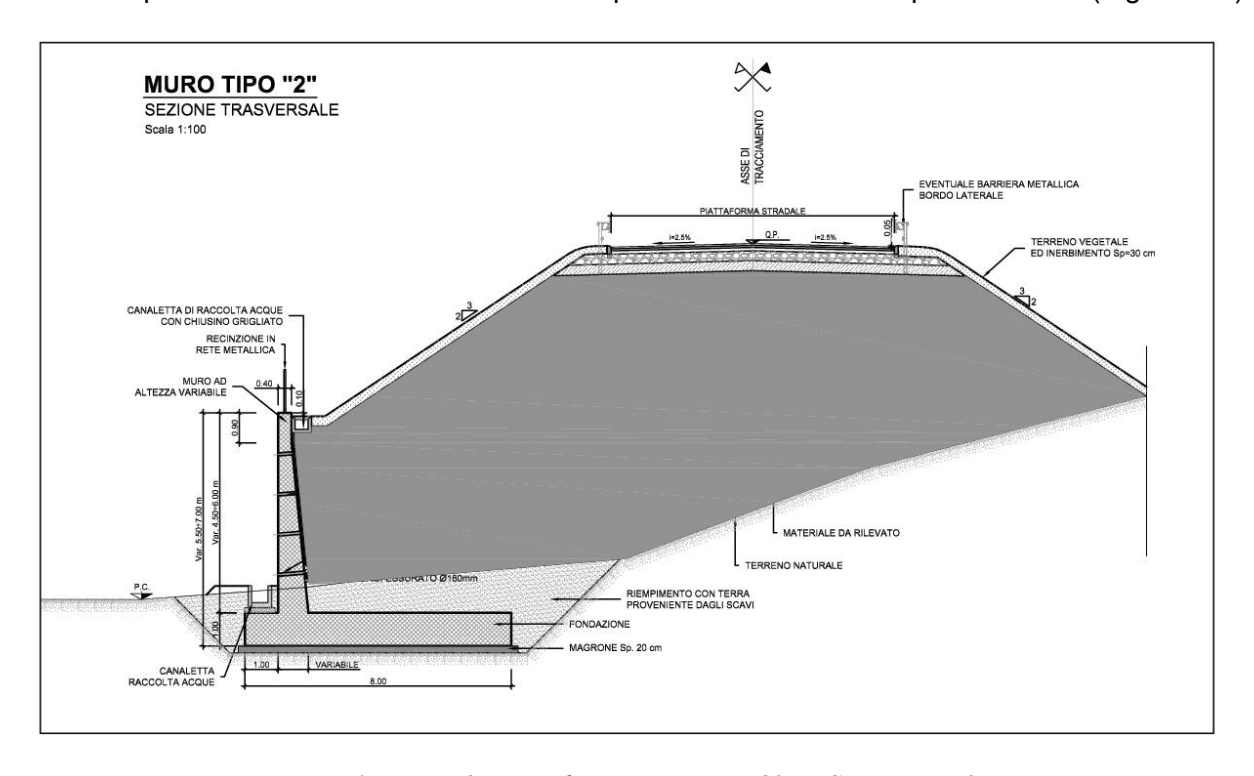


Figura 1-4 – NV58: Muro di sottoscarpa MU83F – Sezione tipo 2.

Di seguito si svolgerà la verifica per ogni tipo di muro precedentemente descritto caratterizzato dall'altezza di paramento massima.



NV58: MURO DI SOTTOSCARPA MU83F RELAZIONE DI CALCOLO
 COMMESSA
 LOTTO
 CODIFICA
 DOCUMENTO
 REV.
 FOGLIO

 RS3T
 30 D 78
 CL
 MU83F0 001
 C
 8 di 90

2. NORMATIVA DI RIFERIMENTO

L'interpretazione dei risultati e la redazione della presente relazione sono stati effettuati nel rispetto della Normativa in vigore.

I principali riferimenti normativi sono i seguenti:

Norme Tecniche per le Costruzioni - D.M. 17-01-18 (NTC-2018);

Circolare n. 7 del 21 gennaio 2019 - Istruzioni per l'Applicazione dell'aggiornamento delle Norme Tecniche per le Costruzioni di cui al Decreto Ministeriale 17 gennaio 2018;

Regolamento (UE) N.1299/2014 del 18 novembre 2014 della Commissione Europea. Relativo alle specifiche tecniche di interoperabilità per il sottosistema "infrastruttura" del sistema ferroviario dell'Unione Europea.

Eurocodici EN 1991-2: 2003/AC:2010 - Eurocodice 1 - Parte 2

RFI DTC SI MA IFS 001 C del 21-12-18 - Manuale di Progettazione delle Opere Civili

3. DOCUMENTI DI RIFERIMENTO

Vengono presi a riferimento i seguenti elaborati grafici progettuali di pertinenza:

RS3T.3.0.D.78.P9.MU.83.F.0.001: <u>"Opere di sostegno viabilità – Lotto 3b – NV58: Muro di sottoscarpa MU83F – Pianta, prospetto e sezioni"</u>

RS3T.3.0.D.78.TT.OC.00.0.0.007.A: <u>"Opere civili – Elaborati generali OO. CC. – Tabella incidenze armature Opere Civili Viabilità – Lotto 3b"</u>

RS3T.3.0.D.78.GE.GE.00.0.0.002.B: <u>"GEOTECNICA – Elaborati generali – Relazione geotecnica generale – opere all'aperto - Lotto 3b"</u>



DIRETTRICE FERROVIARIA MESSINA – CATANIA – PALERMO NUOVO COLLEGAMENTO PALERMO – CATANIA TRATTA VALLELUNGA – CALTANISETTA XIRBI (LOTTO 3b)

OPERE DI SOSTEGNO VIABILITA' – LOTTO 3B

LOTTO

30 D 78

NV58: MURO DI SOTTOSCARPA MU83F RELAZIONE DI CALCOLO COMMESSA RS3T CODIFICA

DOCUMENTO MU83F0 001

REV.

FOGLIO 9 di 90

4. UNITÀ DI MISURA E SIMBOLOGIA

Si utilizza il Sistema Internazionale (SI):

unità di misura principali

N (Newton) unità di forza

m (metro) unità di lunghezza

kg (kilogrammo-massa) unità di massa

s (secondo) unità di tempo

unità di misura derivate kN

(kiloNewton) 103N

MN (megaNewton) 106N

kgf (kilogrammo-forza) 1 kgf = 9.81 N

cm (centimetro) 10-2 m

mm (millimetro) 10-3 m

Pa (Pascal) 1 N/m2

kPa (kiloPascal) 103 N/m2

MPa (megaPascal) 106 N/m2

N/m3 (peso specifico)

g (accelerazione di gravità) ~9.81 m/s2

corrispondenze notevoli

1 MPa = 1 N/mm2

1 MPa ~ 10 kgf/cm2

Si utilizzano i seguenti principali simboli con le relative unità di misura normalmente adottate:

_v (gamma) peso dell'unità di volume (kN/m3)

 σ (sigma) tensione normale (N/mm2)



NV58: MURO DI SOTTOSCARPA MU83F RELAZIONE DI CALCOLO COMMESSA LOTTO
RS3T 30 D 78

CODIFICA

DOCUMENTO

REV. FOGLIO

30 D 78 CL MU83F0 001 C 10 di 90

 $_{ au}$ (tau) tensione tangenziale (N / mm2)

 ε (epsilon) deformazione (m/m)

φ (fi) angolo di resistenza (° sessagesimali)

5. CARATTERISTICHE DEI MATERIALI

Le caratteristiche dei materiali sono ricavate con riferimento alle indicazioni contenute nei capitoli 4 e 11 del D.M. 17 gennaio 2018. Nelle tabelle che seguono sono indicate le principali caratteristiche e i riferimenti dei paragrafi del D.M. citato.

5.1 CALCESTRUZZO

• Elemento strutturale: fondazione ed elevazione muro di sostegno

Classe di resistenza = C32/40;

Rck = resistenza cubica = 40 N/mm2;

fck = resistenza cilindrica caratteristica = 0.83 Rck = 33.20 N/ mm2;

fcm = resistenza cilindrica media = fck + 8 = 41.20 N/ mm2;

fcd = acc fck/yc = 18,81 N/mm2;

fctm = resistenza a trazione media = $0.30 \times fck^2/3 = 3.10 \text{ N/ mm2}$;

fcfm = resistenza a traz. per flessione media = 1.20 x fctm = 3.72 N/ mm2;

fcfk = resistenza a traz. per flessione carati. = 0.70 x fcfm = 2.60 N/ mm2;

Ecm = modulo elast. tra 0 e 0.40fcm = $22000 \text{ x (fcm/10)}^{0.3} = 33642.78 \text{ N/ mm2}$;

Tolleranza di posa del copriferro = 10 mm;

Classe di esposizione XC4

Copriferro minimo c_{min}= 50 mm

Condizioni ambientali: aggressive



NV58: MURO DI SOTTOSCARPA MU83F RELAZIONE DI CALCOLO

COMMESSA LOTTO CODIFICA RS3T

DOCUMENTO 30 D 78 CL MU83F0 001

REV. FOGLIO С 11 di 90

CALCOLO COPRIFERRO - § C4.1.6.1.3 ISTRUZIONI NTC 2018

 Elemento strutturale: fondazione ed elevazione muro di sostegno 	<u> – mur</u>	<u>o tipo 1</u>
Diametro (o diametro equivalente) barre longitudinali:	20	[mm]
Diametro staffe:	10	[mm]
Classe Calcestruzzo:	C32/4	0
Condizioni ambientali:	Aggre	ssive
Vita nominale costruzione:	75	[anni]
Tolleranza di posa:	10	[mm]
Copriferro staffe:		
Copriferro minimo c _{min} :	40	[mm]
Copriferro nominale Netto Staffe:	50	[mm]
Copriferro barre longitudinali:		
Copriferro nominale Netto barre longitudinali:	70	[mm]
Comiferno persinale del Devisantes della Deve la mitudia del	80	[mm]
Copriferro nominale dal Baricentro della Barra longitudinale:	00	[]
Copriterro nominale dal Baricentro della Barra longitudinale:	00	[IIIIII]
Elemento strutturale: <u>fondazione ed elevazione muro di sostegno</u>		-
		-
Elemento strutturale: <u>fondazione ed elevazione muro di sostegno</u>	o – mur	o tipo 2
Elemento strutturale: <u>fondazione ed elevazione muro di sostegno</u> Diametro (o diametro equivalente) barre longitudinali:	<u>0 – mur</u> 24	o tipo 2 [mm] [mm]
Elemento strutturale: <u>fondazione ed elevazione muro di sostegno</u> Diametro (o diametro equivalente) barre longitudinali: Diametro staffe:	<u>0 – mur</u> 24 14	o tipo 2 [mm] [mm]
Elemento strutturale: <u>fondazione ed elevazione muro di sostegno</u> Diametro (o diametro equivalente) barre longitudinali: Diametro staffe: Classe Calcestruzzo:	24 14 C32/4	o tipo 2 [mm] [mm]
Elemento strutturale: fondazione ed elevazione muro di sostegno Diametro (o diametro equivalente) barre longitudinali: Diametro staffe: Classe Calcestruzzo: Condizioni ambientali:	24 14 C32/4 Aggre	o tipo 2 [mm] [mm] 0 ssive
Elemento strutturale: fondazione ed elevazione muro di sostegno Diametro (o diametro equivalente) barre longitudinali: Diametro staffe: Classe Calcestruzzo: Condizioni ambientali: Vita nominale costruzione:	24 14 C32/4 Aggre	o tipo 2 [mm] [mm] 0 ssive [anni]
Elemento strutturale: fondazione ed elevazione muro di sostegno Diametro (o diametro equivalente) barre longitudinali: Diametro staffe: Classe Calcestruzzo: Condizioni ambientali: Vita nominale costruzione: Tolleranza di posa:	24 14 C32/4 Aggre	o tipo 2 [mm] [mm] 0 ssive [anni]
• Elemento strutturale: fondazione ed elevazione muro di sostegno Diametro (o diametro equivalente) barre longitudinali: Diametro staffe: Classe Calcestruzzo: Condizioni ambientali: Vita nominale costruzione: Tolleranza di posa: Copriferro staffe:	24 14 C32/4 Aggre 75 10	o tipo 2 [mm] [mm] o ssive [anni] [mm]



NV58: MURO DI SOTTOSCARPA MU83F RELAZIONE DI CALCOLO
 COMMESSA
 LOTTO
 CODIFICA
 DOCUMENTO
 REV.
 FOGLIO

 RS3T
 30 D 78
 CL
 MU83F0 001
 C
 12 di 90

Copriferro nominale Netto barre longitudinali: 78 [mm]

Copriferro nominale dal Baricentro della Barra longitudinale: 90 [mm]



NV58: MURO DI SOTTOSCARPA MU83F RELAZIONE DI CALCOLO
 COMMESSA
 LOTTO
 CODIFICA
 DOCUMENTO
 REV.
 FOGLIO

 RS3T
 30 D 78
 CL
 MU83F0 001
 C
 13 di 90

5.2 ACCIAIO IN BARRE AD ADERENZA MIGLIORATA B450 C

L'acciaio per cemento armato B450C è caratterizzato dai seguenti valori nominali delle tensioni caratteristiche di snervamento e rottura da utilizzare nei calcoli:

$f_{v \text{ nom}}$	450 N/mm ²
f _{t nom}	540 N/mm ²

Tabella 5-1 Tensioni caratteristiche acciaio.

E deve rispettare i requisiti indicati nella seguente tabella:

CARATTERISTICHE	REQUISITI	FRATTILE (%)
Tensione caratteristica di snervamento f _{yk}	$\geq f_{v \text{ nom}}$	5.0
Tensione caratteristica di rottura f _{tk}	$\geq f_{\rm t~nom}$	5.0
$(\mathbf{f}_t/\mathbf{f}_y)_k$	≥1,15 <1,35	10.0
$(f_v/f_{vnom})_k$	≤ 1,25	10.0
Allungamento (Agt)k:	≥ 7,5 %	10.0
Diametro del mandrino per prove di piegamento a 90 ° e successivo raddrizzamento senza cricche: φ < 12 mm	4φ	
12≤ φ ≤ 16 mm	5 ф	
per 16 < φ≤25 mm	8 ф	
per $25 < \phi \le 40 \text{ mm}$	10 ф	

Tabella 5-2 Requisiti acciaio.

Inoltre si ha:

- Es = 210000 N/mm2
- Sovrapposizioni barre ≥ 40φ

Resistenza di calcolo dell'acciaio per la verifica agli SLU (γs=1.15):

Resistenza di calcolo a rottura per trazione e deformazione corrispondente:

- fyd = fyk/ γ s 391.3 N/mm2
- $\epsilon yd = fyd/Es 0.186\%$



NV58: MURO DI SOTTOSCARPA MU83F RELAZIONE DI CALCOLO
 COMMESSA
 LOTTO
 CODIFICA
 DOCUMENTO
 REV.
 FOGLIO

 RS3T
 30 D 78
 CL
 MU83F0 001
 C
 14 di 90

6. INQUADRAMENTO GEOTECNICO

Il modello geotecnico di calcolo è stato definito sulla base di quanto riportato nella relazione geotecnica: Si riportano di seguito i terreni su cui poggiano i muri di sostegno lungo il tracciato, con i parametri fisici e meccanici ad essi assegnati. Da un'analisi dei dati a disposizione emerge che lo strato di terreno sul quale verrà impostato il piano di posa della fondazione dei muri di sostegno è caratterizzato dai valori dei parametri di calcolo riportati in Tabella 6-1. Per quanto riguarda i parametri meccanici assunti nel calcolo si sono considerati i valori medi dell'intervallo di variabilità riportato nel profilo geotecnico.

Unità litologiche da p.c.	da [m]	a [m]	γ [kN/m³]	c' _k [kPa]	φ' _k [°]	c _u [kPa]	<i>E₀</i> [MPa]
Coltre sup.	0	5.00	19	3	20	-	50

Tabella 6-1 – Valori di calcolo dei parametri geotecnici del terreno

In cui:

 γ = peso specifico del terreno;

 c'_k = coesione efficace;

 φ'_k = angolo d'attrito efficace;

 c_u = coesione non drenata;

 E_0 = Modulo dinamico del terreno;

Il rilevato a monte avrà superficie orizzontale.

La falda è posta ad una profondità superiore a 5.0 metri dal piano campagna.

Per le caratteristiche dei rilevati stradali si assumono i seguenti parametri:

- peso volume, y= 19 kN/m³;
- angolo d'attrito, φ ' = 35°;
- coesione efficace c' = 0 kPa.

GRUPPO FERROVIE DELLO STATO ITALIANE	NUOVO CO TRATTA VA	DIRETTRICE FERROVIARIA MESSINA – CATANIA – PALERMO NUOVO COLLEGAMENTO PALERMO – CATANIA TRATTA VALLELUNGA – CALTANISETTA XIRBI (LOTTO 3b) OPERE DI SOSTEGNO VIABILITA' – LOTTO 3B				
NV58: MURO DI SOTTOSCARPA MU83F	COMMESSA	LOTTO	CODIFICA	DOCUMENTO	REV.	FOGLIO
RELAZIONE DI CALCOLO	RS3T	30 D 78	CL	MU83F0 001	С	15 di 90

Per l'inquadramento geotecnico si rimanda alla "Relazione geotecnica generale" e ai relativi profili geotecnici.

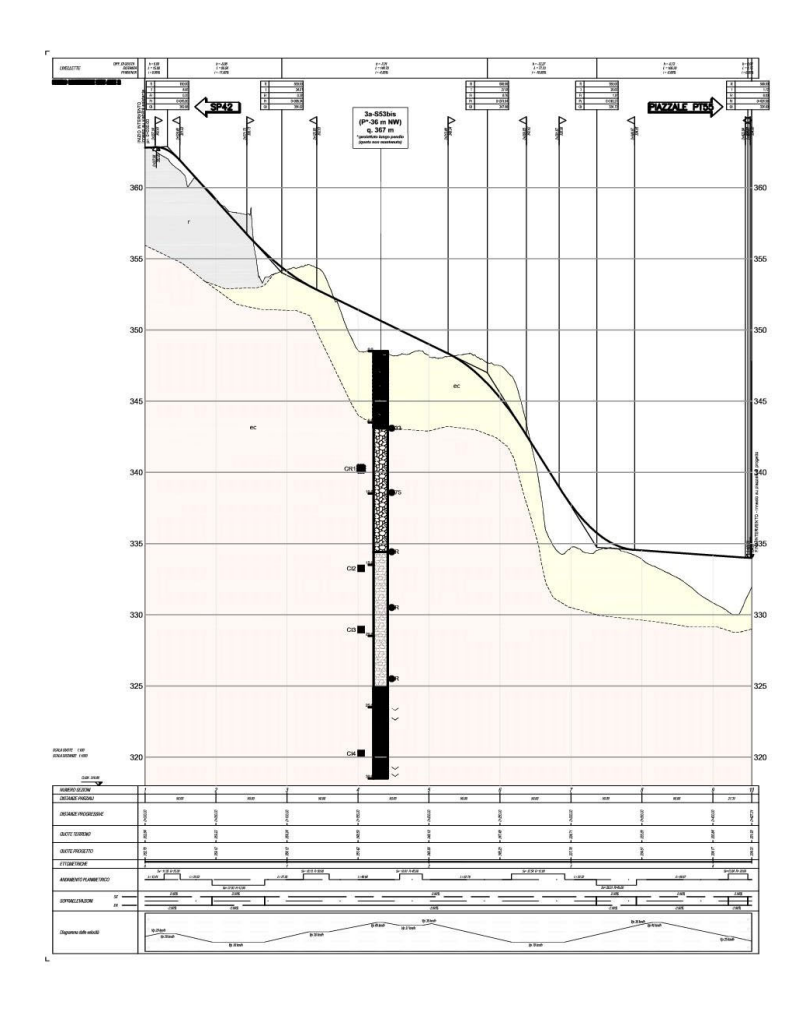


Figura 6-1 – Stralcio del profilo geotecnico.



7. CRITERI DI VERIFICA

7.1 VERIFICHE GEOTECNICHE (SLU) IN CONDIZIONI STATICHE

Nelle verifiche di sicurezza si è preso in considerazione tutti i meccanismi di stato limite ultimo sia a breve termine sia a lungo termine. Gli stati limite ultimi delle opere di sostegno si riferiscono allo sviluppo di meccanismi di collasso determinati dalla mobilitazione della resistenza del terreno, e al raggiungimento della resistenza degli elementi strutturali che compongono le opere stesse.

Per i muri di sostegno su fondazione diretta si considerano i seguenti Stati Limite Ultimi:

SLU di tipo geotecnico (GEO)

- · Scorrimento sul piano di posa;
- Collasso per carico limite del complesso fondazione-terreno;
- Ribaltamento;
- Stabilità globale del complesso opera di sostegno-terreno.

SLU di tipo strutturale (STR)

Raggiungimento della resistenza negli elementi strutturali.

La verifica di stabilità globale del complesso opera di sostegno – terreno deve essere effettuata, analogamente a quanto previsto al §6.8 delle NTC2018, secondo l'Approccio 1 – Combinazione 2 (A2+M2+R2), tenendo conto dei coefficienti parziali riportati nelle Tabelle 6.2.I, 6.2.II e 6.8.I delle NTC18.

Le rimanenti verifiche devono essere effettuate secondo l'Approccio 2 con la combinazione (A1+M1+R3), tenendo conto dei valori dei coefficienti parziali riportati nelle 6.2.I, 6.2.II, 6.4.II e 6.4.VI delle NTC18.

Il progetto e la verifica dei muri di sostegno sono stati effettuati con l'ausilio di fogli di calcolo nei quali vengono implementate tutte le caratteristiche geometriche dei muri insieme ai parametri di resistenza geotecnica.

Per ogni tipologia di muro di sostegno studiata, si è verificato che le caratteristiche geometriche siano tali che il muro possa essere considerato a mensola con suola lunga (vedere Figura 7-1), così come previsto al §3.10.3.3. del Manuale di Progettazione delle Opere Civili (RFI DTC SI MA IFS 001 C).



Si è considerato, pertanto, che la spinta sull'opera di sostegno agisca sul piano verticale cd, assunto come il paramento virtuale del muro.

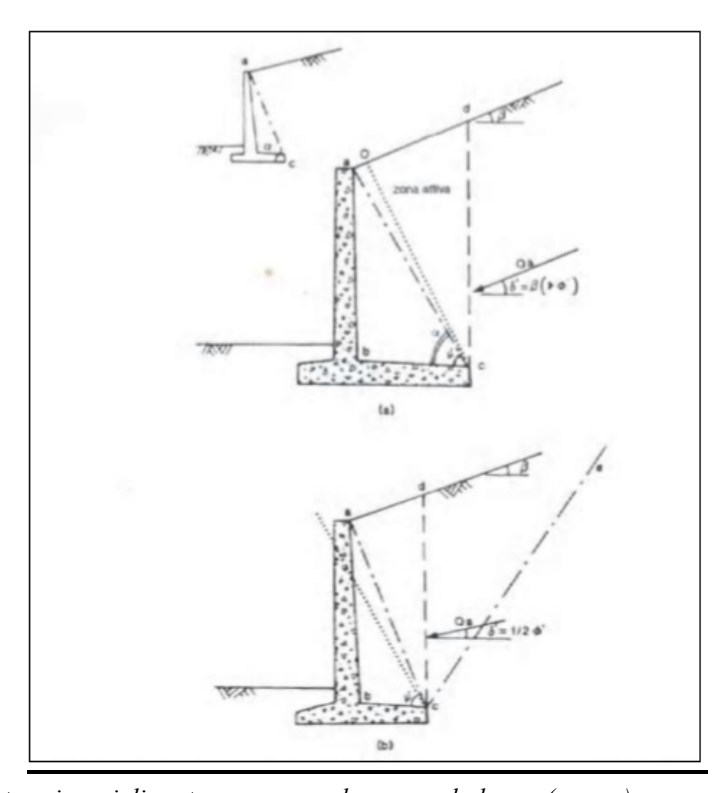


Figura 7-1 – Spinta sui muri di sostegno a mensola con suola lunga (caso a) e con suola corta (caso b).

Su tale paramento l'angolo di inclinazione δ della risultante della spinta (applicata ad 1/3 dell'altezza del paramento virtuale) si potrà assumere uguale all'angolo di inclinazione β del terrapieno, a meno che β non sia superiore all'angolo di resistenza al taglio del terreno ϕ ', nel qual caso si potrà assumere $\delta = \phi$ '.

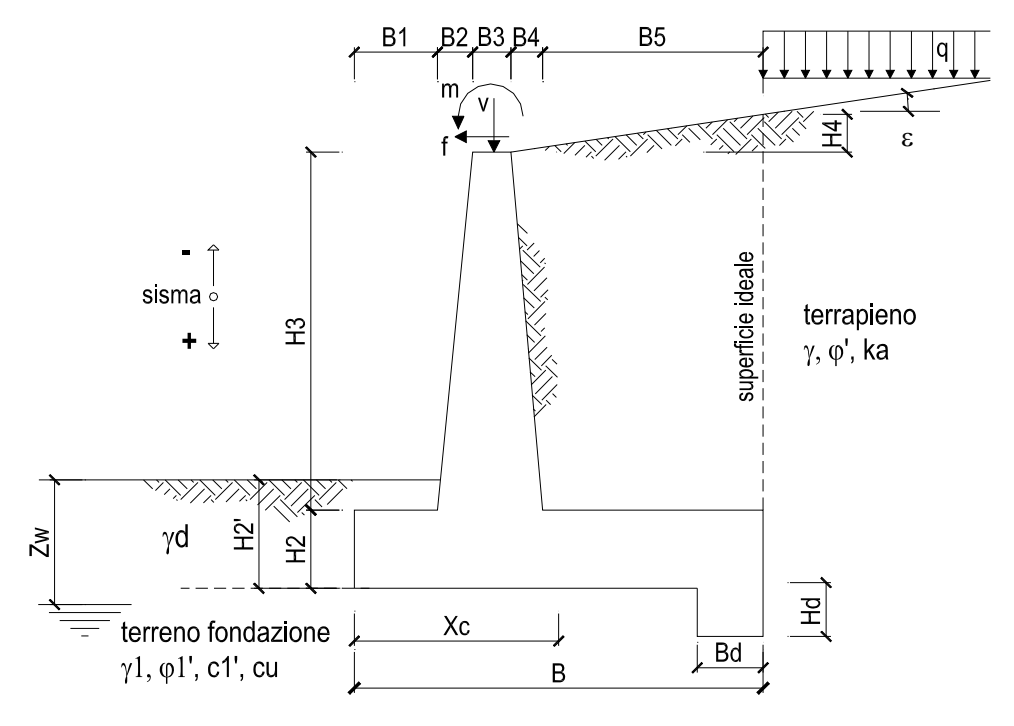
Il terreno al di sopra della suola (abcd) è stato considerato stabilizzante nelle verifiche, e ad esso sono da applicarsi le forze d'inerzia in fase sismica.

Inoltre nella verifica a scorrimento e a ribaltamento dei muri di sostegno viene trascurata la resistenza passiva antistante il muro.

Nel nostro caso l'angolo di attrito fondazione-terreno nelle verifiche a scorrimento è pari a $\phi'_{cv} = \arctan{(\tan{\phi'})}$

Le caratteristiche geometriche sono riportate sinteticamente nel seguente schema:





7.1.1 VERIFICA A SCORRIMENTO

La verifica dell'equilibrio allo stato limite di scorrimento viene condotta confrontando l'azione resistente R_h, pari al prodotto della risultante delle forze verticali per il coefficiente d'attrito con l'azione instabilizzante, pari alla risultante di tutte le componenti orizzontali delle forze agenti sul muro.

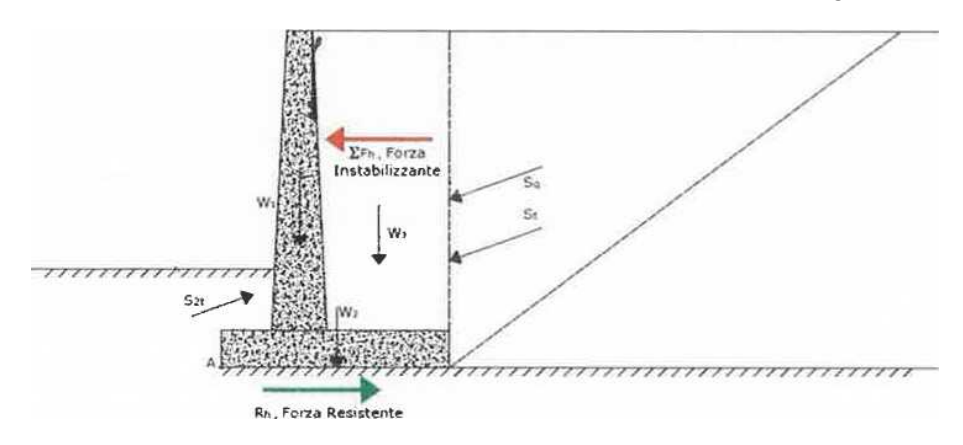


Figura 7-2 – Verifica a scorrimento.

In condizioni sismiche, ai fini del dimensionamento, si fa riferimento ad un sisma agente da monte verso valle del muro, in direzione orizzontale, dal basso verso l'alto e dall'alto verso il basso, in direzione verticale.



7.1.2 VERIFICA A RIBALTAMENTO

L'equilibrio allo stato limite è condotto confrontando il momento delle forze stabilizzanti e quello delle forze ribaltanti, entrambi rispetto all'estremo A di valle della fondazione.

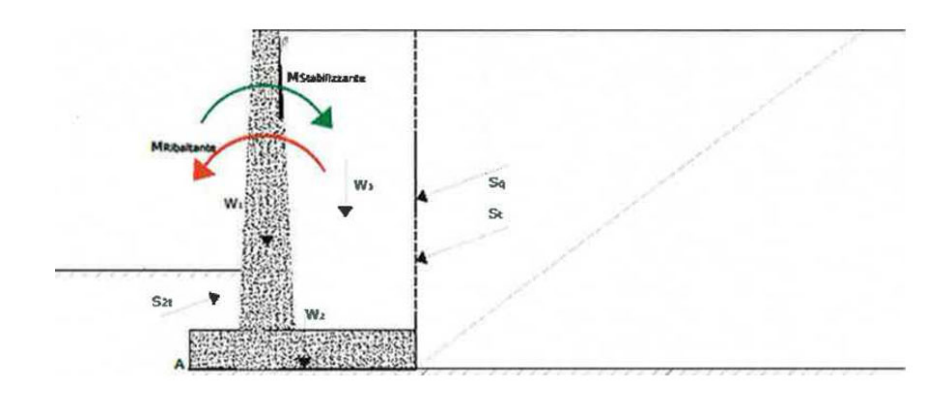


Figura 7-3— Verifica a ribaltamento.

7.1.3 VERIFICA A CARICO LIMITE DELLA FONDAZIONE

Per il calcolo della capacità portante della fondazione si è fatto riferimento alla formula di Brinch-Hansen (1970) integrata dai coefficienti sismici di Paolucci e Pecker (1995), di seguito riportata:

$$q_{lim} = c' \; N_c \; s_c \; d_c \; i_c \; b_c \; g_c \; z_c \; + \; q \; N_q \; s_q \; d_q \; i_q \; b_q \; g_q \; z_q \; + 0.5 \; \gamma \; B \; N \; s_\gamma \; d_\gamma \; i_\gamma \; b_\gamma \; g_\gamma \; z_\gamma \; d_\gamma \; i_\gamma \; b_\gamma \; g_\gamma \; z_\gamma \; d_\gamma \; i_\gamma \; b_\gamma \; g_\gamma \; z_\gamma \; d_\gamma \; i_\gamma \; b_\gamma \; g_\gamma \; z_\gamma \; d_\gamma \; i_\gamma \; b_\gamma \; g_\gamma \; z_\gamma \; d_\gamma \; i_\gamma \; b_\gamma \; g_\gamma \; z_\gamma \; d_\gamma \; i_\gamma \; b_\gamma \; g_\gamma \; z_\gamma \; d_\gamma \; i_\gamma \; b_\gamma \; g_\gamma \; z_\gamma \; d_\gamma \; i_\gamma \; b_\gamma \; g_\gamma \; z_\gamma \; d_\gamma \; i_\gamma \; b_\gamma \; g_\gamma \; z_\gamma \; d_\gamma \; i_\gamma \; b_\gamma \; g_\gamma \; z_\gamma \; d_\gamma \; i_\gamma \; b_\gamma \; g_\gamma \; z_\gamma \; d_\gamma \; i_\gamma \; b_\gamma \; g_\gamma \; z_\gamma \; d_\gamma \; i_\gamma \; b_\gamma \; g_\gamma \; z_\gamma \; d_\gamma \; i_\gamma \; b_\gamma \; g_\gamma \; z_\gamma \; d_\gamma \; i_\gamma \; b_\gamma \; g_\gamma \; d_\gamma \; d_\gamma \; i_\gamma \; b_\gamma \; g_\gamma \; d_\gamma \; d_\gamma$$

$$F_s = q_{lim} / q_{es}$$

con $q_{es} = N / (B'*L')$ la pressione dovuta al carico verticale.

7.1.4 VERIFICA A STABILITÀ GLOBALE

Per le verifiche di stabilità dei pendii naturali si ricorre, nell'ambito dei metodi all'equilibrio limite, ai cosiddetti metodi delle strisce, in particolare il metodo di Bishop. Si ipotizza una superficie cilindrica di scorrimento potenziale, S, si suddivide idealmente la porzione di terreno delimitato da questa e dalla superficie topografica in n conci e si analizza l'equilibrio limite di ciascun concio.



NV58: MURO DI SOTTOSCARPA MU83F RELAZIONE DI CALCOLO
 COMMESSA
 LOTTO
 CODIFICA
 DOCUMENTO
 REV.
 FOGLIO

 RS3T
 30 D 78
 CL
 MU83F0 001
 C
 20 di 90

7.2 VERIFICHE GEOTECNICHE (SLV) IN CONDIZIONI SISMICHE

L'analisi della sicurezza dei muri di sostegno in condizioni sismiche può essere eseguita mediante i metodi pseudo-statici e i metodi degli spostamenti.

L'analisi pseudo-statica si esegue mediante i metodi dell'equilibrio limite. Il modello di calcolo deve comprendere l'opera di sostegno, il volume di terreno a tergo dell'opera, che si suppone in stato di equilibrio limite attivo, e gli eventuali sovraccarichi agenti sul volume suddetto.

Nell'analisi pseudo-statica, l'azione sismica è rappresentata da una forza statica equivalente pari al prodotto delle forze di gravità per un opportuno coefficiente sismico.

Nelle verifiche, i valori dei coefficienti sismici orizzontale k_h e verticale k_v possono essere valutati mediante le espressioni

$$k_h = \beta_m \frac{a_g}{c}$$

$$k_v = \pm 0.5 k_h$$

dove:

 $\beta_{\rm m}$ = coefficiente di riduzione dell'accelerazione massima attesa al sito;

a_{max} = accelerazione orizzontale massima attesa al sito;

g = accelerazione di gravità.

In assenza di analisi specifiche della risposta sismica locale, l'accelerazione massima può essere valutata con la relazione

$$a_{max} = S \cdot a_g = (S_S \cdot S_T) \cdot a_g$$

dove:

S = coefficiente che comprende l'effetto dell'amplificazione stratigrafica (S_S) e dell'amplificazione topografica (S_T) di cui al paragrafo 3.2.3.2 delle NTC18.

Nella precedente espressione, il coefficiente di riduzione dell'accelerazione massima attesa al sito è pari a:

 β_m = 0.38 nelle verifiche allo stato limite ultimo (SLV)

 β_m = 0.47 nelle verifiche allo stato limite di esercizio (SLD)



NV58: MURO DI SOTTOSCARPA MU83F RELAZIONE DI CALCOLO
 COMMESSA
 LOTTO
 CODIFICA
 DOCUMENTO
 REV.
 FOGLIO

 RS3T
 30 D 78
 CL
 MU83F0 001
 C
 21 di 90

Per muri non liberi di subire spostamenti relativi rispetto al terreno, il coefficiente β_m assume valore unitario

Nel caso di muri liberi di traslare o di ruotare intorno al piede, si può assumere che l'incremento di spinta dovuta al sisma agisca nello stesso punto di quella statica. Negli altri casi, in assenza di studi specifici, si deve assumere che tale incremento sia applicato a metà altezza del muro.

Lo stato limite di ribaltamento deve essere trattato impiegando coefficienti parziali unitari sulle azioni e sui parametri geotecnici (paragrafo 7.11.1 delle NTC18) e utilizzando valori di β_m incrementati del 50% rispetto a quelli innanzi indicati e comunque non superiori all'unità.

In condizioni sismiche deve essere soddisfatta la verifica di stabilità del complesso muro – terreno con i criteri indicati al paragrafo 7.11.4 delle NTC2018.

Il calcolo della spinta in condizioni sismiche è stato effettuato impiegando la Teoria di Mononobe – Okabe.

La teoria di Mononobe – Okabe fa uso del metodo dell'equilibrio limite e può essere considerata una estensione della teoria di Coulomb, in cui, alle usuali spinte al contorno del cuneo instabile di terreno, sono sommate anche le azioni inerziali orizzontali e verticali dovute all'accelerazione delle masse.

Le spinte Attiva e Passiva si calcolano come:

$$S_{a,c} = \frac{1}{2} \gamma \cdot k_{as} \cdot h^2 \cdot (1 \mp k_s)$$

Il coefficiente k_{as} è valutato, quindi, secondo tale formulazione, in cui i simboli usati sono:

 ϕ = angolo di attrito interno del terrapieno;

 ψ = angolo di inclinazione rispetto all'orizzontale della parete interessata del muro;

 β = angolo di inclinazione rispetto all'orizzontale del profilo del terrapieno;

 δ = angolo di attrito terrapieno – muro;

 $\boldsymbol{\theta}$ = angolo di rotazione addizionale definito come segue.

$$tan\theta = \frac{k_h}{1 \mp k_s}$$

Il coefficiente per stati di spinta attiva si divide in due casi:



$$\beta \leq \phi - \theta \rightarrow k_{\alpha s} = \frac{\sin^2(\psi + \phi - \theta)}{\cos\theta \cdot \sin^2\psi \cdot \sin(\psi - \theta - \delta) \left[1 + \sqrt{\frac{\sin(\psi + \delta) \cdot \sin(\psi - \beta - \theta)}{\sin(\psi - \theta - \delta) \cdot \sin(\psi + \beta)}}\right]^2$$

$$\beta > \phi - \theta \rightarrow k_{as} = \frac{\sin^2(\psi + \phi - \theta)}{\cos\theta \cdot \sin^2\psi \cdot \sin(\psi - \theta - \delta)}$$

Il coefficiente per stati di spinta passiva è invece:

$$k_{ps} = \frac{\sin^2(\psi + \phi - \theta)}{\cos\theta \cdot \sin^2\psi \cdot \sin(\psi + \theta) \left[1 - \sqrt{\frac{\sin\phi \cdot \sin(\phi + \beta - \theta)}{\sin(\psi + \beta) \cdot \sin(\psi + \theta)}}\right]}$$

7.3 VERIFICHE GEOTECNICHE (SLE)

Per ciascun stato limite di esercizio deve essere rispettata la condizione [6.2.7] delle NTC 2018:

$$E_d \leq C_d$$

essendo E_d e C_d rispettivamente il valore di progetto dell'effetto delle azioni e il prescritto valore limite dell' effetto delle azioni (spostamenti, rotazioni, distorsioni, ecc.).

In particolare, dovranno essere valutati gli spostamenti delle opere di sostegno e del terreno circostante per verificarne la compatibilità con la funzionalità delle opere stesse e con la sicurezza e funzionalità dei manufatti adiacenti, anche a seguito di modifiche indotte sul regime delle pressioni interstiziali.

Per i lavori e le opere da realizzare in prossimità di linee ferroviarie già in esercizio, le verifiche agli SLE dovranno essere condotte assumendo come limite degli spostamenti indotti durante la costruzione sui binari in esercizio i valori limite dei difetti riferiti al secondo livello di qualità descritti nella specifica tecnica RFI TCAR ST AR 01 001 D "Standard di qualità geometrica del binario con velocità fino a 300 km/h" e relativi allegati.

Qualora vengano superati i limiti riferiti al primo livello di qualità, il progetto dovrà prevedere l'esecuzione di un monitoraggio del binario durante la costruzione al fine di controllare l'effettivo andamento delle deformazioni.



7.4 VERIFICHE STRUTTURALI SLU

Le verifiche di resistenza delle sezioni sono eseguite secondo il metodo semiprobabilistico agli stati limite. I coefficienti di sicurezza adottati sono i seguenti:

- coefficiente parziale di sicurezza per il calcestruzzo: 1.50;
- coefficiente parziale di sicurezza per l'acciaio in barre: 1.15;

Il paragrafo in oggetto illustra nel dettaglio i criteri generali adottati per le verifiche strutturali e geotecniche condotte nel progetto. Ulteriori dettagli di carattere specifico, laddove impiegati, sono dichiarati e motivati nelle relative risultanze delle verifiche.

7.4.1 CRITERI DI VERIFICA DELLE SEZIONI IN C.A.

Per le sezioni in cemento armato si effettuano:

- verifiche per gli stati limite ultimi a presso-flessione;
- · verifiche per gli stati limite ultimi a taglio;
- verifiche per gli stati limite di esercizio.

7.4.2 VERIFICHE PER GLI STATI LIMITE ULTIMI A FLESSIONE - PRESSOFLESSIONE

Allo stato limite ultimo, le verifiche a flessione o presso-flessione sono condotte confrontando (per le sezioni più significative) le resistenze ultime e le sollecitazioni massime agenti, valutando di conseguenza il corrispondente fattore di sicurezza.

7.4.3 VERIFICA AGLI STATI LIMITE ULTIMI A TAGLIO

La verifica allo stato limite ultimo per azioni di taglio è condotta secondo quanto prescritto dal DM17/01/2018, per elementi con armatura a taglio verticali.

Si fa, pertanto, riferimento ai seguenti valori della resistenza di calcolo:

- resistenza di calcolo dell'elemento privo di armatura a taglio:

$$V_{Rd} = \max \left\{ \left[0.18 \cdot k \cdot (100 \cdot \rho_1 \cdot f_{ck})^{1/3} / \gamma_c + 0.15 \cdot \sigma_{cp} \right] b_w \cdot d; \ (v_{\min} + 0.15 \cdot \sigma_{cp}) \cdot b_w d \right\}$$

- valore di progetto dello sforzo di taglio che può essere sopportato dall'armatura a taglio alla tensione di snervamento:



$$V_{Rsd} = 0.9 \cdot d \cdot \frac{A_{sw}}{s} \cdot f_{yd} \cdot (ctg\alpha + ctg\theta) \cdot sin \alpha$$

- valore di progetto del massimo sforzo di taglio che può essere sopportato dall'elemento, limitato dalla rottura delle bielle compresse:

$$V_{Red} = 0.9 \cdot d \cdot b_w \cdot \alpha_c v \cdot f_{ed} (ctg\alpha + ctg\theta)/(1 + ctg^2 \theta)$$

Nelle espressioni precedenti, i simboli hanno i seguenti significati:

$$k = 1 + \sqrt{\frac{200}{d}} \le 2 \text{ con d in mm};$$

$$\rho_1 = \frac{A_{sl}}{b_{xs} \cdot d} \leq 0.02;$$

A_{sl} è l'area dell'armatura tesa;

 \mathbf{b}_{w} è la larghezza minima della sezione in zona tesa;

$$\sigma_{\rm op} = \frac{N_{\rm Ed}}{A_{\rm o}} < 0.2 \cdot f_{\rm od}$$
;

N_{Ed} è la forza assiale nella sezione dovuta ai carichi;

A_c è l'area della sezione di calcestruzzo;

$$v_{\min} = 0.035 \cdot k^{3/2} \cdot f_{ok}^{-1/2}$$

1 ≤ cot € ≤ 2.5 è l'inclinazione dei puntoni di calcestruzzo rispetto all'asse della trave;

A_{sw} è l'area della sezione trasversale dell'armatura a taglio;

s è il passo delle staffe;

f_{vwd} è la tensione di snervamento di progetto dell'armatura a taglio;

 $\mathbf{f}_{od}^{t} = 0.5 \cdot \mathbf{f}_{od}$ è la resistenza ridotta a compressione del calcestruzzo d'anima;



NV58: MURO DI SOTTOSCARPA MU83F RELAZIONE DI CALCOLO
 COMMESSA
 LOTTO
 CODIFICA
 DOCUMENTO
 REV.
 FOGLIO

 RS3T
 30 D 78
 CL
 MU83F0 001
 C
 25 di 90

 $\alpha_{LW} = 1$ è un coefficiente che tiene conto dell'interazione tra la tensione nel corrente compresso e qualsiasi tensione di compressione assiale.

Nel primo caso, si esegue il controllo delle tensioni nei materiali supponendo una legge costitutiva tensioni-deformazioni di tipo lineare. In particolare si controlla la tensione massima di compressione del calcestruzzo e di trazione dell'acciaio, verificando che:

 σ_c < 0.55 f_{ck} per combinazione di carico caratteristica (rara);

 σ_c < 0.40 f_{ck} per combinazione di carico quasi permanente;

 σ_s < 0.75 f _k per combinazione di carico caratteristica (rara).

Nel secondo caso, si assume che le condizioni ambientali del sito in cui sorge l'opera siano ordinarie e aggressive, rispettivamente per la zattera di fondazione e per il paramento verticale, e si verifica che il valore limite di apertura della fessura, calcolato per armature poco sensibili, sia al più pari ai seguenti valori nominali:

 $w_1 = 0.2$ mm per condizioni ambientali aggressive (comb. Frequente e quasi permanente);

w₂= 0.3 mm per condizioni ambientali ordinarie (comb. Frequente e quasi permanente).



7.5 VERIFICHE STRUTTURALI (SLE)

La verifica nei confronti degli Stati limite di esercizio, consiste nel controllare, con riferimento alle sollecitazioni di calcolo corrispondenti alle Combinazioni di Esercizio il tasso di Lavoro nei Materiali e l'ampiezza delle fessure attesa, secondo quanto di seguito specificato

7.5.1 VERIFICHE ALLE TENSIONI

La verifica delle tensioni in esercizio consiste nel controllare il rispetto dei limiti tensionali previsti per il calcestruzzo e per l'acciaio per ciascuna delle combinazioni di carico caratteristiche "Rara" e "Quasi Permanente"; i valori tensionali nei materiali sono valutati secondo le note teorie di analisi delle sezioni in c.a. in campo elastico e con calcestruzzo "non reagente" adottando come limiti di riferimento, trattandosi nel caso in specie di opere Ferroviarie, quelli indicati nel documento "Manuale di progettazione opere civili"

Strutture in c.a.

Tensioni di compressione del calcestruzzo

Devono essere rispettati i seguenti limiti per le tensioni di compressione nel calcestruzzo:

- per combinazione di carico caratteristica (rara): 0,55 fok;
- per combinazioni di carico quasi permanente: 0,40 fek;
- per spessori minori di 5 cm, le tensioni normali limite di esercizio sono ridotte del 30%.

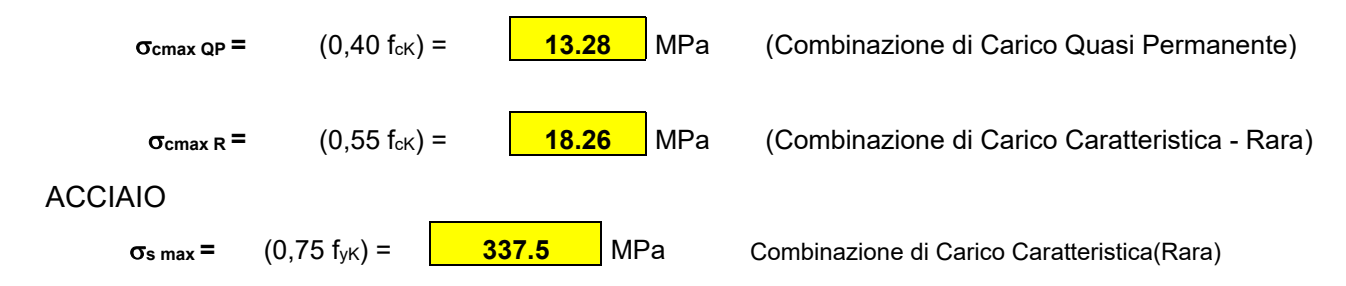
Tensioni di trazione nell'acciaio

Per le armature ordinarie, la massima tensione di trazione sotto la combinazione di carico caratteristica (rara) non deve superare $0.75 f_{vk}$.

Per il caso in esame risulta in particolare :

• Muro di sostegno:

CALCESTRUZZO





7.5.2 VERIFICHE A FESSURAZIONE

La verifica di fessurazione consiste nel controllare l'ampiezza dell'apertura delle fessure sotto combinazione di carico frequente e combinazione quasi permanente. Essendo la struttura a contatto col terreno si considerano condizioni ambientali aggressive; le armature di acciaio ordinario sono ritenute poco sensibili [NTC – Tabella 4.1.IV]

In relazione all'aggressività ambientale e alla sensibilità dell'acciaio, l'apertura limite delle fessure è riportato nel prospetto seguente:

المانية المانية			Armatura					
Gruppi di Condiz	Condizioni ambientali	Combinazione di azione	Sensibile	Poco sensibile				
esigenza			Stato limite wo		Stato limite	wd		
a Ordinarie		frequente	ap. fessure	≤w ₂	ap. fessure	≤w ₃		
a Ordinarie	quasi permanente	ap. fessure	≤w ₁	ap. fessure	≤w ₂			
h	Aggregaive	frequente	ap. fessure	≤w ₁	ap. fessure	≤w ₂		
b Aggressive		quasi permanente	decompressione	-	ap. fessure	≤w ₁		
c I	Molto Aggressive	frequente	formazione fessure	-	ap. fessure	≤w ₁		
		quasi permanente	decompressione	-	ap. fessure	≤w ₁		

Tabella 4.1.III - Descrizione delle condizioni ambientali

CONDIZIONI AMBIENTALI	CLASSE DI ESPOSIZIONE
Ordinarie	X0, XC1, XC2, XC3, XF1
Aggressive	XC4, XD1, XS1, XA1, XA2, XF2, XF3
Molto aggressive	XD2, XD3, XS2, XS3, XA3, XF4

Tabella 7-1 – Criteri di scelta dello stato limite di fessurazione e condizioni ambientali

Risultando:

w1= 0.2 mm

w2 = 0.3 mm

w3 = 0.4 mm

Alle prescrizioni normative presenti in NTC si sostituiscono in tal caso quelle fornite dalle specifiche RFI (Manuale di progettazione delle opere civili parte II sezione 2 – Requisiti concernenti la fessurazione per strutture in c.a., c.a.p. e miste acciaio-calcestruzzo) secondo cui la verifica nei confronti dello stato limite di apertura delle fessure va effettuata utilizzando le sollecitazioni derivanti dalla combinazione caratteristica (rara).

Per tutte le strutture a permanente contatto con il terreno e per le zone non ispezionabili di tutte le strutture, l'apertura convenzionale delle fessure dovrà risultare:

Combinazione Caratteristica (Rara)

 $\delta_f \le w_1 = 0.2 \, mm$



Riguardo infine il valore di calcolo delle fessure da confrontare con i valori limite fissati dalla norma, si è è utilizzata la procedura prevista al punto "C4.1.2.2.4.5 Verifica allo stato limite di fessurazione" della Circolare n.7/19.

GRUPPO FERROVIE DELLO STATO ITALIANE	DIRETTRICE FERROVIARIA MESSINA – CATANIA – PALERMO NUOVO COLLEGAMENTO PALERMO – CATANIA TRATTA VALLELUNGA – CALTANISETTA XIRBI (LOTTO 3b) OPERE DI SOSTEGNO VIABILITA' – LOTTO 3B					0
NV58: MURO DI SOTTOSCARPA MU83F RELAZIONE DI CALCOLO	COMMESSA RS3T	LOTTO 30 D 78	CODIFICA	DOCUMENTO MU83F0 001	REV.	FOGLIO 29 di 90

8. ANALISI DEI CARICHI

Nel seguente paragrafo si descrivono i carichi elementari che agiscono sulla struttura in oggetto. Tali azioni sono definite secondo le normative e sono utilizzate per la generazione delle combinazioni di carico nell'ambito delle verifiche di resistenza, in esercizio ed in presenza dell'evento sismico.

Tutti i carichi elementari si riferiscono all'unità di sviluppo del muro, pertanto sono tutti definiti rispetto all'unità di lunghezza.

8.1 PESI PROPRI

Il peso proprio del muro è calcolato in automatico dal foglio di calcolo elettronico.

I dati di input per i muri su fondazione diretta sono i seguenti:

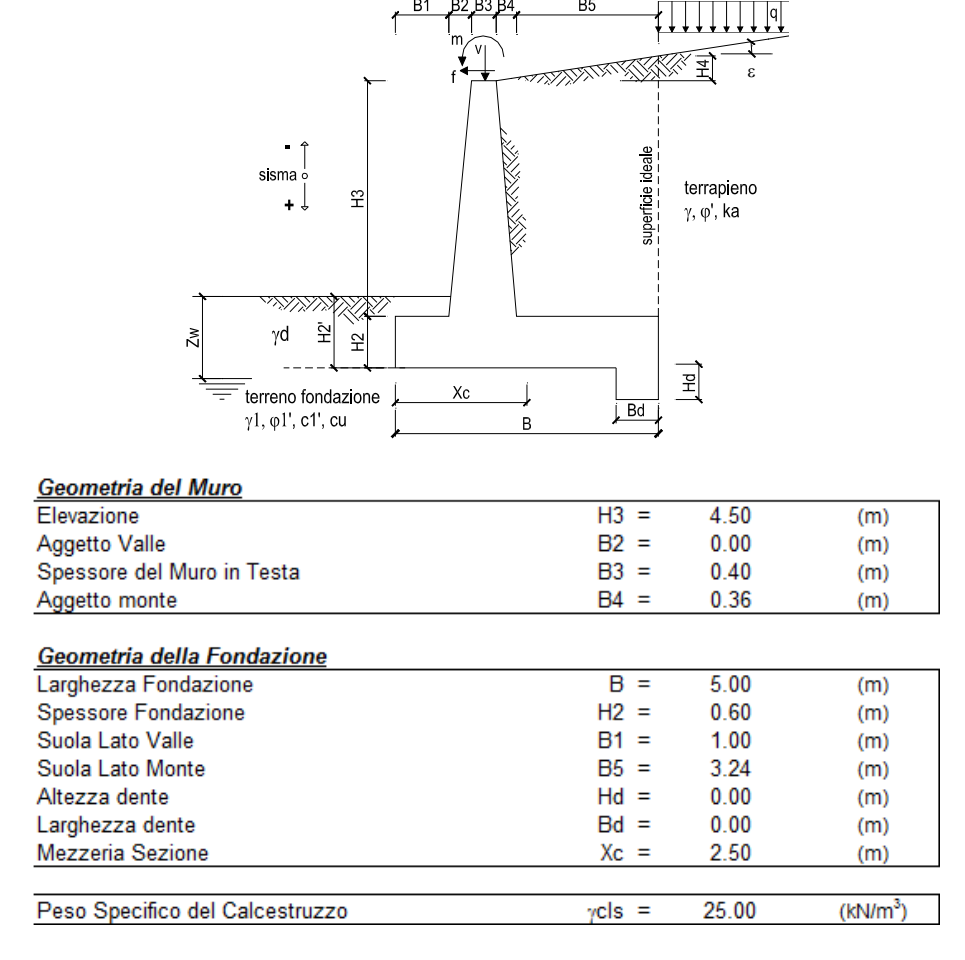


Figura 8-1 – Caratteristiche geometriche muri di sostegno con fondazione diretta – tipo 1.



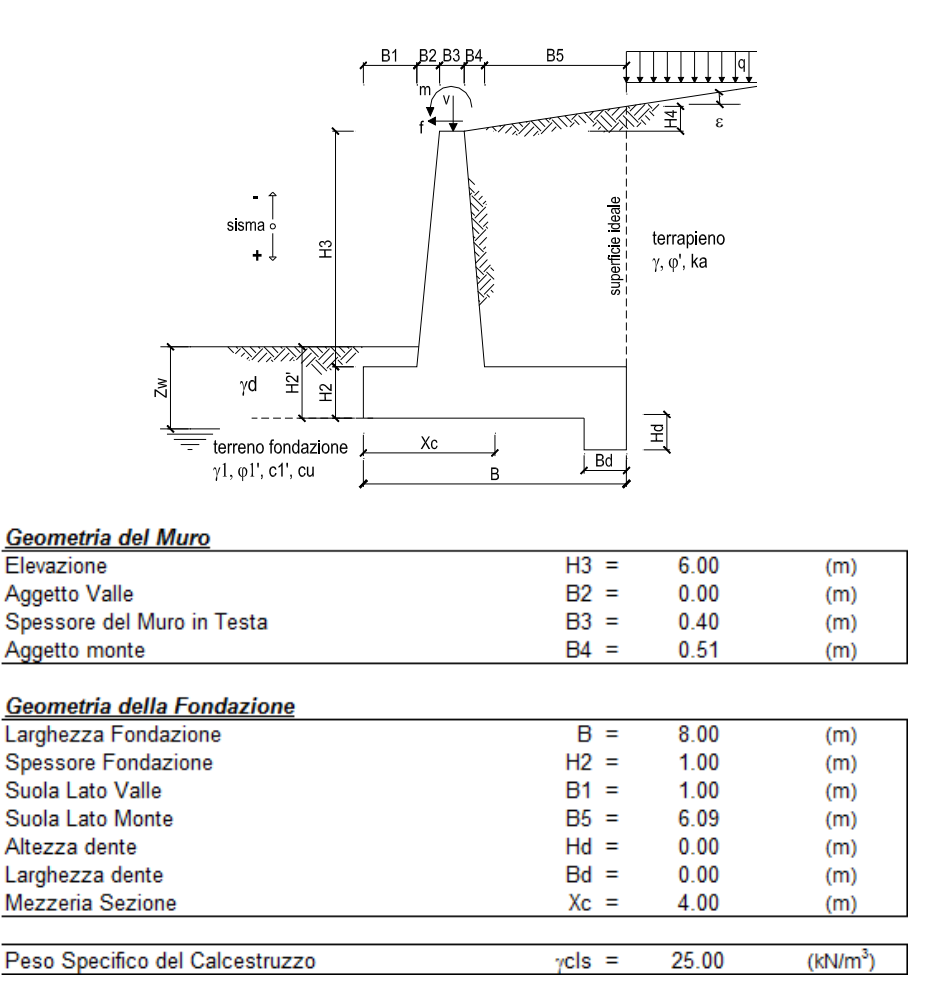


Figura 8-2 – Caratteristiche geometriche muri di sostegno con fondazione diretta – tipo 2.



8.2 CARICHI PERMANENTI

8.2.1 PARAPETTO METALLICO

Per il parapetto metallico si considerano le seguenti azioni agenti sul muro:

 $V_{parapetto} = 1.00 \text{ kN/m}$

8.2.2 BARRIERA DI SICUREZZA

Per la barriera di sicurezza si considerano le seguenti azioni agenti sul muro:

 $V_{barriera} = 2.50 \text{ kN/m}$

8.2.3 SPINTA DEL TERRENO

A tergo del muro agisce la spinta del terreno del rilevato.

La spinta in condizioni di esercizio viene calcolata con il coefficiente di spinta attiva ka.

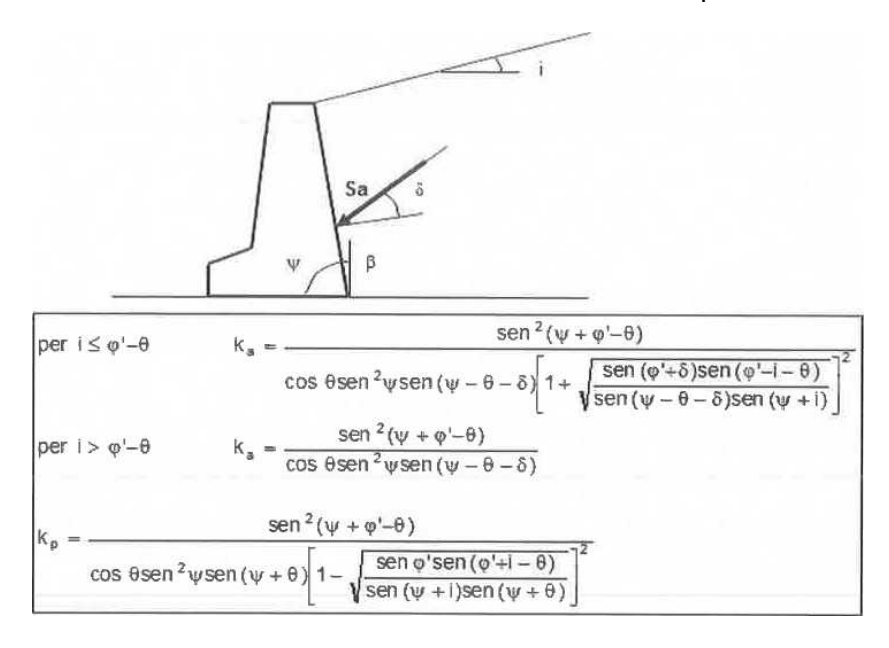


Figura 8-3 – Coefficiente di spinta attiva e passiva.

La spinta sull'opera di sostegno dovrà essere applicata sul piano verticale, assunto come paramento virtuale del muro, definito a partire dall'estremo a monte della scarpa di fondazione.

Su tale paramento l'angolo di inclinazione δ della risultante della spinta (applicata ad 1/3 dell'altezza del paramento virtuale) si potrà assumere uguale all'angolo di inclinazione β del terrapieno, a meno che β non sia superiore all'angolo di resistenza al taglio del terreno ϕ ', nel qual caso si assumerà $\delta = \phi$ '.



		1	valori caratteristici	valori di progetto		
Dati 0	<u>Geotecnici</u>			SLE	STR/GEO	EQU
eno .	Angolo di attrito del terrapieno	(°)	φ'	35.00	35.00	35.00
Dati rrapie	Peso Unità di Volume del terrapieno	(kN/m³)	γ	19.00	19.00	19.00
	Angolo di attrito terreno-superficie ideale	(°)	δ	20.00	20.00	20.00

Figura 8-4 – Dati geotecnici



8.3 CARICHI VARIABILI

8.3.1 CARICHI MOBILI DA TRAFFICO

Per quanto attiene il sovraccarico variabile dovuto al carico stradale si applica il carico verticale statico di 20 kPa che, in condizioni sismiche, è stato ridotto al 20% (4 kPa).

Tale carico inoltre è stato riportato alla quota della testa del muro considerando una diffusione all'interno del rilevato con un angolo di inclinazione pari all'angolo di attrito del terreno costituente il rilevato stradale (35°).

			valori caratteristici	valori di progetto		
Carichi	<u>Agenti</u>			SLE - sisma	STR/GEO	EQU
Carichi	Sovraccarico permanente Sovraccarico su zattera di monte	(kN/m²)	qp	0.00	0.00	0.00
Carichi ermanen	Forza Orizzontale in Testa permanente	(kN/m)	fp	0.00	0.00	0.00
S E	Forza Verticale in Testa permanente	(kN/m)	vp	3.50	3.50	3.50
	Momento in Testa permanente	(kNm/m)	mp	0.00	0.00	0.00
	Sovraccarico Accidentale in condizioni statiche	(kN/m ²)	q	8.00	11.60	11.60
Condizioni Statiche	Forza Orizzontale in Testa accidentale in condizioni statich (kN/m) f		f	0.00	0.00	0.00
atic ag	Forza Verticale in Testa accidentale in condizioni statiche (kN/m)		V	0.00	0.00	0.00
స్ట్రహ	Momento in Testa accidentale in condizioni statiche (kNm/m) m		m	0.00	0.00	0.00
	Coefficienti di combinazione condizione frequente Ψ1 1.00		1.00	condizione quasi permane	nte Ψ2	0.00
.E @	Sovraccarico Accidentale in condizioni sismiche (kN/m²) qs		qs	1.60		
Condizioni Sismiche	Forza Orizzontale in Testa accidentale in condizioni sismicl (kN/m) fs		fs	0.00		
ond	Forza Verticale in Testa accidentale in condizioni sismiche (kN/m)		VS	0.00		
0 0	Momento in Testa accidentale in condizioni sismiche (kNm/m) ms		0.00			

Figura 8-5 – Carichi agenti



8.4 VALUTAZIONE DELL'AZIONE SISMICA

8.4.1 VITA NOMINALE

La vita nominale di un'opera strutturale V_N è intesa come il numero di anni nel quale la struttura, purché soggetta alla manutenzione ordinaria, deve potere essere usata per lo scopo al quale è destinata. Nel presente caso l'opera viene inserita nella seguente tipologia di costruzione:

2) Opere ordinarie, ponti, opere infrastrutturali e dighe di dimensioni contenute o di importanza normale La cui vita nominale è pari a: 75 anni.

8.4.2 CLASSE D'USO

In presenza di azioni sismiche, con riferimento alle conseguenze di un'interruzione di operatività o di un eventuale collasso, l'opera appartiene alla seguente classe d'uso:

Classe III: Costruzioni il cui uso preveda affollamenti significativi. Industrie con attività pericolose per l'ambiente. Reti viarie extraurbane non ricadenti in Classe d'uso IV. Ponti e reti ferroviarie la cui interruzione provochi situazioni di emergenza. Dighe rilevanti per le conseguenze dì un loro eventuale collasso.

Il coefficiente d'uso è pari a 1.50.

8.4.3 PERIODO DI RIFERIMENTO

Le azioni sismiche su ciascuna costruzione vengono valutate in relazione al periodo di riferimento V_R ricavato, per ciascun tipo di costruzione, moltiplicandone la vita nominale V_N per il coefficiente d'uso C_u .

Pertanto $V_R = 75 \times 1.5 = 112.5 \text{ anni.}$

8.4.4 PARAMETRI SISMICI

Fissata la vita di riferimento V_R , i due parametri T_R e P_{VR} sono immediatamente esprimibili, l'uno in funzione dell'altro, mediante l'espressione:

$$T_R = -\frac{V_R}{\ln(1 - P_{VR})} = -\frac{C_u V_N}{\ln(1 - P_{VR})}$$



Stati Limite	$P_{V_{\overline{R}}}$: Probabilità di superamento nel periodo di riferimento $V_{\overline{R}}$				
Stati limite di esercizio	SLO	81%			
	SLD	63%			
Stati limite ultimi	SLV	10%			
	SLC	5%			

Tabella 8-1 – Probabilità di superamento al variare dello stato limite considerato.

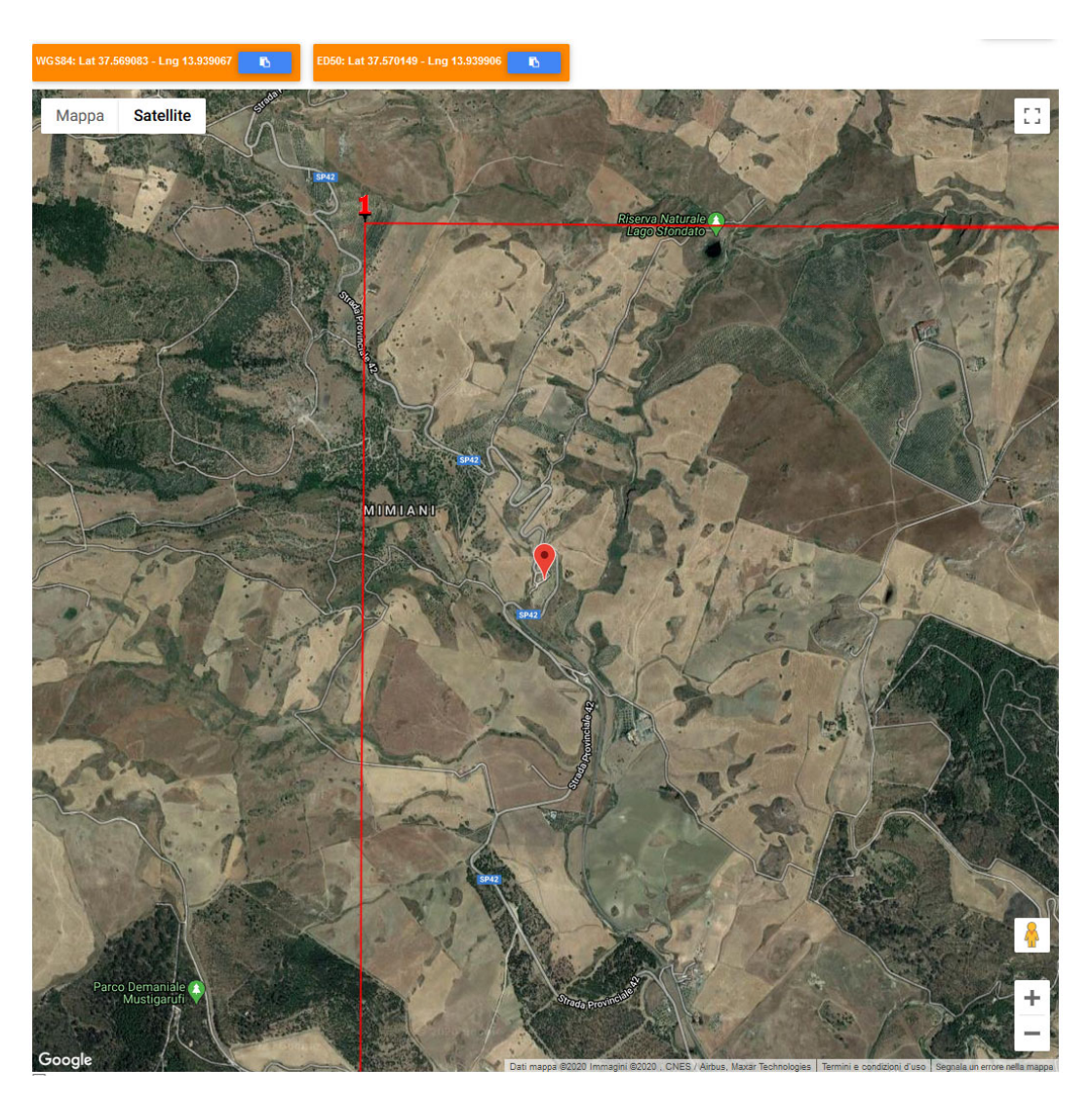


Tabella 8-2 – Localizzazione del sito ove sorgeranno le opera.



Da cui si ottiene la seguente tabella:

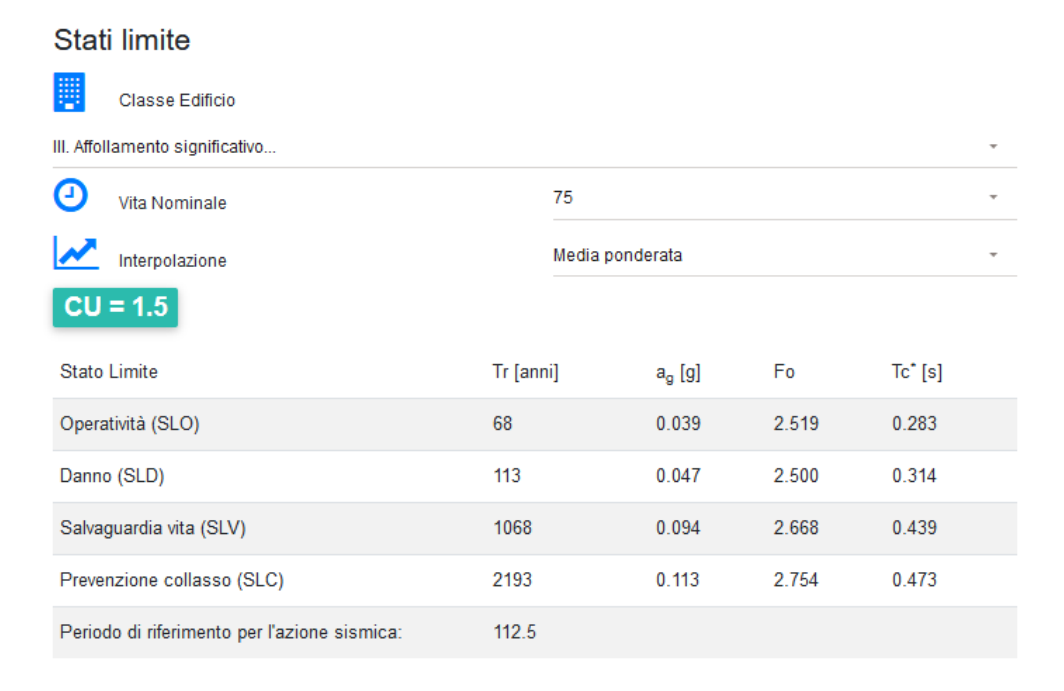


Tabella 8-3 – Parametri relativi all'azione sismica.

Ai fini della definizione dell'azione sismica di progetto, si rende necessario valutare l'effetto della risposta sismica locale. Per la definizione dell'azione sismica si può fare riferimento a un approccio semplificato, che si basa sull'individuazione delle categorie di sottosuolo di riferimento in accordo a quanto indicato nel § 3.2.2 delle NTC2018. I terreni di progetto possono essere caratterizzati come appartenenti a terreni di Categoria C. In condizioni topografiche superficiali semplici si può adottare la seguente classificazione.

Categoria	Caratteristiche della superficie topografica
T1	Superficie pianeggiante, pendii e rilievi isolati con inclinazione media i ≤ 15°
T2	Pendii con inclinazione media i > 15°
T3	Rilievi con larghezza in cresta molto minore che alla base e inclinazione media $15^{\circ} \le i \le 30^{\circ}$
T4	Rilievi con larghezza in cresta molto minore che alla base e inclinazione media i > 30°

Tabella 8-4 – Categorie topografiche.

L'area interessata risulta classificabile come T2.

In riferimento a quanto indicato nel §3.2.3.2.1 delle NTC2018 per la definizione dello spettro elastico in accelerazione è necessario valutare il valore del coefficiente $S = S_S S_T$ e di C_C in base alla categoria di



sottosuolo e alle condizioni topografiche; si fa riferimento nella valutazione dei coefficienti alle tabelle di seguito riportate:

Categoria sottosuolo	S _s	C _c
A	1,00	1,00
В	$1,00 \le 1,40 - 0,40 \cdot F_o \cdot \frac{a_g}{g} \le 1,20$	$1,10\cdot(T_{\rm C}^*)^{-0,20}$
С	$1,00 \le 1,70 - 0,60 \cdot F_o \cdot \frac{a_g}{g} \le 1,50$	$1,05 \cdot (T_C^*)^{-0,33}$
D	$0.90 \le 2.40 - 1.50 \cdot F_o \cdot \frac{a_g}{g} \le 1.80$	1,25 · (T _C *) ^{-0,50}
E	$1,00 \le 2,00 - 1,10 \cdot F_o \cdot \frac{a_g}{g} \le 1,60$	1,15 · (T _C *) ^{-0,40}

Tabella 8-5 – Espressioni di Ss e Cc.

Categoria topografica	Ubicazione dell'opera o dell'intervento	S _T
T1	-	1,0
T2	In corrispondenza della sommità del pendio	1,2
T3	In corrispondenza della cresta di un rilievo con	1,2
	pendenza media minore o uguale a 30°	
T4	In corrispondenza della cresta di un rilievo con	1,4
	pendenza media maggiore di 30°	

Tabella 8-6 – Valori massimi dei coefficienti di amplificazione topografica S_T.

valori dei coefficienti di amplificazione stratigrafica sono pari a S_s =1.50 e C_c = 1.380 valore del coefficiente di amplificazione topografica è posto pari a ST = 1.2

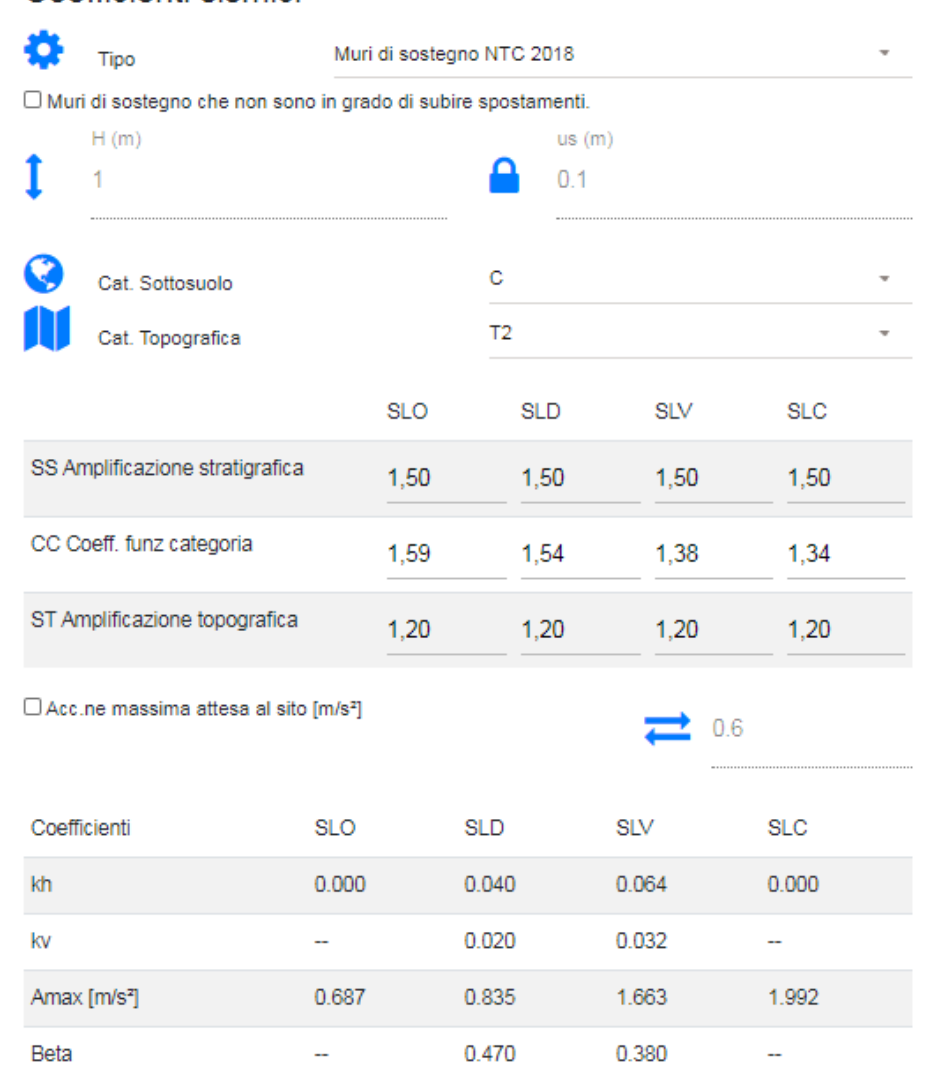
Dalla sezione dedicata al calcolo dei parametri sismici di base del programma "GeoStru", si ricavano i seguenti parametri dello spettro di risposta relativo al sito più gravoso.



NV58: MURO DI SOTTOSCARPA MU83F RELAZIONE DI CALCOLO
 COMMESSA
 LOTTO
 CODIFICA
 DOCUMENTO
 REV.
 FOGLIO

 RS3T
 30 D 78
 CL
 MU83F0 001
 C
 38 di 90

Coefficienti sismici



STALFERR GRUPPO FERROVIE DELLO STATO ITALIANE	NUOVO COI TRATTA VA	LEGAME	NTO PALERI	NA – CATANIA – 10 – CATANIA SETTA XIRBI (LC – LOTTO 3B		0
NV58: MURO DI SOTTOSCARPA MU83F RELAZIONE DI CALCOLO	COMMESSA RS3T	LOTTO 30 D 78	CODIFICA	DOCUMENTO MU83F0 001	REV.	FOGLIO 39 di 90

9. COMBINAZIONI DI CARICO

Le combinazioni di carico prese in considerazione nelle verifiche sono state definite in base a quanto prescritto dalle NTC-2018 al par.2.5.3:

- Combinazione fondamentale, generalmente impiegata per gli stati limite ultimi (SLII):

 $\gamma_{G1} \cdot G_1 + \gamma_{G2} \cdot G_2 + \gamma_P \cdot P + \gamma_{Q1} \cdot Q_{k1} + \gamma_{Q2} \cdot \psi_{02} \cdot Q_{k2} + \gamma_{Q3} \cdot \psi_{03} \cdot Q_{k3} + ...$ [2.5.1]

– Combinazione caratteristica, cosiddetta rara, generalmente impiegata per gli stat^{i timit}e di esercizio (SLE) irreversibili:

 $G_1 + G_2 + P + Q_{k1} + \psi_{02} \cdot Q_{k2} + \psi_{03} \cdot Q_{k3} + \dots$ [2.5.2] - Combinazione frequente, generalmente impiegata per gli stati limite di esercizio reversibili:

 $G_1 + G_2 + P + \psi_{11} \cdot Q_{k1} + \psi_{22} \cdot Q_{k2} + \psi_{23} \cdot Q_{k3} + \dots$ [2.5.3]

Combinazione quasi permanente (SLE), generalmente impiegata per gli effetti a καιβο termine:
 G₁ + G₂ + P + ψ₂₁ · Q_{k1} + ψ₂₂ · Q_{k2} + ψ₂₃ · Q_{k3} + ...
 [2.5.4]

Combinazione sismica, impiegata per gli stati limite ultimi e di esercizio connessi all'azione sismica E:

 $E + G_1 + G_2 + P + \psi_{21} \cdot Q_{k1} + \psi_{22} \cdot Q_{k2} + \dots$ [2.5.5]

- Combinazione eccezionale, impiegata per gli stati limite ultimi connessi alle azioni eccezionali A: $G_1 + G_2 + P + A_d + \psi_{21} \cdot Q_{k1} + \psi_{22} \cdot Q_{k2} + \dots$ [2.5.6]

Gli effetti dell'azione sismica saranno valutati tenendo conto delle masse associate ai seguenti carichi gravitazionali:

$$G_1 + G_2 + \sum_i \psi_{2i} Q_{kj}$$
 [2.5.7]

Per i muri di sostegno o per altre strutture miste ad essi assimilabili devono essere effettuate le verifiche con riferimento almeno ai seguenti stati limite:

SLU di tipo geotecnico (GEO)

- Scorrimento sul piano di posa;
- Collasso per carico limite del complesso fondazione-terreno;
- Ribaltamento;
- Stabilità globale del complesso opera di sostegno-terreno;

SLU di tipo strutturale (STR)

• Raggiungimento della resistenza negli elementi strutturali.

La verifica di stabilità globale del complesso opera di sostegno-terreno deve essere effettuata secondo l'Approccio 1, con la Combinazione 2 (A2+M2+R2).

Le rimanenti verifiche devono essere effettuate secondo l'Approccio 2, con la combinazione (A1+M1+R3).



Per ciascuna verifica si deve tenere conto dei coefficienti parziali per le azioni, dei parametri geotecnici e dei coefficienti di amplificazione per le verifiche di sicurezza, tutti riportati nelle seguenti tabelle.

Nella verifica a ribaltamento i coefficienti R3 si applicano agli effetti delle azioni stabilizzanti.

Coefficie	Coefficiente				A2
Azioni permanenti	favorevoli	YG1	0,90	1,00	1,00
	sfavorevoli		1,10	1,35	1,00
Azioni permanenti non	favorevoli	YG2	0,00	0,00	0,00
strutturali ⁽²⁾	sfavorevoli		1,50	1,50	1,30
Ballast(3)	favorevoli	ΥВ	0,90	1,00	1,00
	sfavorevoli		1,50	1,50	1,30
Azioni variabili da traffi-	favorevoli	γο	0,00	0,00	0,00
CO ^(±)	sfavorevoli	~	1,45	1,45	1,25
Azioni variabili	favorevoli	γOi	0,00	0,00	0,00
	sfavorevoli		1,50	1,50	1,30
Precompressione	favorevole	γP	0,90	1,00	1,00
	sfavorevo-		1,00(5)	1,00(6)	1,00
	le				
Ritiro, viscosità e cedi-	favorevole	γCe	0,00	0,00	0,00
menti non imposti appo-	sfavorevo-	d	1,20	1,20	1,00
sitamente	1e				

Tabella 9-1 - Coefficienti parziali di sicurezza per le combinazioni di carico agli SLU.

Parametro	Grandezza alla quale applicare il coefficiente parziale	Coefficiente parziale γ_{M}	(M1)	(M2)
Tangente dell'angolo di resi- stenza al taglio	$ an {\phi'}_k$	$\gamma_{\phi'}$	1,0	1,25
Coesione efficace	c′ _k	$\gamma_{c'}$	1,0	1,25
Resistenza non drenata	c_{uk}	$\gamma_{\rm cu}$	1,0	1,4
Peso dell'unità di volume	γγ	γ_{γ}	1,0	1,0

Tabella 9-2 - Coefficienti parziali per i parametri geotecnici del terreno.

Verifica	Coefficiente parziale (R3)
Capacità portante della fondazione	$\gamma_R = 1.4$
Scorrimento	$\gamma_R = 1.1$
Ribaltamento	$\gamma_R = 1.15$
Resistenza del terreno a valle	$\gamma_R = 1.4$

Tabella 9-3 – Coefficienti parziali γ_R per le verifiche agli stati limite ultimi dei muri di sostegno.

COEFFICIENTE	R2
$\gamma_{ m R}$	1,1



Tabella 9-4 – Coefficienti parziali per le verifiche do sicurezza di opere di materiali sciolti e fronti di scavo.

Le combinazioni sismiche, in maniera del tutto analoga alle combinazioni statiche, sono effettuate con l'approccio 2, ponendo però pari all'unità i coefficienti parziali sulle azioni e sui parametri geotecnici e impiegando le resistenze di progetto con i coefficienti parziali γ_R indicati nella seguente tabella.

Verifica	Coefficiente parziale γR
Carico limite	1.2
Scorrimento	1.0
Ribaltamento	1.0
Resistenza del terreno a valle	1.2

Tabella 9-5 – Coefficienti parziali γ_R per le verifiche agli stati limite (SLV) dei muri di sostegno.

Le verifiche pseudo-statiche di sicurezza dei fronti di scavo e dei rilevati in condizioni sismiche si eseguono adottando valori unitari dei coefficienti parziali del gruppo A e M per il calcolo delle azioni e dei parametri geotecnici di progetto e un coefficiente parziale γ_R pari a 1.2.

Al fine della determinazione dei valori caratteristici delle azioni dovute al traffico, si devono considerare, generalmente, le combinazioni riportate nella seguente tabella:

		Carich	i sulla superfic	Carichi su marciapiedi e piste ciclabili non sormontabili		
		Carichi vertical:	i	Carichi	orizzontali	Carichi verticali
Gruppo di azioni	Modello principale (schemi di carico 1, 2, 3, 4 e 6)	Veicoli spe- ciali	Folla (Sche- ma di carico 5)	Frenatura	Forza centrifuga	Carico uniformemente distribuito
1	Valore carat- teristico					Schema di carico 5 con valore di combinazione 2,5KN/m ²
2a	Valore fre- quente			Valore carat- teristico		
2b	Valore fre- quente				Valore caratteri- stico	
3 (*)						Schema di carico 5 con valore caratteristico 5,0KN/m²
4 (**)			Schema di carico 5 con valore carat- teristico 5,0KN/m²			Schema di carico 5 con valore caratteristico 5,0KN/m²
5 (***)	Da definirsi per il singo- lo progetto	Valore carat- teristico o nominale				
	lonali iderare solo se ri siderare solo se :			(ad es. ponti in a	rona urbana)	

Tabella 9-6 – Valori caratteristici delle azioni dovute al traffico.

Questa fornisce i valori dei coefficienti parziali delle azioni da assumere nell'analisi per la determinazione degli effetti delle azioni nelle verifiche agli stati limite ultimo.

I valori dei coefficienti di combinazione ψ_{0j} , ψ_{1j} , ψ_{2j} per le diverse categorie sono riportati nella tabella successiva:



NV58: MURO DI SOTTOSCARPA MU83F RELAZIONE DI CALCOLO
 COMMESSA
 LOTTO
 CODIFICA
 DOCUMENTO
 REV.
 FOGLIO

 RS3T
 30 D 78
 CL
 MU83F0 001
 C
 42 di 90

Azioni	Gruppo di azioni (Tab. 5.1.IV)	Coefficiente Ψ_0 di combi- nazione	Coefficiente \Psi_1 (valori frequenti)	Coefficiente ψ_2 (valori quasi permanenti)
	Schema 1 (carichi tandem)	0,75	0,75	0,0
	Schemi 1, 5 e 6 (carichi distribuiti	0,40	0,40	0,0
Azioni da traffico	Schemi 3 e 4 (carichi concentrati)	0,40	0,40	0,0
(Tab. 5.1.IV)	Schema 2	0,0	0,75	0,0
	2	0,0	0,0	0,0
	3	0,0	0,0	0,0
	4 (folla)		0,75	0,0
	5	0,0	0,0	0,0
	a ponte scarico SLU e SLE	0,6	0,2	0,0
Vento	in esecuzione	0,8	0,0	0,0
	a ponte carico SLU e SLE	0,6	0,0	0,0
Neve	SLU e SLE	0,0	0,0	0,0
	in esecuzione	0,8	0,6	0,5
Temperatura	SLU e SLE	0,6	0,6	0,5

Tabella 9-7 – Coefficienti ψ per le azioni variabili per ponti stradali e pedonali.

Per le azioni da urto sono eccezionali, pertanto, si segue la rispettiva combinazione di carico per la sua valutazione.

Si ottengono le seguenti combinazioni di carico per le verifiche:

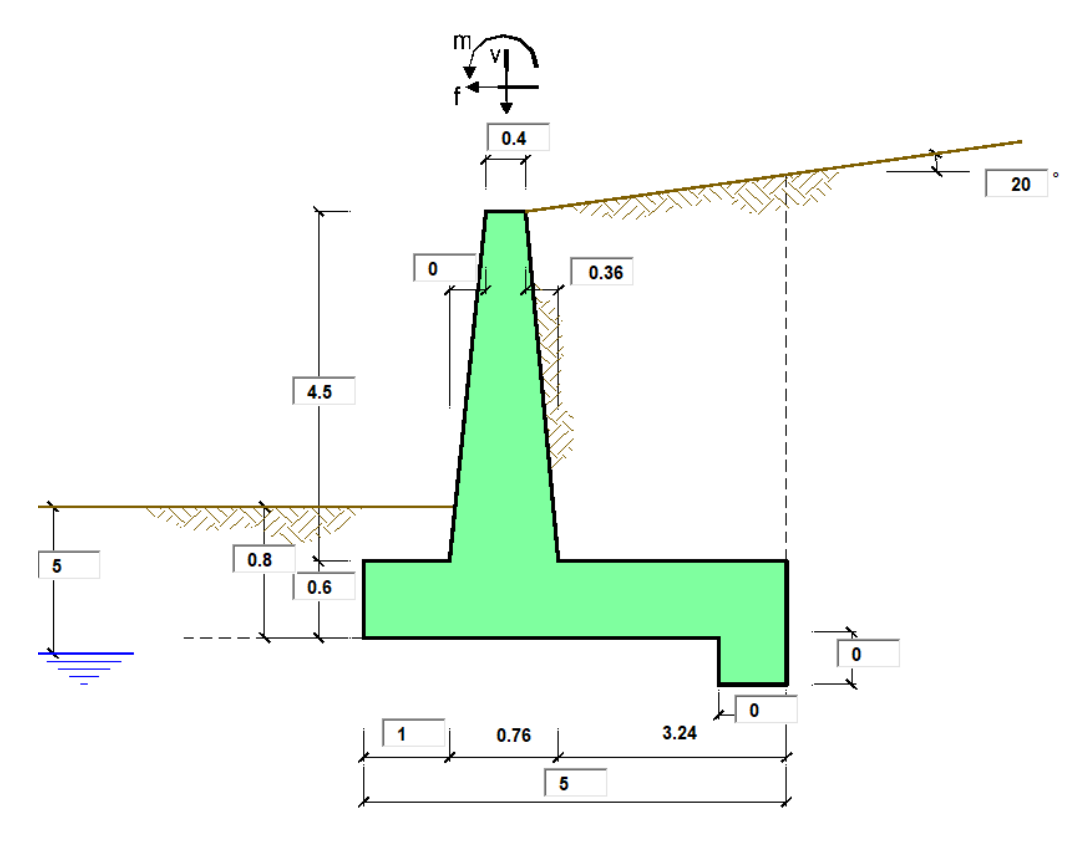
Caso	Peso proprio	Traffico	Pav. Stradale	Spinta	Qecc	tan φ'	c'	Cu
A1+M1+R3	1.35	1.35	1.35	1.35	0	1	1	1
A2+M2+R2	1	1.15	1	1	0	1.25	1.25	1.4
SISMA+M1+R3 (+)	1	0.2	1	1	0	1	1	1
SISMA+M1+R3 (-)	1	0.2	1	1	0	1	1	1
SISMA+M2+R2 (+)	1	0.2	1	1	0	1.25	1.25	1.4
SISMA+M2+R2 (-)	1	0.2	1	1	0	1.25	1.25	1.4
SLE, rara	1	1	1	1	0	1	1	1
SLE, frequente	1	1	1	1	0	1	1	1
SLE, quasi permanente	1	0	1	1	0	1	1	1
ECC, urto	1	0	1	1	1	1	1	1

Tabella 9-8- Combinazioni di carico.



10. PROGETTO E VERIFICA DEL MURO DI SOTTOSCARPA "TIPO 1"

10.1 DATI DI INPUT



Geometria del Muro

Elevazione	H3 =	4.50	(m)
Aggetto Valle	B2 =	0.00	(m)
Spessore del Muro in Testa	B3 =	0.40	(m)
Aggetto monte	B4 =	0.36	(m)

Geometria della Fondazione

Larghezza Fondazione	В	=	5.00	(m)
Spessore Fondazione	H2	=	0.60	(m)
Suola Lato Valle	B1	=	1.00	(m)
Suola Lato Monte	B5	=	3.24	(m)
Altezza dente	Hd	=	0.00	(m)
Larghezza dente	Bd	=	0.00	(m)
Mezzeria Sezione	Xc	=	2.50	(m)

	Peso Specifico del Calcestruzzo	γcls =	25.00	(kN/m ³)
--	---------------------------------	--------	-------	----------------------



<u>Dati geotecnici e carichi agenti – Condizione statica e sismica</u>

					valori caratteristici SLE		valori di	progetto
Dati (<u>Geotecnici</u>						STR/GEO	EQU
Dati Terrapieno	Angolo di attrito del terrapieno		(°)	φ'	35.	.00	35.00	35.00
Dati rapie	Peso Unità di Volume del terrapieno		(kN/m³)	γ'	19.	.00	19.00	19.00
Ter	Angolo di attrito terreno-superficie ideale		(°)	δ	20.	.00	20.00	20.00
Dati Terreno Fondazione	Condizioni			drenat	e O Non	Drenate		
dazi	Coesione Terreno di Fondazione		(kPa)	c1'	3.0	00	3.00	3.00
P.	Angolo di attrito del Terreno di Fondazione		(°)	φ1'	20.	.00	20.00	20.00
2	Peso Unità di Volume del Terreno di Fondazione		(kN/m^3)	γ1	19.	.00	19.00	19.00
епе	Peso Unità di Volume del Rinterro della Fondazione		(kN/m^3)	γd	19.	.00	19.00	19.00
Ξ	Profondità "Significativa" (n.b.: consigliata H = 2*B)		(m)	Hs	8.0	00		
Da	Modulo di deformazione		(kN/m ²)	Е	150	000		
	Accelerazione sismica			a _q /g	0.094	(-)	7	
	Coefficiente Amplificazione Stratigrafico			S _S	1.5	(-)		
<u>:</u>	Coefficiente Amplificazione Topografico			S _⊤	1.2	(-)	RIBAI TA	AMENTO
Dati Sismici	Coefficiente di riduzione dell'accelerazione massima			βs	0.38	(-)	βs	0.57
S	Coefficiente sismico orizzontale			kh	0.064296	(-)	kh	0.09644
Da	Coefficiente sismico verticale			kv	0.0321	(-)	kv	0.04822
	Muro libero di traslare o ruotare				si C) no		
	l							
					STR/	GEO	R	IB
_	Coeff. di Spinta Attiva Statico	ka	0.322		0.322		0.322	
Coefficienti di Spinta	Coeff. Di Spinta Attiva Sismica sisma +	kas+	0.387		0.387		0.425	
efficient Spinta	Coeff. Di Spinta Attiva Sismica sisma -	kas-	0.392		0.392		0.438	
Sp	Coeff. Di Spinta Passiva	kp	2.040		2.040		2.040	
ပိ	Coeff. Di Spinta Passiva Sismica sisma +	kps+	1.948		1.948		1.901	
	Coeff. Di Spinta Passiva Sismica sisma -	kps-	1.941		1.941		1.886	

			Ī	valori caratteristici	valori di j	orogetto
Carichi	<u>Agenti</u>			SLE - sisma	STR/GEO	EQU
Έ	Sovraccarico permanente	(kN/m ²)	qp	0.00	0.00	0.00
iż je	Sovraccarico su zattera di monte					
Carichi	Forza Orizzontale in Testa permanente	(kN/m)	fp	0.00	0.00	0.00
Carichi	Forza Verticale in Testa permanente	(kN/m)	vp	3.50	3.50	3.50
<u> </u>	Momento in Testa permanente	(kNm/m)	mp	0.00	0.00	0.00
	Sovraccarico Accidentale in condizioni statiche	(kN/m^2)	q	8.00	11.60	11.60
io e	Forza Orizzontale in Testa accidentale in condizioni statich	(kN/m)	f	0.00	0.00	0.00
Condizioni Statiche	Forza Verticale in Testa accidentale in condizioni statiche	(kN/m)	V	0.00	0.00	0.00
St	Momento in Testa accidentale in condizioni statiche	(kNm/m)	m	0.00	0.00	0.00
	Coefficienti di combinazione condizione frequen	te Ψ1	1.00	condizione quasi permane	nte ψ2	0.00
. <u>=</u> 0	Sovraccarico Accidentale in condizioni sismiche	(kN/m^2)	qs	1.60		
ich jch	Forza Orizzontale in Testa accidentale in condizioni sismicl	(kN/m)	fs	0.00		
Condizioni Sismiche	Forza Verticale in Testa accidentale in condizioni sismiche	≪ (kN/m)	VS	0.00	4 4	
0 0	Momento in Testa accidentale in condizioni sismiche	(kNm/m)	ms	0.00		



NV58: MURO DI SOTTOSCARPA MU83F RELAZIONE DI CALCOLO

Calcestruzzo

COMMESSA RS3T CODIFICA CL DOCUMENTO MU83F0 001

REV. FOGLIO

C 45 di 90

CARATTERISTICHE DEI MATERIALI STRUTTURALI

classe cls C32	/40 \	
Rck	40	(MPa)
fck	32	(MPa)
fcm Ec	40 33346	(MPa) (MPa)
αοο	0.85	(Wil a)
γс	1.50	
$f_{cd} = \alpha_{cc} * f_{ck} / \gamma c$	18.13	(MPa)
$f_{ctm} = 0.30*f_{ck}^{2/3}$	3.02	(MPa)

Tensioni limite (tensioni ammissibili)

 $\begin{array}{ccc} \underline{\text{condizioni statiche}} \\ \sigma_{\text{c}} & & 19.2 & \text{Mpa} \\ \sigma_{\text{f}} & & 360 & \text{Mpa} \end{array}$

condizioni sismiche

 σ_{e} 19.2 Mpa σ_{f} 360 Mpa

Valore limite di apertura delle fessure

 Frequente
 w1
 ▼
 0.2
 mm

 Quasi Permanente
 w1
 ▼
 0.2
 mm

<u>Acciaio</u>

LOTTO

30 D 78

tipo d	li acciaio	Е	3450C ▼	
fyk =	:		450	(MPa)
γs	=		1.15	
fyd =	fyk /γs /	γE =	391.30	(MPa)
Es	=	210000	(MPa)	
ε _{ys}	=	0.19%		

coefficiente omogeneizzazione acciaio n = 15

Copriferro (distanza asse armatura-bordo)

c = 8.00 (cm)

Copriferro minimo di normativa (ricoprimento armatura)

 $c_{min} = 5.00$ (cm)

Interferro tra I e II strato

 $i_{\text{I-II}}$ 5.00 (cm)

10.2 CALCOLO DELLE AZIONI

10.2.1 FORZE VERTICALI E INERZIALI

FORZE VERTICALI

- Peso del Mu	ro (Pm)		SLE	STR/GEO	EQU/RIB
Pm1 =	(B2*H3* _γ cls)/2	(kN/m)	0.00	0.00	0.00
Pm2 =	(B3*H3*γcls)	(kN/m)	45.00	45.00	45.00
Pm3 =	(B4*H3*γcls)/2	(kN/m)	20.25	20.25	20.25
Pm4 =	(B*H2*γcls)	(kN/m)	75.00	75.00	75.00
Pm5 =	(Bd*Hd*γcls)	(kN/m)	0.00	0.00	0.00
Pm =	Pm1 + Pm2 + Pm3 + Pm4 + Pm5	(kN/m)	140.25	140.25	140.25
- Peso del teri	eno e sovr. perm. sulla scarpa di monte del muro (Pt)				
Pt1 =	(B5*H3* _γ ')	(kN/m)	277.02	277.02	277.02
Pt2 =	(0,5*(B4+B5)*H4* _γ ')	(kN/m)	44.81	44.81	44.81
Pt3 =	(B4*H3* ₇ ')/2	(kN/m)	15.39	15.39	15.39
Sovr =	qp * (B4+B5)	(kN/m)	0.00	0.00	0.00
Pt =	Pt1 + Pt2 + Pt3 + Sovr	(kN/m)	337.22	337.22	337.22
- Sovraccarico	accidentale sulla scarpa di monte del muro				
Sovr acc. Stat	q * (B4+B5)	(kN/m)	28.8	41.76	
Sovr acc. Sisr	n qs * (B4+B5)	(kN/m)	5.76		

MOMENTI DELLE FORZE VERT. RISPETTO AL PIEDE DI VALLE DEL MURO

- Muro (Mm)			SLE	STR/GEO	EQU/RIB		
Mm1 = ` ´	Pm1*(B1+2/3 B2)	(kNm/m)	0.00	0.00	0.00		
Mm2 =	Pm2*(B1+B2+0,5*B3)	(kNm/m)	54.00	54.00	54.00		
Mm3 =	Pm3*(B1+B2+B3+1/3 B4)	(kNm/m)	30.78	30.78	30.78		
Mm4 =	Pm4*(B/2)	(kNm/m)	187.50	187.50	187.50		
Mm5 =	Pm5*(B - Bd/2)	(kNm/m)	0.00	0.00	0.00		
Mm =	Mm1 + Mm2 + Mm3 + Mm4 + Mm5	(kNm/m)	272.28	272.28	272.28		
- Terrapieno e	sovr. perm. sulla scarpa di monte del muro						
Mt1 =	Pt1*(B1+B2+B3+B4+0,5*B5)	(kNm/m)	936.33	936.33	936.33		
Mt2 =	Pt2*(B1+B2+B3+2/3*(B4+B5))	(kNm/m)	170.29	170.29	170.29		
Mt3 =	Pt3*(B1+B2+B3+2/3*B4)	(kNm/m)	25.24	25.24	25.24		
Msovr =	Sovr*(B1+B2+B3+1/2*(B4+B5))	(kNm/m)	0.00	0.00	0.00		
Mt =	Mt1 + Mt2 + Mt3 + Msovr	(kNm/m)	1131.85	1131.85	1131.85		
- Sovraccarico	- Sovraccarico accidentale sulla scarpa di monte del muro						
Sovr acc. Stat	*(B1+B2+B3+1/2*(B4+B5))	(kNm/m)	92.16	133.632			
Sovr acc. Sism	n *(B1+B2+B3+1/2*(B4+B5))	(kNm/m)	18.432				



NV58: MURO DI SOTTOSCARPA MU83F RELAZIONE DI CALCOLO
 COMMESSA
 LOTTO
 CODIFICA
 DOCUMENTO
 REV.
 FOGLIO

 RS3T
 30 D 78
 CL
 MU83F0 001
 C
 47 di 90

	MURO E DEL TERRAPIENO ontale e verticale del muro (Ps)			
	` ,	(I+N1/mm)	0.00	40.50
Ps h=	Pm*kh	(kN/m)	9.02	13.53
Ps v=	Pm*kv	(kN/m)	4.51	6.76
- Inerzia orizzo	ontale e verticale del terrapieno a tergo del muro (Pts)		
Ptsh =	Pt*kh	(kN/m)	21.68	32.52
Ptsv =	Pt*kv	(kN/m)	10.84	16.26
		D 1)		
	rizzontale di momento dovuto all'inerzia del muro (M	•		
MPs1 h=	kh*Pm1*(H2+H3/3)	(kNm/m)	0.00	0.00
MPs2 h=	kh*Pm2*(H2 + H3/2)	(kNm/m)	8.25	12.37
MPs3 h=	kh*Pm3*(H2+H3/3)	(kNm/m)	2.73	4.10
MPs4 h=	kh*Pm4*(H2/2)	(kNm/m)	1.45	2.17
MPs5 h=	-kh*Pm5*(Hd/2)	(kNm/m)	0.00	0.00
MPs h=	MPs1+MPs2+MPs3+MPs4+MPs5	(kNm/m)	12.43	18.64
- Incremento w MPs1 v= MPs2 v= MPs3 v= MPs4 v= MPs5 v= MPs v=	erticale di momento dovuto all'inerzia del muro (MPs kv*Pm1*(B1+2/3*B2) kv*Pm2*(B1+B2+B3/2) kv*Pm3*(B1+B2+B3+B4/3) kv*Pm4*(B/2) kv*Pm5*(B-Bd/2) MPs1+MPs2+MPs3+MPs4+MPs5	v) (kNm/m) (kNm/m) (kNm/m) (kNm/m) (kNm/m) (kNm/m)	0.00 1.74 0.99 6.03 0.00 8.75	0.00 2.60 1.48 9.04 0.00 13.13
- Incremento o	rizzontale di momento dovuto all'inerzia del terrapien	io (MPts h)		
MPts1 h=	kh*Pt1*(H2 + H3/2)	(kNm/m)	50.76	76.14
MPts2 h=	kh*Pt2*(H2 + H3 + H4/3)	(kNm/m)	28.63	42.95
MPts3 h=	kh*Pt3*(H2+H3*2/3)	(kNm/m)	3.56	5.34
MPts h=	MPts1 + MPts2 + MPts3	(kNm/m)	82.95	124.43
- Incremento w	erticale di momento dovuto all'inerzia del terrapieno (MPts v)		
MPts1 v=	kv*Pt1*((H2 + H3/2) - (B - B5/2)*0.5)	(kNm/m)	30.10	45.15
MPts2 v=	kv*Pt2*((H2 + H3 + H4/3) - (B - B5/3)*0.5)	(kNm/m)	5.65	8.47
MPts3 v=	kv*Pt3*((H2+H3*2/3)-(B1+B2+B3+2/3*B4)*0.5)	(kNm/m)	0.96	1.44
MPts v=	MPts1 + MPts2 + MPts3	(kNm/m)	36.71	55.06



NV58: MURO DI SOTTOSCARPA MU83F RELAZIONE DI CALCOLO
 COMMESSA
 LOTTO
 CODIFICA
 DOCUMENTO
 REV.
 FOGLIO

 RS3T
 30 D 78
 CL
 MU83F0 001
 C
 48 di 90

10.2.2 SPINTE IN CONDIZIONE STATICA

	TERRENO E DEL SOVRACCARICO condizione statica	ſ	SLE	STR/GEO	EQU/RIB
St =	0,5* _γ '*(H2+H3+H4+Hd)²*ka	(kN/m)	125.56	163.23	163.23
Sq perm =	q*(H2+H3+H4+Hd)*ka	(kN/m)	0.00	0.00	0.00
Sq acc =	q*(H2+H3+H4+Hd)*ka	(kN/m)	16.49	23.92	23.92
- Componente	orizzontale condizione statica				
Sth =	St*cosδ	(kN/m)	117.99	153.38	153.38
Sqh perm =	Sq perm*cosδ	(kN/m)	0.00	0.00	0.00
Sqh acc =	Sq acc* $\cos\delta$	(kN/m)	15.50	22.47	22.47
- Componente	verticale condizione statica				
Stv =	St*sen _δ	(kN/m)	42.94	55.83	55.83
Sqv perm=	Sq perm*senδ	(kN/m)	0.00	0.00	0.00
Sqv acc =	Sq acc*sen∂	(kN/m)	5.64	8.18	8.18
- Spinta passiv	<i>a</i> sul dente				
Sp=½*g1'*Hd2	*\ 1 / ₂ * $_{\gamma_1}$ '*Hd ² *kp+(2*c ₁ '*kp ^{0.5} + $_{\gamma}$ 1'*kp*H2')*Hd	(kN/m)	0.00	0.00	0.00

MOMENTI DE	LLA SPINTA DEL TERRENO E DEL SOVRACO	CARICO	SLE	STR/GEO	EQU/RIB			
MSt1 =	Sth*((H2+H3+H4+Hd)/3-Hd)	(kNm/m)	252.11	327.75	327.75			
MSt2 =	Stv*B	(kNm/m)	214.72	279.14	279.14			
MSq1 perm=	Sqh perm*((H2+H3+H4+Hd)/2-Hd)	(kNm/m)	0.00	0.00	0.00			
MSq1 acc =	Sqh acc*((H2+H3+H4+Hd)/2-Hd)	(kNm/m)	49.68	72.03	72.03			
MSq2 perm=	Sqv perm*B	(kNm/m)	0.00	0.00	0.00			
MSq2 acc =	Sqv acc*B	(kNm/m)	28.21	40.90	40.90			
$MSp = \gamma 1'' + \frac{1}{2}$	-ld ³ *kp/3+(2*c1'*kp ^{0.5} + _γ 1'*kp*H2')*Hd ² /2	(kNm/m)	0.00	0.00	0.00			
MOMENTI DO	MOMENTI DOVUTI ALLE FORZE ESTERNE							
Mfext1 =	mp + m	(kNm/m)	0.00	0.00	0.00			
Mfext2 =	(fp + f)*(H3 + H2)	(kNm/m)	0.00	0.00	0.00			
Mfext3 =	$(vp+v)^*(B1 +B2 + B3/2)$	(kNm/m)	4.20	4.20	4.20			



10.2.3 SPINTE IN CONDIZIONE SISMICA +

SPINTE DEL TERRENO E DEL SOVRACCARICO - Spinta condizione sismica +		SLE	STR/GEO	EQU/RIB
Sst1 stat = $0.5^*\gamma'^*(H2+H3+H4+Hd)^2*ka$	(kN/m)	125.56	125.56	125.56
Sst1 sism = $0.5^*\gamma'^*(1+kv)^*(H2+H3+H4+Hd)^2*kas^+-Sst1$ stat	(kN/m)	30.31	30.31	48.24
Ssq1 perm= qp*(H2+H3+H4+Hd)*kas ⁺	(kN/m)	0.00	0.00	0.00
Ssq1 acc = qs*(H2+H3+H4+Hd)*kas ⁺	(kN/m)	3.97	3.97	4.36
- Componente orizzontale condizione sismica +				
Sst1h stat = Sst1 stat*cosδ	(kN/m)	117.99	117.99	117.99
Sst1h sism = Sst1 sism* $\cos \delta$	(kN/m)	28.49	28.49	45.33
Ssq1h perm= Ssq1 perm*cosδ	(kN/m)	0.00	0.00	0.00
Ssq1h acc= Ssq1 acc*cosδ	(kN/m)	3.73	3.73	4.09
- Componente verticale condizione sismica +				
Sst1v stat = Sst1 stat*senδ	(kN/m)	42.94	42.94	42.94
Sst1v sism = Sst1 sism*sen _∂	(kN/m)	10.37	10.37	16.50
Ssq1v perm= Ssq1 perm*senδ	(kN/m)	0.00	0.00	0.00
Ssq1v acc= Ssq1 acc*senδ	(kN/m)	1.36	1.36	1.49
- Spinta passiva sul dente				
Sp= $\frac{1}{2}$ * $_{\gamma_1}$ '(1+kv) Hd ² *kps ⁺ +(2*c ₁ '*kps ^{+0.5} + $_{\gamma}$ 1' (1+kv) kps ^{+*} H2')*Hd	(kN/m)	0.00	0.00	0.00
	_		1	
MOMENTI DELLA SPINTA DEL TERRENO E DEL SOVRACCARICO - Condizione sismica +		SLE	STR/GEO	EQU/RIB

MOMENTI DELLA SPINTA DEL TERRENO E DEL SOVRACCARICO - Condizione sismica +			SLE	STR/GEO	EQU/RIB	
MSst1 stat = MSst1 sism= MSst2 stat = MSst2 sism = MSsq1 = MSsq2 = MSp =	Sst1h stat * ((H2+H3+H4+hd)/3-hd) Sst1h sism* ((H2+H3+H4+Hd)/3-Hd) Sst1v stat* B Sst1v sism* B Ssq1h * ((H2+H3+H4+Hd)/2-Hd) Ssq1v * B γ_1 '*Hd ^{3*} kps [†] /3+(2*c1'*kps ^{+0.5} + γ 1'*kps ^{+*} H2')*Hd ² /2	(kNm/m) (kNm/m) (kNm/m) (kNm/m) (kNm/m) (kNm/m)	252.11 60.87 214.72 51.84 11.95 6.79 0.00	252.11 60.87 214.72 51.84 11.95 6.79 0.00	252.11 96.85 214.72 82.49 13.12 7.45 0.00	
MOMENTI DOVUTI ALLE FORZE ESTERNE Mfext1 = mp+ms (kNm/m) 0.00 Mfext2 = (fp+fs)*(H3 + H2) (kNm/m) 0.00 Mfext3 = (vp+vs)*(B1 +B2 + B3/2) (kNm/m) 4.20						



10.2.4 SPINTE IN CONDIZIONE SISMICA -

SPINTE DEL TERRENO E DEL SOVRACCARICO - Spinta condizione sismica -	Γ	SLE	STR/GEO	EQU/RIB			
Sst1 stat = $0.5 \text{ s}'/\text{ (H2+H3+H4+Hd)}^2$ ka	(kN/m)	125.56	125.56	125.56			
Sst1 sism = $0.5^* \gamma'^* (1-kv)^* (H2+H3+H4+Hd)^2 kas^ Sst1 stat$	(kN/m)	22.48	22.48	37.09			
Ssq1 perm= qp*(H2+H3+H4+Hd)*kas ⁻	(kN/m)	0.00	0.00	0.00			
$Ssq1 acc = qs*(H2+H3+H4+Hd)*kas^{-}$	(kN/m)	4.02	4.02	4.49			
- Componente orizzontale condizione sismica -							
Sst1h stat = Sst1 stat* $\cos\delta$	(kN/m)	117.99	117.99	117.99			
Sst1h sism = Sst1 sism* $\cos\delta$	(kN/m)	21.12	21.12	34.86			
Ssq1h perm= Ssq1 perm*cosδ	(kN/m)	0.00	0.00	0.00			
Ssq1h acc= Ssq1 acc*cosδ	(kN/m)	3.78	3.78	4.22			
- Componente verticale condizione sismica -							
Sst1v stat = Sst1 stat*sen δ	(kN/m)	42.94	42.94	42.94			
Sst1v sism = Sst1 sism*sen δ	(kN/m)	7.69	7.69	12.69			
Ssq1v perm= Ssq1 perm*sen δ	(kN/m)	0.00	0.00	0.00			
Ssq1v acc= Ssq1 acc*senδ	(kN/m)	1.37	1.37	1.54			
- Spinta passiva sul dente							
Sp= $\frac{1}{2}$ * $_{\gamma_1}$ '(1-kv) Hd ² *kps ⁻ +(2*c ₁ '*kps ^{-0.5} + $_{\gamma}$ 1' (1-kv) kps ⁻ *H2')*Hd	(kN/m)	0.00	0.00	0.00			
MOMENTI DELLA SPINTA DEL TERRENO E DEL SOVRACCARICO							
- Condizione sismica -		SLE	STR/GEO	EQU/RIB			
MSst1 stat = Sst1h stat * ((H2+H3+H4+hd)/3-hd)	(kNm/m)	252.11	252.11	252.11			
MSst1 sism= Sst1h sism* ((H2+H3+H4+Hd)/3-Hd)	(kNm/m)	45.14	45.14	74.48			

MOMENTI DELLA SPINTA DEL TERRENO E DEL SOVRACCARICO - Condizione sismica -			SLE	STR/GEO	EQU/RIB	
MSst1 stat = MSst1 sism= MSst2 stat = MSst2 sism = MSsq1 = MSsq2 = MSp =	Sst1h stat * ((H2+H3+H4+hd)/3-hd) Sst1h sism* ((H2+H3+H4+Hd)/3-Hd) Sst1v stat* B Sst1v sism* B Ssq1h * ((H2+H3+H4+Hd)/2-Hd) Ssq1v* B γ ₁ '*Hd ³ *kps ⁺ /3+(2*c1'*kps ^{+0.5} +γ1'*kps ^{+*} H2')*Hd ² /2	(kNm/m) (kNm/m) (kNm/m) (kNm/m) (kNm/m) (kNm/m)	252.11 45.14 214.72 38.44 12.10 6.87 0.00	252.11 45.14 214.72 38.44 12.10 6.87 0.00	252.11 74.48 214.72 63.44 13.52 7.68 0.00	
MOMENTI DOVUTI ALLE FORZE ESTERNE Mfext1 = mp+ms (kNm/m) 0.00 Mfext2 = (fp+fs)*(H3 + H2) (kNm/m) 0.00 Mfext3 = (vp+vs)*(B1 +B2 + B3/2) (kNm/m) 4.20						



10.3 VERIFICHE GEOTECNICHE

10.3.1 VERIFICA STATICA A RIBALTAMENTO, SCORRIMENTO E CARICO LIMITE VERTICALE - C. DRENATE

VERIFICA ALLO SCORRIMENTO (STR/GEO)

Risultante forze verticali (N) N = Pm + Pt + v + Stv + Sqv perm + Sqv acc 544.98 (kN/m)						
Risultant T =	e forze orizzontali (T) Sth + Sqh + f		175.86	(kN/m)		
Coefficier f =	nte di attrito alla base tg _{φ1} '	(f)	0.36	(-)		
Fs sc	corr.	(N*f + Sp) / T	1.13	>	1.1	
VERIFIC	CA AL RIBALTAME	<u>NTO</u>				
Momento Ms =	o stabilizzante (Ms) Mm + Mt + M	fext3	1408.33	(kNm/m)		
Momento Mr =	o ribaltante (Mr) MSt + MSq +	Mfext1+ Mfext2 + MSp	79.74	(kNm/m)		
Fs rib	altamento	Ms / Mr	17.66	>	1.15	
Momento Ms = Momento Mr =	o stabilizzante (Ms) Mm + Mt + M o ribaltante (Mr) MSt + MSq +	fext3 Mfext1+ Mfext2 + MSp	79.74	(kNm/m)	1.15	

VERIFICA CARICO LIMITE DELLA FONDAZIONE (STR/GEO)

Risultante forze verticali (N) N = Pm + Pt + v + Stv + Sqv (+ Sovr acc)	Nmin 544.98	Nmax 586.74	(kN/m)
Risultante forze orizzontali (T)			. ,
T = Sth + Sqh + f - Sp	175.86	175.86	(kN/m)
Risultante dei momenti rispetto al piede di valle (MM) $MM = \sum M$	1328.59	1462.22	(kNm/m)
Momento rispetto al baricentro della fondazione (M) M = Xc*N - MM	33.86	4.63	(kNm/m)

Formula Generale per il Calcolo del Carico Limite Unitrario (Brinch-Hansen, 1970)



NV58: MURO DI SOTTOSCARPA MU83F RELAZIONE DI CALCOLO COMMESSA LOTTO CO

CODIFICA DOCUMENTO
CL MU83F0 001

1.43

Nmax

REV. FOGLIO

C 52 di 90

Fondazione Nastriforme

qlim = c'Nc*ic + q_0 *Nq*iq + 0.5* γ 1*B*N γ *i γ

FS carico li	Mmi mite F = qlim*B*/ N	n 1.4	6	>	1.4		
qlim	(carico limite unitario)	16	63.55	167.92	(kN/m^2)		
(fondazione nastriforme m = 2)							
$i_{\gamma} = (1 - T/(N +$	B*c'cotg _φ ')) ^{m+1}		0.34	0.34	(-)		
iq = (1 - T/(N + ic = iq - (1 - iq))	= 1 **		0.49 0.39	0.52 0.39	(-) (-)		
l valori di ic, iq e i $_{\gamma}$ sono stati valutati con le espressioni suggerite da Vesic (1975)							
$N_{\gamma} = 2^*(Nq + 1)$			5.39		(-)		
Nq = tg (45 + q) $Nc = (Nq - 1)/tg$			14.83		(-) (-)		
$Nq = tg^2(45 + q)$	$(5/2)*e^{(\pi^*tg(\phi'))}$ (1 in cond. nd)		6.40		()		
I valori di Nc, N	q e Ng sono stati valutati con le espressioni suggerite da Ve	esic (1975)					
B*= B - 2e	larghezza equivalente		4.88	4.98	(m)		
e = M / N	eccentricità		0.06	0.01	(m)		
$q_0 = \gamma d^*H2'$	sovraccarico stabilizzante		22.80		(kN/m^2)		
γ1	peso unità di volume terreno fondaz.		16.60		(kN/m^3)		
c1' φ1'	coesione terreno di fondaz. angolo di attrito terreno di fondaz.		20.00		(kPa) (°)		
-41	accelera tarrara di fando		3.00		(LDa)		

10.3.2 VERIFICA SISMICA A RIBALTAMENTO, SCORRIMENTO E CARICO LIMITE VERTICALE - C.

Condizione sismica +

VERIFICA ALLO SCORRIMENTO

Fs	=	(N*f + Sp) / T	1.11	>	1
f	=	$tg_{\phi}l'$	0.36	(-)	
Coeff	iciente di	attrito alla base (f)			
Т	=	Sst1h + Ssq1h + fp + fs +Ps h + Ptsh	180.90	(kN/m)	
Risul	tante forz	ze orizzontali (T)			
N	=	Pm+ Pt + vp + vs + Sst1v + Ssq1v + Ps v + Ptsv	550.99	(kN/m)	
Risul	tante forz	ze verticali (N)			

VERIFICA AL RIBALTAMENTO

Fr	=	Ms / Mr	10.64	>	1
	nento riba =	Itante (Mr) MSst+MSsq+Mfext1+Mfext2+MSp+MPs+Mpts	132.31	(kNm/m)	
Mon Ms		oilizzante (Ms) Mm + Mt + Mfext3	1408.33	(kNm/m)	

VERIFICA A CARICO LIMITE DELLA FONDAZIONE

Risult	isultante forze verticali (N)			Nmax			
N	=	Pm+ Pt + vp + vs + Sst1v + Ssq1v + Ps v + Ptsv + (Sovr acc)	550.99	556.75	(kN/m)		
		<u> </u>					
Risult	Risultante forze orizzontali (T)						
Τ	=	Sst1h + Ssq1h + fp + fs +Ps h + Ptsh - Sp	180.90		(kN/m)		
Risult	ante dei ı	momenti rispetto al piede di valle (MM)					
MM	=	ΣM	1306.83	1325.26	(kNm/m)		
			1000.00	1020.20	()		
Momento rispetto al baricentro della fondazione (M)							
	_	,	70.05	00.00	(IsNing /mg)		
М	=	Xc*N - MM	70.65	66.62	(kNm/m)		

Formula Generale per il Calcolo del Carico Limite Unitrario (Brinch-Hansen, 1970)



NV58: MURO DI SOTTOSCARPA MU83F RELAZIONE DI CALCOLO COMMESSA RS3T CODIFICA CL

LOTTO

30 D 78

DOCUMENTO MU83F0 001

1.36

1.36

Nmin

Nmax

REV. FOGLIO

C 54 di 90

1.2

Fondazione Nastriforme

FS carico limite

c1' φ 1' γ 1 $q_0 = \gamma d^*H2'$	coesione terreno di fondaz. angolo di attrito terreno di fondaz. peso unità di volume terreno fondaz. sovraccarico stabilizzante	3.00 20.00 16.60 22.80		(kN/mq) (°) (kN/m³) (kN/m²)				
e = M / N B*= B - 2e	eccentricità larghezza equivalente	0.13 4.74	0.12 4.76	(m) (m)				
I valori di Nc, N	lq e Ng sono stati valutati con le espressioni suggerite da Vesic (1975)							
$N_{\gamma} = 2*(Nq + 1)$	$g(\varphi')$ (2+ π in cond. nd))*tg(φ') (0 in cond. nd)	6.40 14.83 5.39		(-) (-) (-)				
I valori di ic, iq	e i $_{\gamma}$ sono stati valutati con le espressioni suggerite da Vesic (1975)							
iq = (1 - T/(N + ic = iq - (1 - iq) + ig) $i_{\gamma} = (1 - T/(N + iq) + ig)$	/(Nq - 1)	0.48 0.38 0.33	0.49 0.39 0.33	(-) (-) (-)				
(fondazione na	(fondazione nastriforme m = 2)							
qlim	(carico limite unitario)	157.99	159.11	(kN/m²)				

F = qlim*B*/N



Condizione sismica -

Т

MM =

VERIFICA ALLO SCORRIMENTO

Risuli N	tante forz	e verticali (N) Pm+ Pt + vp + vs + Sst1v + Ssq1v + Ps v + Ptsv	517.63	(kN/m)						
Risul	tante forz	e orizzontali (T)		()						
T	=	Sst1h + Ssq1h + fp + fs +Ps h + Ptsh	173.59	(kN/m)						
Coeff f	iciente di =	attrito alla base (f) tg _@ 1'	0.36	(-)						
'	_	τ9φ1	0.50	(-)						
Fs	=	(N*f + Sp) / T	1.09	>	1					
VERIFICA AL RIBALTAMENTO										
Mom	ento stabi	lizzante (Ms)								
Ms	=	Mm + Mt + Mfext3	1408.33	(kNm/m)						
	ento ribalt	· ·								
Mr	=	MSst+MSsq+Mfext1+Mfext2+MSp+MPs+Mpts	265.55	(kNm/m)						
Fr	=	Ms / Mr	5.30	>	1					
<u>VER</u>	IFICAA	CARICO LIMITE DELLA FONDAZIONE								
Risul	tante forz	e verticali (N)	Nmin	Nmax						
N	=	Pm+ Pt + vp + vs + Sst1v + Ssq1v + Ps v + Ptsv	517.63	523.39	(kN/m)					
Risul	tante forz	e orizzontali (T)								

(kN/m)

1236.60 (kNm/m)

71.87 (kNm/m)

173.59

1218.17

75.90

Formula Generale per il Calcolo del Carico Limite Unitrario (Brinch-Hansen, 1970)

Sst1h + Ssq1h + fp + fs + Psh + Ptsh - Sp

Risultante dei momenti rispetto al piede di valle (MM)

Momento rispetto al baricentro della fondazione (M)

Xc*N - MM

 ΣM



NV58: MURO DI SOTTOSCARPA MU83F RELAZIONE DI CALCOLO COMMESSA RS3T LOTTO 30 D 78 CODIFICA CL

DOCUMENTO MU83F0 001

1.40

1.40

Nmin

Nmax

REV. FOGLIO

C 56 di 90

1.2

Fondazione Nastriforme

FS carico limite

qlim = c'Nc*ic + q_0 *Nq*iq + 0.5* γ 1*B*N γ *i γ

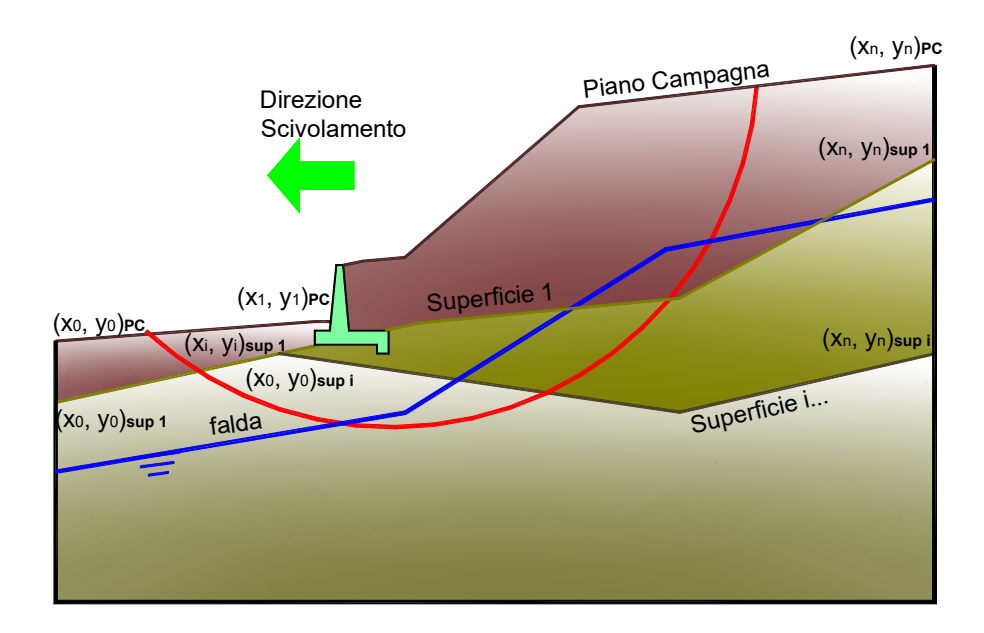
c1' φ 1' γ 1 $q_0 = \gamma d^*H2'$	coesione terreno di fondaz. angolo di attrito terreno di fondaz. peso unità di volume terreno fondaz. sovraccarico stabilizzante	3.00 20.00 16.60 22.80		(kN/mq) (°) (kN/m³) (kN/m²)					
e = M / N B*= B - 2e	eccentricità larghezza equivalente	0.15 4.71	0.14 4.73	(m) (m)					
l valori di Nc, Nq e Ng sono stati valutati con le espressioni suggerite da Vesic (1975)									
$Nq = tg^{2}(45 + c)$ $Nc = (Nq - 1)/t$ $N_{\gamma} = 2^{*}(Nq + 1)$	$g(\varphi')$ (2+ π in cond. nd)	6.40 14.83 5.39		(-) (-) (-)					
l valori di ic, iq	e i $_{\gamma}$ sono stati valutati con le espressioni suggerite da Vesic (1975)								
$ iq = (1 - T/(N + B*c'cotg_{\phi}'))^m $									
(fondazione nastriforme m = 2)									
qlim	(carico limite unitario)	154.33	155.53	(kN/m ²)					

F = qlim*B*/N

STALFERR GRUPPO FERROVIE DELLO STATO ITALIANE	NUOVO COI TRATTA VA	DIRETTRICE FERROVIARIA MESSINA – CATANIA – PALERMO NUOVO COLLEGAMENTO PALERMO – CATANIA TRATTA VALLELUNGA – CALTANISETTA XIRBI (LOTTO 3b) OPERE DI SOSTEGNO VIABILITA' – LOTTO 3B								
NV58: MURO DI SOTTOSCARPA MU83F RELAZIONE DI CALCOLO	COMMESSA RS3T	LOTTO 30 D 78	CODIFICA	DOCUMENTO MU83F0 001	REV.	FOGLIO 57 di 90				

10.3.3 VERIFICA DI STABILITÀ GLOBALE - COND. DRENATE

Le analisi di stabilità, di seguito riportate, sono state effettuate limitando la ricerca delle potenziali superfici di scorrimento critiche alla fascia più prossima alla linea stradale.

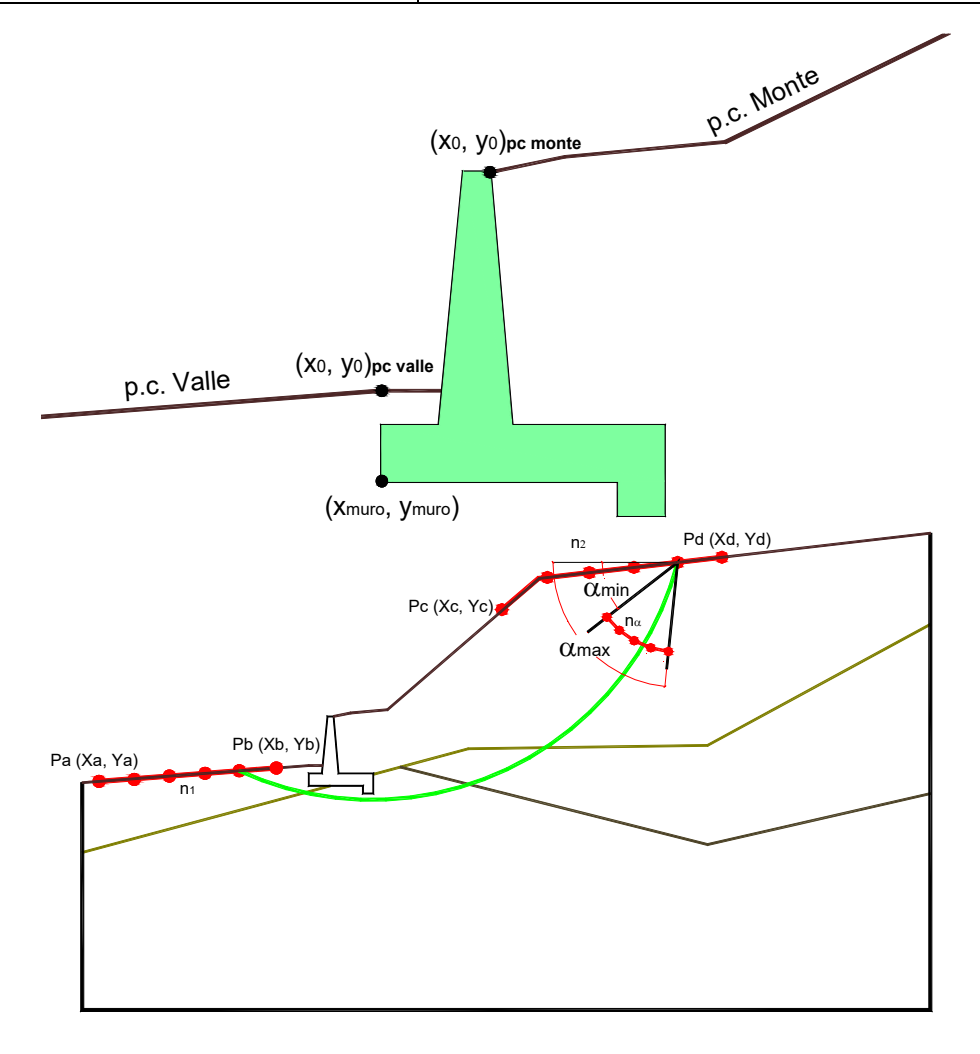


	γ [kN/m³]	ф [°]	c [kPa]	Descrizione
materiale 1	19.00	28	0	Rilevato - riporto
materiale 2	21.00	16	2.4	Coltre



NV58: MURO DI SOTTOSCARPA MU83F RELAZIONE DI CALCOLO
 COMMESSA
 LOTTO
 CODIFICA
 DOCUMENTO
 REV.
 FOGLIO

 RS3T
 30 D 78
 CL
 MU83F0 001
 C
 58 di 90

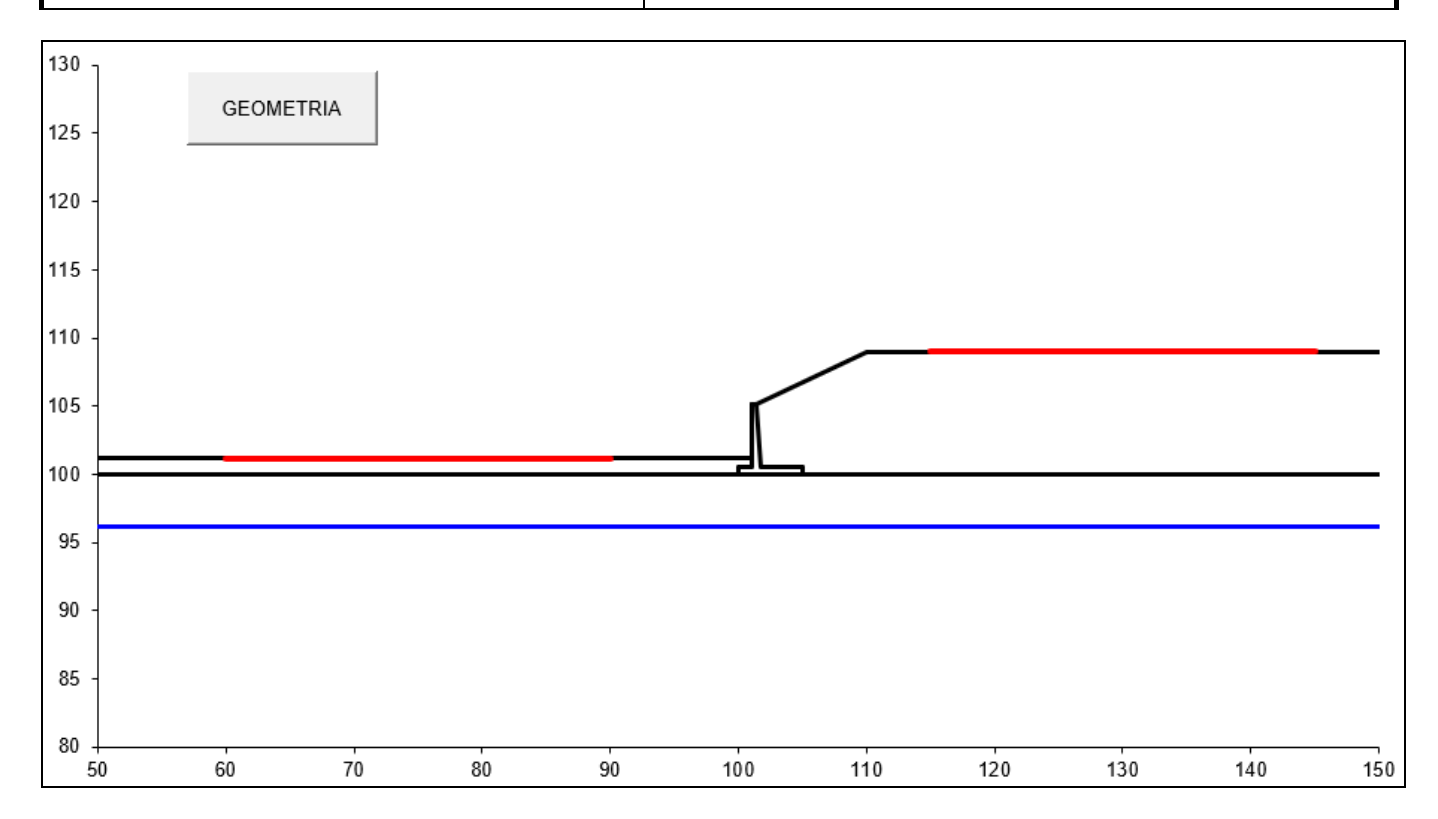


	p.c. va	lle		p.c. mo	nte		superfic	ie 1		superfic	ie 2		superfic	ie 3			
		materiale 1		▼			mate	riale 2		mate	riale 3		mate	riale 4		folda	
	Х	у		Х	у		Х	у		х	у		х	у		Х	у
(100.000	101.200	0	101.400	105.100	0	50.000	100.000	0			0			0	50.000	96.200
1	50.000	101.200	1	110.000	109.000	1	150.000	100.000	1			1			1	150.000	96.200
2			2	150.000	109.000	2			2			2			2		

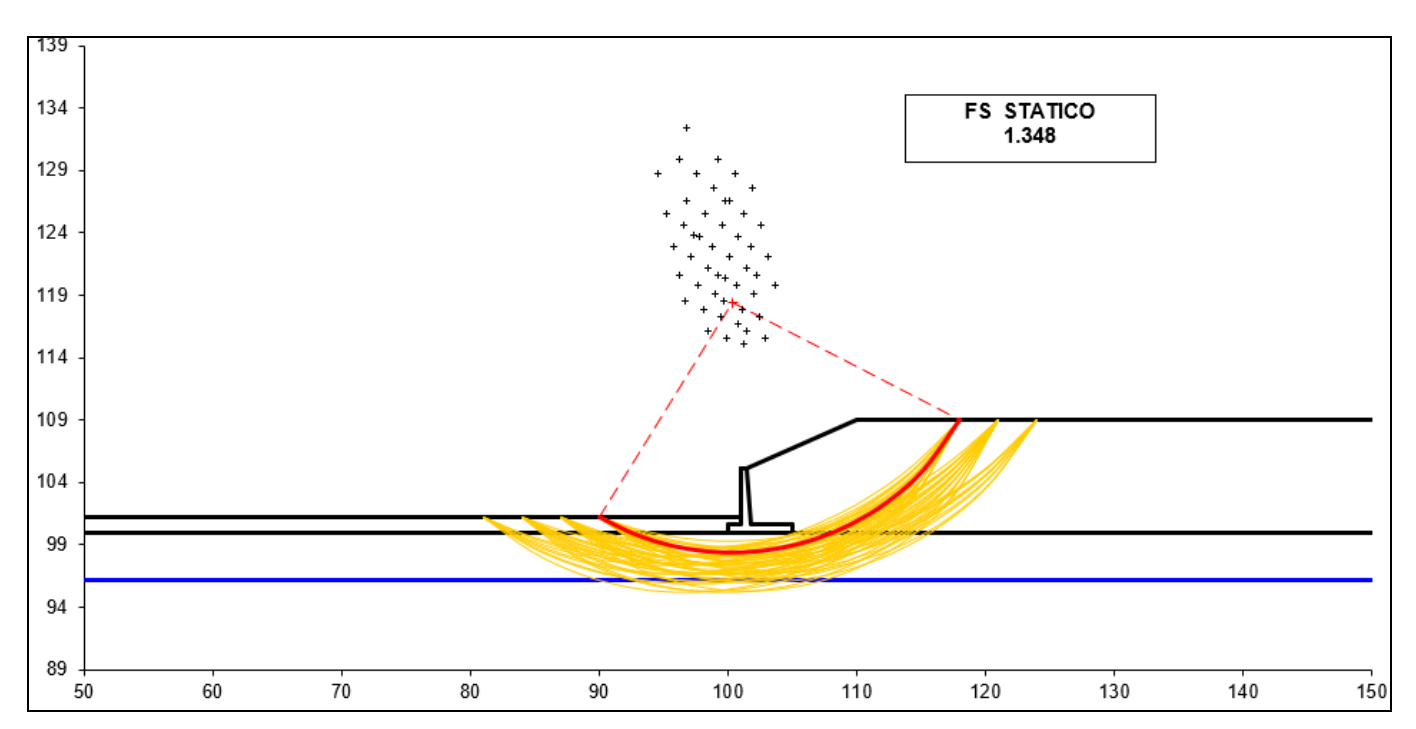
Sovraccarichi



GRUPPO FERROVIE DELLO STATO ITALIANE	NUOVO CO TRATTA VA	DIRETTRICE FERROVIARIA MESSINA – CATANIA – PALERMO NUOVO COLLEGAMENTO PALERMO – CATANIA TRATTA VALLELUNGA – CALTANISETTA XIRBI (LOTTO 3b) OPERE DI SOSTEGNO VIABILITA' – LOTTO 3B								
NV58: MURO DI SOTTOSCARPA MU83F	COMMESSA	LOTTO	CODIFICA	DOCUMENTO	REV.	FOGLIO				
RELAZIONE DI CALCOLO	RS3T	30 D 78	CL	MU83F0 001	С	59 di 90				

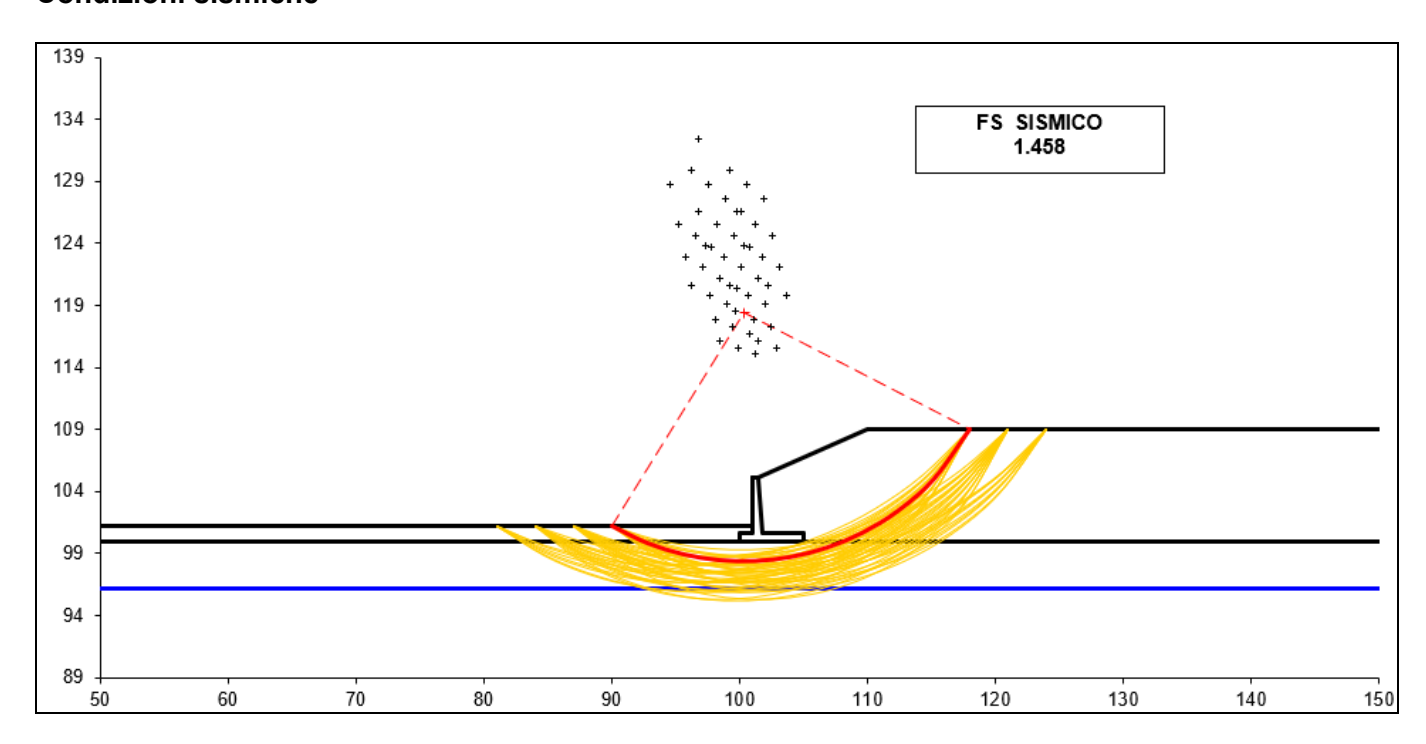


Condizioni statiche



GRUPPO FERROVIE DELLO STATO ITALIANE	NUOVO COI TRATTA VA	DIRETTRICE FERROVIARIA MESSINA – CATANIA – PALERMO NUOVO COLLEGAMENTO PALERMO – CATANIA TRATTA VALLELUNGA – CALTANISETTA XIRBI (LOTTO 3b) OPERE DI SOSTEGNO VIABILITA' – LOTTO 3B								
NV58: MURO DI SOTTOSCARPA MU83F	COMMESSA	LOTTO	CODIFICA	DOCUMENTO	REV.	FOGLIO				
RELAZIONE DI CALCOLO	RS3T	30 D 78	CL	MU83F0 001	С	60 di 90				

Condizioni sismiche



10.4 VERIFICHE STRUTTURALI

10.4.1 CALCOLO DELLE SOLLECITAZIONI

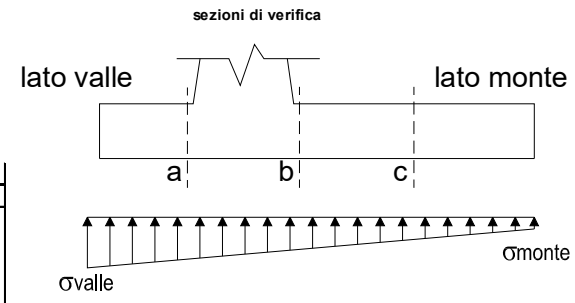
Reazione del terreno

ovalle = N / A + M / Wgg
omonte = N / A - M / Wgg

A = 1.0*B = 5.00 (m²)

 $Wgg = 1.0*B^2/6 = 4.17 (m^3)$

caso	N	М	σvalle	σmonte
Caso	[kN]	[kNm]	[kN/m ²]	[kN/m ²]
statico	544.98	33.86	117.12	100.87
Statico	586.74	4.63	118.46	116.24
sisma+	550.99	70.65	127.15	93.24
SiSilia	556.75	66.62	127.34	95.36
sisma-	517.63	75.90	121.74	85.31
SiSina-	523.39	71.87	121.93	87.43



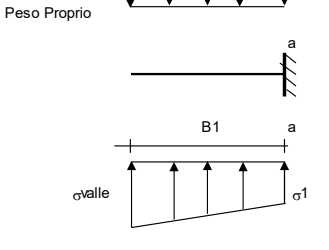
Mensola Lato Valle

Peso Proprio. PP = 15.00 (kN

 $Ma = \sigma^{1*}B^{1/2} + (\sigma valle - \sigma^{1})^{*}B^{1/2} - PP^{*}B^{1/2}(1\pm kv)$ $V_{2} = \sigma^{1*}B^{1/2} + (\sigma valle - \sigma^{1})^{*}B^{1/2} - PP^{*}B^{1*}(1\pm kv)$

 $Va = {}_{\sigma}1*B1 + ({}_{\sigma}Valle - {}_{\sigma}1)*B1/2 - PP*B1*(1±kv)$

σvalle	σ1	Ма	Va
[kN/m ²]	[kN/m ²]	[kNm]	[kN]
117.12	113.87	50.52	100.50
118.46	118.01	51.66	103.24
127.15	120.37	54.71	108.28
127.34	120.94	55.10	108.66
121.74	114.46	52.40	102.62
121.93	115.03	52.31	102.99
	[kN/m ²] 117.12 118.46 127.15 127.34 121.74	[kN/m²] [kN/m²] 117.12 113.87 118.46 118.01 127.15 120.37 127.34 120.94 121.74 114.46	[kN/m²] [kN/m²] [kNm] 117.12 113.87 50.52 118.46 118.01 51.66 127.15 120.37 54.71 127.34 120.94 55.10 121.74 114.46 52.40



 \downarrow

Stv+Sta

PD

B5 - B5/2

Peso del Terrapieno

Men	sola La	to Monte	
PP	=	15.00	(kN/m^2)
PD	=	0.00	(kN/m)

peso proprio soletta fondazione peso proprio dente

	•	•			
	N max sism	N max stat	Nmin		
(kN/m ²)	112.00	122.00	110.40	=	pm
(kN/m ²)	89.59	99.59	87.99	=	pvb
(kN/m²)	100.70	110.70	00.10	_	nun.

 $\label{eq:monte-power-$

 $\label{eq:mc} $$ Mc = (G_{monto}^{p(pc+PP)^{*}(1\pm kv)})^{*}(B5/2)^{2}/2 + (G_{2c^{*}G_{monto}})^{*}(B5/2)^{2}/6 - (pm-pvc)^{*}(1\pm kv)^{*}(B5/2)^{2}/3 + (Stv+Sqv)^{*}(B5/2)-PD^{*}(1\pm kv)^{*}(B5/2-Bd/2)-PD^{*}kh^{*}(Hd+H2/2)+Msp+Sp^{*}H2/2) + (G_{2c^{*}G_{monto}})^{*}(B5/2-Bd/2)-PD^{*}kh^{*}(Hd+H2/2)+Msp+Sp^{*}H2/2) + (G_{2c^{*}G_{monto}})^{*}(B5/2-Bd/2)-PD^{*}kh^{*}(B5/2-Bd/2)-PD^{*}$

 $Vb = (_{Omonte} - (pvb + PP)^*(1 \pm kv))^*B5 + (_{O}2b - _{Omonte})^*B5/2 - (pm-pvb))^*(1 \pm kv)^*B5/2 - (Stv + Sqv) - PD^*(1 \pm kv)$

 $Vc = (_{Omonte} - (pvc + PP)^*(1 \pm kv))^*(B5/2) + (_{O}2c - _{Omonte})^*(B5/2)/2 - (pm-pvc)^*(1 \pm kv)^*(B5/2)/2 - (Stv + Sqv) - PD^*(1 \pm kv)/2 - (Stv + Sqv) - (Stv + Sq$

	σmonte	σ2b	Mb	Vb	σ2c	Мс	Vc
caso	[kN/m ²]	[kN/m ²]	[kNm]	[kN]	[kN/m²]	[kNm]	[kN]
statico	100.87	111.40	-278.49	-90.11	106.14	-128.67	-93.12
Statico	116.24	117.68	-274.62	-92.63	116.96	-125.72	-90.70
sisma+	93.24	115.22	-288.14	-98.84	104.23	-126.18	-95.02
Sisilia	95.36	116.08	-287.88	-99.36	105.72	-125.84	-94.77
aiama	85.31	108.92	-278.50	-95.45	97.11	-121.66	-92.07
sisma-	87.43	109.78	-277.70	-95.63	98.61	-121.18	-91.65

NV58: MURO DI SOTTOSCARPA MU83F RELAZIONE DI CALCOLO

COMMESSA LOTTO CODIFICA FOGLIO DOCUMENTO REV. RS3T 30 D 78 CL MU83F0 001 С 62 di 90

CALCOLO SOLLECITAZIONI PARAMENTO VERTICALE DEL MURO

Azioni sulla parete e Sezioni di Calcolo

Mt stat = $\frac{1}{2}$ Ka_{orizz.}* γ *(1±kv)*h²*h/3

Mt sism = $\frac{1}{2}$ * γ *(Kas_{orizz.}*(1±kv)-Ka_{orizz.})*h^{2*}h/2 o *h/3

Mq = $\frac{1}{2}$ Ka_{orizz}*q*h² $M_{ext} = m+f^*h$ $M_{inerzia} = \sum Pm_i^*b_i^*kh$

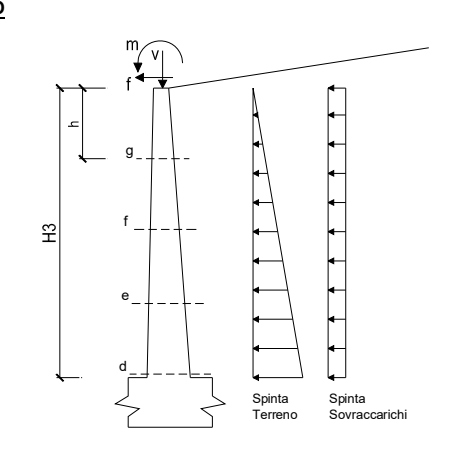
 $N_{ext} = v$

N _{pp+inerzia}= $\sum Pm_i^*(1\pm kv)$

Vt stat = $\frac{1}{2}$ Ka_{orizz.}* γ *(1±kv)*h²

 $Vt \; sism = \; \frac{1}{2} * \gamma * (Kas_{orizz.} * (1\pm kv) - Ka_{orizz.}) * h^2$

 $Vq = Ka_{orizz}^{} q^*h$ $V_{ext} = f$ $V_{inerzia} = \sum Pm_i^*kh$



condizione statica

sezione	h	Mt	Mq	M _{ext}	M _{tot}	N _{ext}	N _{pp}	N _{tot}
00210110	[m]	[kNm/m]	[kNm/m]	[kNm/m]	[kNm/m]	[kN/m]	[kN/m]	[kN/m]
d-d	4.50	113.38	35.50	0.00	148.88	3.50	65.25	68.75
e-e	3.38	47.83	19.97	0.00	67.80	3.50	45.14	48.64
f-f	2.25	14.17	8.87	0.00	23.05	3.50	27.56	31.06
g-g	1.13	1.77	2.22	0.00	3.99	3.50	12.52	16.02

sezione	h	Vt	Vq	V _{ext}	V_{tot}
Sezione	[m]	[kN/m]	[kN/m]	[kN/m]	[kN/m]
d-d	4.50	75.59	15.78	0.00	91.36
e-e	3.38	42.52	11.83	0.00	54.35
f-f	2.25	18.90	7.89	0.00	26.79
g-g	1.13	4.72	3.94	0.00	8.67

condizione sismica +

sezione	h	Mt _{stat}	Mt sism	Mq	M _{ext}	M _{inerzia}	M _{tot}	N_{ext}	N _{pp+inerzia}	N_{tot}
	[m]	[kNm/m]	[kNm/m]	[kNm/m]	[kNm/m]	[kNm/m]	[kNm/m]	[kN/m]	[kN/m]	[kN/m]
d-d	4.50	87.22	22.41	5.89	0.00	8.46	123.98	3.50	67.35	70.85
e-e	3.38	36.79	9.45	3.31	0.00	4.49	54.05	3.50	46.59	50.09
f-f	2.25	10.90	2.80	1.47	0.00	1.87	17.05	3.50	28.45	31.95
g-g	1.13	1.36	0.35	0.37	0.00	0.44	2.52	3.50	12.92	16.42

sezione	h	Vt stat			V _{ext}	V _{inerzia}	V_{tot}
	[m]	[kN/m]	[kN/m]	[kN/m]	[kN/m]	[kN/m]	[kN/m]
d-d	4.50	58.14	14.94	2.62	0.00	4.20	79.90
e-e	3.38	32.71	8.40	1.96	0.00	2.90	45.97
f-f	2.25	14.54	3.73	1.31	0.00	1.77	21.35
g-g	1.13	3.63	0.93	0.65	0.00	0.80	6.03

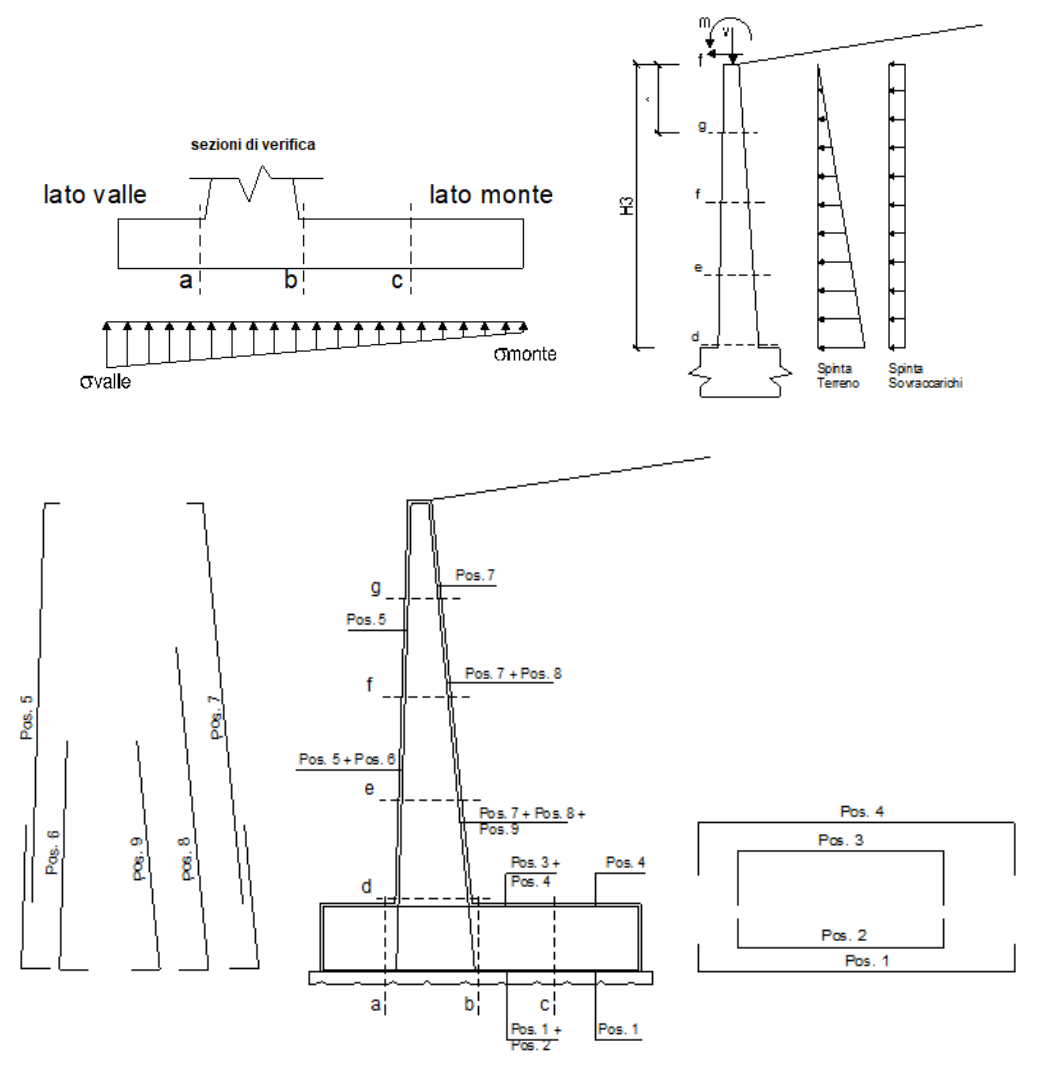
condizione sismica -

sezione	h	Mt stat	Mt sism	Mq	M _{ext}	M _{inerzia}	M _{tot}	N _{ext}	N _{pp+inerzia}	N _{tot}
	[m]	[kNm/m]	[kNm/m]	[kNm/m]	[kNm/m]	[kNm/m]	[kNm/m]	[kN/m]	[kN/m]	[kN/m]
d-d	4.50	87.22	16.62	5.96	0.00	8.46	118.26	3.50	63.15	66.65
e-e	3.38	36.79	7.01	3.36	0.00	4.49	51.65	3.50	43.69	47.19
f-f	2.25	10.90	2.08	1.49	0.00	1.87	16.34	3.50	26.68	30.18
g-g	1.13	1.36	0.26	0.37	0.00	0.44	2.43	3.50	12.11	15.61

sezione	h	Vt stat	Vt sism	Vq	V _{ext}	V _{inerzia}	V_{tot}
	[m]	[kN/m]	[kN/m]	[kN/m]	[kN/m]	[kN/m]	[kN/m]
d-d	4.50	58.14	11.08	2.65	0.00	4.20	76.07
e-e	3.38	32.71	6.23	1.99	0.00	2.90	43.83
f-f	2.25	14.54	2.77	1.33	0.00	1.77	20.40
g-g	1.13	3.63	0.69	0.66	0.00	0.80	5.79



10.4.2 VERIFICHE SLU



Armatura minima

L'armatura minima principale in fondazione deve essere in percentuale non inferiore allo 0.20% dell'area di conglomerato.

L'armatura minima principale presente in zona tesa deve essere in percentuale non inferiore allo 0.15% dell'area di conglomerato per l'intera lunghezza.

L'armatura secondaria, ortogonale a quella principale, deve essere pari al massimo delle seguenti percentuali:

- 0.10% dell'area di conglomerato in entrambi i lembi;
- 20% dell'armatura principale.



Muro h = 4,50m su fondazione diretta

ARMATURE

pos	n°/ml	ф	II strato	pos	n°/ml	ф	II strato
1	10.0	16		5	10.0	16	
2	0.0	0		6	0.0	0	
3	0.0	0		7	10.0	20	
4	10.0	20		8	0.0	0	
				9	0.0	0	

Pertanto l'armatura secondaria sarà pari a:

sez a – a: ϕ 10/20cm (ripartitori in fondazione e in elevazione);

sez b – b: $\phi 10/20$ cm (ripartitori in fondazione);

sez c – c: φ10/20cm (ripartitori in fondazione);

sez d - d: $\phi 10/20$ cm (ripartitori in fondazione);

sez e - e: $\phi 10/20$ cm (ripartitori in fondazione);

sez f – f: ϕ 10/20cm (ripartitori in fondazione);

sez g - g: $\phi 10/20$ cm (ripartitori in fondazione);

Sez.	М	N	h	Af	A'f	Mu
(-)	(kNm)	(kN)	(m)	(cm ²)	(cm ²)	(kNm)
a - a	55.10	0.00	0.60	20.11	31.42	388.33
b - b	-288.14	0.00	0.60	31.42	20.11	578.41
C - C	-128.67	0.00	0.60	31.42	20.11	578.41
d - d	148.88	68.75	0.76	31.42	20.11	795.48
e -e	67.80	48.64	0.67	31.42	20.11	676.70
f - f	23.05	31.06	0.58	31.42	20.11	560.24
g - g	3.99	16.02	0.49	31.42	20.11	445.77

(n.b.: M+ tende le fibre di intradosso, M- tende le fibre di estradosso)

Sez.	V_{Ed}	h	V_{rd}	ø staffe	i orizz.	i vert.	θ	V_{Rsd}	_
(-)	(kN)	(m)	(kN)	(mm)	(cm)	(cm)	(°)	(kN)	_
a - a	108.66	0.60	232.12	14	20	20	21.8	1734.81	Armatura a taglio non necessaria
b - b	99.36	0.60	269.35	14	20	20	21.8	1734.81	Armatura a taglio non necessaria
C - C	95.02	0.60	269.35	14	20	20	21.8	1734.81	Armatura a taglio non necessaria
d - d	91.36	0.76	316.22	14	20	20	21.8	2276.94	Armatura a taglio non necessaria
e -e	54.35	0.67	292.71	14	20	20	21.8	1972.00	Armatura a taglio non necessaria
f - f	26.79	0.58	268.27	14	20	20	21.8	1667.05	Armatura a taglio non necessaria
g - g	8.67	0.49	242.54	14	20	20	21.8	1362.10	Armatura a taglio non necessaria

10.4.3 VERIFICHE SLE TENSIONE

Condizione Statica

Sez.	М	N	h	Af	A'f	$\sigma^{\scriptscriptstyle extsf{C}}$	σf
(-)	(kNm)	(kN)	(m)	(cm ²)	(cm ²)	(N/mm ²)	(N/mm ²)
a - a	43.58	0.00	0.60	20.11	31.42	1.13	47.27
b - b	-202.18	0.00	0.60	31.42	20.11	4.59	142.48
c - c	-93.06	0.00	0.60	31.42	20.11	2.11	65.58
d - d	111.70	68.75	0.76	31.42	20.11	1.67	48.70
e -e	50.57	48.64	0.67	31.42	20.11	0.96	23.83
f - f	17.02	31.06	0.58	31.42	20.11	0.43	7.93
g - g	2.89	16.02	0.49	31.42	20.11	0.10	0.56

Condizione Sismica

Sez.	M	N	h	Af	A'f	$\sigma^{_{ m C}}$	σf
(-)	(kNm)	(kN)	(m)	(cm ²)	(cm ²)	(N/mm ²)	(N/mm ²)
a - a	54.86	0.00	0.60	20.11	31.42	1.42	59.51
b - b	-288.14	0.00	0.60	31.42	20.11	6.54	203.05
C - C	-126.18	0.00	0.60	31.42	20.11	2.86	88.92
d - d	123.98	66.65	0.76	31.42	20.11	1.85	55.45
e -e	54.05	47.19	0.67	31.42	20.11	1.03	26.17
f - f	17.05	30.18	0.58	31.42	20.11	0.43	8.07
g - g	2.52	15.61	0.49	31.42	20.11	0.09	0.35

(n.b.: M+ tende le fibre di intradosso, M- tende le fibre di estradosso)

10.4.4 VERIFICHE SLE FESSURAZIONE

condizione Frequente

Sez.	М	N	h	Af	A'f	$\sigma^{_{\mathrm{C}}}$	σ^{f}	wk	\mathbf{w}_{amm}
(-)	(kNm)	(kN)	(m)	(cm ²)	(cm ²)	(N/mm ²)	(N/mm ²)	(mm)	(mm)
a - a	43.58	0.00	0.60	20.11	31.42	1.13	47.27	0.065	0.200
b - b	-202.18	0.00	0.60	31.42	20.11	4.59	142.48	0.172	0.200
c - c	-93.06	0.00	0.60	31.42	20.11	2.11	65.58	0.079	0.200
d - d	111.70	68.75	0.76	31.42	20.11	1.67	48.70	0.064	0.200
e -e	50.57	48.64	0.67	31.42	20.11	0.96	23.83	0.029	0.200
f - f	17.02	31.06	0.58	31.42	20.11	0.43	7.93	0.009	0.200
g - g	2.89	16.02	0.49	31.42	20.11	0.10	0.56	0.001	0.200

(n.b.: M+ tende le fibre di intradosso, M- tende le fibre di estradosso)

condizione Quasi Permanente

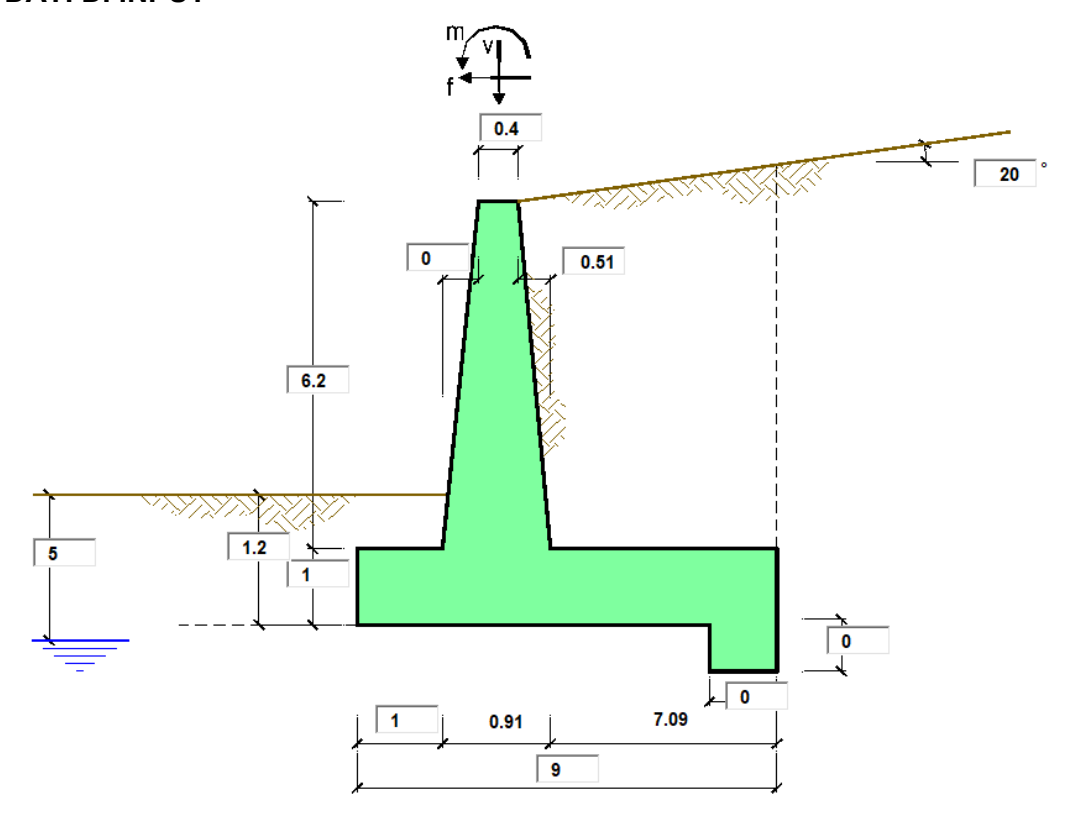
Sez.	M	N	h	Af	A'f	$\sigma^{_{ m C}}$	σ ^f	wk	\mathbf{w}_{amm}
(-)	(kNm)	(kN)	(m)	(cm ²)	(cm ²)	(N/mm ²)	(N/mm ²)	(mm)	(mm)
a - a	38.53	0.00	0.60	20.11	31.42	1.00	41.79	0.058	0.200
b - b	-164.37	0.00	0.60	31.42	20.11	3.73	115.83	0.139	0.200
C - C	-76.62	0.00	0.60	31.42	20.11	1.74	53.99	0.065	0.200
d - d	87.22	68.75	0.76	31.42	20.11	1.31	35.86	0.046	0.200
e -e	36.79	48.64	0.67	31.42	20.11	0.71	15.48	0.019	0.200
f - f	10.90	31.06	0.58	31.42	20.11	0.28	3.64	0.004	0.200
g - g	1.36	16.02	0.49	31.42	20.11	0.06	-0.14	0.000	0.200

(n.b.: M+ tende le fibre di intradosso, M- tende le fibre di estradosso)



11. PROGETTO E VERIFICA DEL MURO DI SOTTOSCARPA "TIPO 2"

11.1 DATI DI INPUT



Geometria del Muro

Elevazione	H3 =	6.20	(m)
Aggetto Valle	B2 =	0.00	(m)
Spessore del Muro in Testa	B3 =	0.40	(m)
Aggetto monte	B4 =	0.51	(m)

Geometria della Fondazione

GCOMCENTA GCNA I CHAGETONG				
Larghezza Fondazione	В	=	9.00	(m)
Spessore Fondazione	H2	=	1.00	(m)
Suola Lato Valle	B1	=	1.00	(m)
Suola Lato Monte	B5	=	7.09	(m)
Altezza dente	Hd	=	0.00	(m)
Larghezza dente	Bd	=	0.00	(m)
Mezzeria Sezione	Xc	=	4.50	(m)

Peso Specifico del Calcestruzzo	γcls =	25.00	(kN/m ³)



Dati geotecnici e carichi agenti - Condizione statica e sismica

				valori carat		valori di	progetto
Dati (<u>Geotecnici</u>			SLE		STR/GEO	EQU
i eno	Angolo di attrito del terrapieno	(°)	φ'	35.0)	35.00	35.00
Dati errapieno	Peso Unità di Volume del terrapieno	(kN/m ³)	γ'	19.00)	19.00	19.00
Ter	Angolo di attrito terreno-superficie ideale	(°)	δ	20.0)	20.00	20.00
one	Condizioni		drenate	○ Non Di	enate		
Terreno Fondazione	Coesione Terreno di Fondazione	(kPa)	c1'	3.00		3.00	3.00
TO.	Angolo di attrito del Terreno di Fondazione	(°)	φ1'	20.00)	20.00	20.00
2	Peso Unità di Volume del Terreno di Fondazione	(kN/m^3)	γ1	19.00)	19.00	19.00
эше	Peso Unità di Volume del Rinterro della Fondazione	(kN/m^3)	γ d	19.00)	19.00	19.00
Ĕ	Profondità "Significativa" (n.b.: consigliata H = 2*B)	(m)	Hs	18.00)		
Dati	Modulo di deformazione	(kN/m ²)	E	6000)		
	Accelerazione sismica		a _g /g	0.094	(-)	1	
	Coefficiente Amplificazione Stratigrafico		S _S	1.5	(-)		
Sismici	Coefficiente Amplificazione Topografico		S _T	1.2	(-)	RIBALTA	MENTO
Sism	Coefficiente di riduzione dell'accelerazione massima		β_s	0.38	(-)	β_{s}	0.57
Dati S	Coefficiente sismico orizzontale		kh	0.064296	(-)	kh	0.09644
۵	Coefficiente sismico verticale		kv	0.0321	(-)	kv	0.04822
	Muro libero di traslare o ruotare		•	si 🔘 n	0		

				STR/GEO	RIB
	Coeff. di Spinta Attiva Statico	ka	0.322	0.322	0.322
Coefficienti di Spinta	Coeff. Di Spinta Attiva Sismica sisma +	kas+	0.387	0.387	0.425
Spinta	Coeff. Di Spinta Attiva Sismica sisma -	kas-	0.392	0.392	0.438
Spi	Coeff. Di Spinta Passiva	kp	2.040	2.040	2.040
8	Coeff. Di Spinta Passiva Sismica sisma +	kps+	1.948	1.948	1.901
	Coeff. Di Spinta Passiva Sismica sisma -	kps-	1.941	1.941	1.886

				valori caratteristici	valori d	li progetto
<u>Carichi</u>	Agenti			SLE - sisma	STR/GEO	EQU
	Sovraccarico permanente	(kN/m ²)	qp	0.00	0.00	0.00
hi ent	Sovraccarico su zattera di monte si no					
Carichi	Forza Orizzontale in Testa permanente	(kN/m)	fp	0.00	0.00	0.00
Carichi ɔermanenti	Forza Verticale in Testa permanente	(kN/m)	vp	3.50	3.50	3.50
0.	Momento in Testa permanente	(kNm/m)	mp	0.00	0.00	0.00
	Sovraccarico Accidentale in condizioni statiche	(kN/m^2)	q	8.00	11.60	11.60
Condizioni Statiche	Forza Orizzontale in Testa accidentale in condizioni statich	(kN/m)	f	0.00	0.00	0.00
condizior	Forza Verticale in Testa accidentale in condizioni statiche	(kN/m)	V	0.00	0.00	0.00
St	Momento in Testa accidentale in condizioni statiche	(kNm/m)	m	0.00	0.00	0.00
	Coefficienti di combinazione condizione frequen	te ψ1	1.00 c	ondizione quasi permane	nte ψ2	0.00
e <u>=</u> :	Sovraccarico Accidentale in condizioni sismiche	(kN/m^2)	qs	1.60		
izio	Forza Orizzontale in Testa accidentale in condizioni sismicl	(kN/m)	fs	0.00	4	•
Condizioni Sismiche	Forza Verticale in Testa accidentale in condizioni sismiche	(kN/m)	VS	0.00	4	4
Ōω	Momento in Testa accidentale in condizioni sismiche	(kNm/m)	ms	0.00		



CARATTERISTICHE DEI MATERIALI STRUTTURALI

Calcestruzzo		<u>Acciaio</u>
classe cls C32/40 ▼		tipo di acciaio B450C ▼
Rck 40	(MPa)	
fck 32	(MPa)	fyk = 450 (MPa)
fcm 40	(MPa)	
Ec 33346	(MPa)	γ s = 1.15
α_{cc} 0.85		
γc 1.50		$fyd = fyk / \gamma s / \gamma E = 391.30 $ (MPa)
$f_{cd} = \alpha_{cc} * f_{ck} / \gamma c$ 18.13	(MPa)	Es = 210000 (MPa)
$f_{ctm} = 0.30 * f_{ck}^{2/3}$ 3.02	(MPa)	$\varepsilon_{ys} = 0.19\%$
		coefficiente omogeneizzazione acciaio n = 15 Copriferro (distanza asse armatura-bordo) c = 9.00 (cm)
		<u>Copriferro minimo di normativa</u> (ricoprimento armatura)
		$c_{min} = 5.00 $ (cm)
Valore limite di apertura delle fessure		Interferro tra <u>I</u> e <u>II</u> strato
Frequente w1 w1	0.2 mm	$i_{\text{I-II}}$ 5.00 (cm)
Quasi Permanente w1 ▼	0.2 mm	

11.2 CALCOLO DELLE AZIONI

11.2.1 FORZE VERTICALI E INERZIALI

FORZE VERTICALI

- Peso del Mur	o (Pm)		SLE	STR/GEO	EQU/RIB
Pm1 =	(B2*H3* _γ cls)/2	(kN/m)	0.00	0.00	0.00
Pm2 =	(B3*H3* _γ cls)	(kN/m)	62.00	62.00	62.00
Pm3 =	(B4*H3*γcls)/2	(kN/m)	39.53	39.53	39.53
Pm4 =	(B*H2*γcls)	(kN/m)	225.00	225.00	225.00
Pm5 =	(Bd*Hd [*] γcls)	(kN/m)	0.00	0.00	0.00
Pm =	Pm1 + Pm2 + Pm3 + Pm4 + Pm5	(kN/m)	326.53	326.53	326.53
- Peso del terre	eno e sovr. perm. sulla scarpa di monte del muro (Pt)				
Pt1 =	(B5*H3* _γ ')	(kN/m)	835.20	835.20	835.20
Pt2 =	(0,5*(B4+B5)*H4* _γ ')	(kN/m)	199.72	199.72	199.72
Pt3 =	(B4*H3* _γ ')/2	(kN/m)	30.04	30.04	30.04
Sovr =	qp * (B4+B5)	(kN/m)	0.00	0.00	0.00
Pt =	Pt1 + Pt2 + Pt3 + Sovr	(kN/m)	1064.96	1064.96	1064.96
- Sovraccarico	accidentale sulla scarpa di monte del muro				
Sovr acc. Stat	q * (B4+B5)	(kN/m)	60.8	88.16	
Sovr acc. Sism	n qs * (B4+B5)	(kN/m)	12.16		

MOMENTI DELLE FORZE VERT. RISPETTO AL PIEDE DI VALLE DEL MURO

- Muro (Mm)			SLE	STR/GEO	EQU/RIB
Mm1 = ` ´	Pm1*(B1+2/3 B2)	(kNm/m)	0.00	0.00	0.00
Mm2 =	Pm2*(B1+B2+0,5*B3)	(kNm/m)	74.40	74.40	74.40
Mm3 =	Pm3*(B1+B2+B3+1/3 B4)	(kNm/m)	62.05	62.05	62.05
Mm4 =	Pm4*(B/2)	(kNm/m)	1012.50	1012.50	1012.50
Mm5 =	Pm5*(B - Bd/2)	(kNm/m)	0.00	0.00	0.00
Mm =	Mm1 + Mm2 + Mm3 + Mm4 + Mm5	(kNm/m)	1148.95	1148.95	1148.95
- Terrapieno e	sovr. perm. sulla scarpa di monte del muro				
Mt1 =	Pt1*(B1+B2+B3+B4+0,5*B5)	(kNm/m)	4556.03	4556.03	4556.03
Mt2 =	Pt2*(B1+B2+B3+2/3*(B4+B5))	(kNm/m)	1291.51	1291.51	1291.51
Mt3 =	Pt3*(B1+B2+B3+2/3*B4)	(kNm/m)	52.27	52.27	52.27
Msovr =	Sovr*(B1+B2+B3+1/2*(B4+B5))	(kNm/m)	0.00	0.00	0.00
Mt =	Mt1 + Mt2 + Mt3 + Msovr	(kNm/m)	5899.80	5899.80	5899.80
- Sovraccarico	accidentale sulla scarpa di monte del muro				
	(B1+B2+B3+1/2(B4+B5))	(kNm/m)	316.16	458.432	
	1 *(B1+B2+B3+1/2*(B4+B5))	(kNm/m)	63.232		



NV58: MURO DI SOTTOSCARPA MU83F RELAZIONE DI CALCOLO
 COMMESSA
 LOTTO
 CODIFICA
 DOCUMENTO
 REV.
 FOGLIO

 RS3T
 30 D 78
 CL
 MU83F0 001
 C
 71 di 90

	MURO E DEL TERRAPIENO ontale e verticale del muro (Ps)			
Ps h =	Pm*kh	(kN/m)	20.99	31.49
Ps v=	Pm*kv	(kN/m)	10.50	15.75
PS V-	PIII KV	(KIN/III)	10.50	15.75
- Inerzia orizzo	ontale e verticale del terrapieno a tergo del muro (Pts))		
Ptsh =	Pt*kh	(kN/m)	68.47	102.71
Ptsv =	Pt*kv	(kN/m)	34.24	51.35
- Incremento o	rizzontale di momento dovuto all'inerzia del muro (MI	Ps h)		
MPs1 h=	kh*Pm1*(H2+H3/3)	(kNm/m)	0.00	0.00
MPs2 h=	kh*Pm2*(H2 + H3/2)	(kNm/m)	16.34	24.52
MPs3 h=	kh*Pm3*(H2+H3/3)	(kNm/m)	7.79	11.69
MPs4 h=	kh*Pm4*(H2/2)	(kNm/m)	7.23	10.85
MPs5 h=	-kh*Pm5*(Hd/2)	(kNm/m)	0.00	0.00
MPs h=	MPs1+MPs2+MPs3+MPs4+MPs5	(kNm/m)	31.37	47.06
WII 5 II	WI 31-WI 32-WI 30-WI 34-WI 30	(KINIIIII)	01.07	47.00
- Incremento v	erticale di momento dowto all'inerzia del muro (MPs	v)		
MPs1 v=	kv*Pm1*(B1+2/3*B2)	(kNm/m)	0.00	0.00
MPs2 v=	kv*Pm2*(B1+B2+B3/2)	(kNm/m)	2.39	3.59
MPs3 v=	kv*Pm3*(B1+B2+B3+B4/3)	(kNm/m)	1.99	2.99
MPs4 v=	kv*Pm4*(B/2)	(kNm/m)	32.55	48.82
MPs5 v=	kv*Pm5*(B-Bd/2)	(kNm/m)	0.00	0.00
MPs v=	MPs1+MPs2+MPs3+MPs4+MPs5	(kNm/m)	36.94	55.40
- Incremento o	rizzontale di momento dovuto all'inerzia del terrapien	o (MPts h)		
MPts1 h=	kh*Pt1*(H2 + H3/2)	(kNm/m)	220.17	330.26
MPts2 h=	kh*Pt2*(H2 + H3 + H4/3)	(kNm/m)	207.02	310.54
MPts3 h=	kh*Pt3*(H2+H3*2/3)	(kNm/m)	9.91	14.87
MPts h=	MPts1 + MPts2 + MPts3	(kNm/m)	437.11	655.66
- Incremento v	erticale di momento dovuto all'inerzia del terrapieno (l	MPts v)		
MPts1 v=	kv*Pt1*((H2 + H3/2) - (B - B5/2)*0.5)	(kNm/m)	146.47	219.70
MPts2 v=	kv*Pt2*((H2 + H3 + H4/3) - (B - B5/3)*0.5)	(kNm/m)	42.61	63.92
MPts3 v=	kv*Pt3*((H2+H3*2/3)-(B1+B2+B3+2/3*B4)*0.5)	(kNm/m)	2.09	3.14
MPts v=	MPts1 + MPts2 + MPts3	(kNm/m)	191.17	286.75
IVIF LO V-	IVII LOT + IVIF LOZ + IVIF LOJ	(KINIII/III)	131.17	200.75



NV58: MURO DI SOTTOSCARPA MU83F RELAZIONE DI CALCOLO
 COMMESSA
 LOTTO
 CODIFICA
 DOCUMENTO
 REV.
 FOGLIO

 RS3T
 30 D 78
 CL
 MU83F0 001
 C
 72 di 90

11.2.2 SPINTE IN CONDIZIONE STATICA

	TERRENO E DEL SOVRACCARICO condizione statica		SLE	STR/GEO	EQU/RIB				
St =	0,5* _γ '*(H2+H3+H4+Hd)²*ka	(kN/m)	303.50	394.54	394.54				
Sq perm =	q [*] (H ['] 2+H3+H4+Hd)*ka [']	(kN/m)	0.00	0.00	0.00				
Sq acc =	q*(H2+H3+H4+Hd)*ka	(kN/m)	25.64	37.18	37.18				
- Componente	orizzontale condizione statica								
Sth =	St*cosδ	(kN/m)	285.19	370.75	370.75				
Sqh perm =	Sq perm*cosδ	(kN/m)	0.00	0.00	0.00				
Sqh acc =	Sq acc* $\cos\delta$	(kN/m)	24.10	34.94	34.94				
- Componente	verticale condizione statica								
Stv =	St*senδ	(kN/m)	103.80	134.94	134.94				
Sqv perm=	Sq perm*senδ	(kN/m)	0.00	0.00	0.00				
Sqv acc =	Sq acc*senδ	(kN/m)	8.77	12.72	12.72				
- Spinta passiv	- Spinta passiva sul dente								
Sp=½*g1'*Hd2	$^{1/2}$ $^$	(kN/m)	0.00	0.00	0.00				

MOMENTI DELLA SPINTA DEL TERRENO E DEL SOVRACCARICO			SLE	STR/GEO	EQU/RIB				
MSt1 =	Sth*((H2+H3+H4+Hd)/3-Hd)	(kNm/m)	947.43	1231.65	1231.65				
MSt2 =	Stv*B	(kNm/m)	934.21	1214.48	1214.48				
MSq1 perm=	Sqh perm*((H2+H3+H4+Hd)/2-Hd)	(kNm/m)	0.00	0.00	0.00				
MSq1 acc =	Sqh acc*((H2+H3+H4+Hd)/2-Hd)	(kNm/m)	120.08	174.12	174.12				
MSq2 perm=	Sqv perm*B	(kNm/m)	0.00	0.00	0.00				
MSq2 acc =	Sqv acc*B	(kNm/m)	78.94	114.46	114.46				
		(kNm/m)	0.00	0.00	0.00				
MOMENTI DO	MOMENTI DOVUTI ALLE FORZE ESTERNE								
Mfext1 =	mp + m	(kNm/m)	0.00	0.00	0.00				
Mfext2 =	(fp + f)*(H3 + H2)	(kNm/m)	0.00	0.00	0.00				
Mfext3 =	$(vp+v)^*(B1 + B2 + B3/2)$	(kNm/m)	4.20	4.20	4.20				



11.2.3 SPINTE IN CONDIZIONE SISMICA +

SPINTE DEL TERRENO E DEL SOVRACCARICO - Spinta condizione sismica +		SLE	STR/GEO	EQU/RIB
Sst1 stat = $0.5^*\gamma'^*(H2+H3+H4+Hd)^2*ka$	(kN/m)	303.50	303.50	303.50
Sst1 sism = $0.5*_{y}$ '*(1+kv)*(H2+H3+H4+Hd)**kas*-Sst1 stat	(kN/m)	73.27	73.27	116.59
Ssq1 perm= qp*(H2+H3+H4+Hd)*kas ⁺	(kN/m)	0.00	0.00	0.00
$Ssq1 acc = qs*(H2+H3+H4+Hd)*kas^{+}$	(kN/m)	6.17	6.17	6.77
- Componente orizzontale condizione sismica +				
Sst1h stat = Sst1 stat* $\cos \delta$	(kN/m)	285.19	285.19	285.19
Sst1h sism = Sst1 sism* $\cos \delta$	(kN/m)	68.85	68.85	109.56
Ssq1h perm= Ssq1 perm* $\cos\delta$	(kN/m)	0.00	0.00	0.00
Ssq1h acc= Ssq1 acc*cosδ	(kN/m)	5.80	5.80	6.36
- Componente verticale condizione sismica +				
Sst1v stat = Sst1 stat*senδ	(kN/m)	103.80	103.80	103.80
Sst1v sism = Sst1 sism*sen _δ	(kN/m)	25.06	25.06	39.88
Ssq1v perm= Ssq1 perm*senδ	(kN/m)	0.00	0.00	0.00
Ssq1v acc= Ssq1 acc*senδ	(kN/m)	2.11	2.11	2.32
- Spinta passiva sul dente				
$Sp=\frac{1}{2}*\gamma_1'(1+kv) Hd^{2*}kps^+ + (2*c_1'*kps^{+0.5}+\gamma_1' (1+kv) kps^{+*}H2')*Hd$	(kN/m)	0.00	0.00	0.00
	_			
MOMENTI DELLA SPINTA DEL TERRENO E DEL SOVRACCARICO - Condizione sismica +		SLE	STR/GEO	EQU/RIB
	<u> </u>			

MOMENTI DELLA SPINTA DEL TERRENO E DEL SOVRACCARICO - Condizione sismica +		co	SLE	STR/GEO	EQU/RIB	
MSst1 stat = MSst1 sism= MSst2 stat = MSst2 sism = MSsq1 = MSsq2 = MSp =	Sst1h stat * ((H2+H3+H4+hd)/3-hd) Sst1h sism* ((H2+H3+H4+Hd)/3-Hd) Sst1v stat* B Sst1v sism* B Ssq1h * ((H2+H3+H4+Hd)/2-Hd) Ssq1v * B γ_1 '*Hd ³ *kps ⁺ /3+(2*c1'*kps ^{+0.5} + γ 1'*kps ^{+*} H2')*Hd ² /2	(kNm/m) (kNm/m) (kNm/m) (kNm/m) (kNm/m) (kNm/m) (kNm/m)	947.43 228.73 934.21 225.54 28.89 18.99 0.00	947.43 228.73 934.21 225.54 28.89 18.99 0.00	947.43 363.97 934.21 358.89 31.71 20.85 0.00	
MOMENTI DOVUTI ALLE FORZE ESTERNE Mfext1 = mp+ms (kNm/m) 0.00 Mfext2 = (fp+fs)*(H3 + H2) (kNm/m) 0.00 Mfext3 = (vp+vs)*(B1 + B2 + B3/2) (kNm/m) 4.20						



11.2.4 SPINTE IN CONDIZIONE SISMICA -

		_			
SPINTE DEL TERRE - Spinta condizione si	NO E DEL SOVRACCARICO		SLE	STR/GEO	EQU/RIB
•	*(H2+H3+H4+Hd)²*ka	(kN/m)	303.50	303.50	303.50
•	*(1-kv)*(H2+H3+H4+Hd)²*kas⁻-Sst1 stat	(kN/m)	54.34	54.34	89.66
Ssq1 perm= qp*(H	2+H3+H4+Hd)*kas ⁻	(kN/m)	0.00	0.00	0.00
Ssq1 acc = qs*(H	2+H3+H4+Hd)*kas ⁻	(kN/m)	6.25	6.25	6.98
- Componente orizzor	ntale condizione sismica -				
Sst1h stat = Sst1	stat*cosδ	(kN/m)	285.19	285.19	285.19
Sst1h sism = Sst1	sism*cos∂	(kN/m)	51.06	51.06	84.26
Ssq1h perm= Ssq1	perm* $\cos\delta$	(kN/m)	0.00	0.00	0.00
Ssq1h acc= Ssq1	$acc*cos\delta$	(kN/m)	5.87	5.87	6.56
- Componente vertical	e condizione sismica -				
Sst1v stat = Sst1	stat*sen δ	(kN/m)	103.80	103.80	103.80
Sst1v sism = Sst1	sism*sen δ	(kN/m)	18.58	18.58	30.67
Ssq1v perm= Ssq1	perm*sen δ	(kN/m)	0.00	0.00	0.00
Ssq1v acc= Ssq1	acc*senδ	(kN/m)	2.14	2.14	2.39
- Spinta passiva sul d	ente				
$Sp = \frac{1}{2} \gamma_1' (1 - kv) Hd^2 k p$	os ⁻ +(2*c ₁ '*kps ^{-0.5} + _γ 1' (1-kv) kps ⁻ *H2')*Hd	(kN/m)	0.00	0.00	0.00
		_			
MOMENTI DELLA SPINTA DEL TERRENO E DEL SOVRACCARICO - Condizione sismica -			SLE	STR/GEO	EQU/RIB
MSst1 stat = Sst1h	n stat * ((H2+H3+H4+hd)/3-hd)	(kNm/m)	947.43	947.43	947.43

- Condizione sismica -			SLE	STR/GEO	EQU/RIB
MSst1 stat = MSst1 sism= MSst2 stat = MSst2 sism =	Sst1h stat * ((H2+H3+H4+hd)/3-hd) Sst1h sism* ((H2+H3+H4+Hd)/3-Hd) Sst1v stat* B Sst1v sism* B	(kNm/m) (kNm/m) (kNm/m) (kNm/m)	947.43 169.62 934.21 167.26	947.43 169.62 934.21 167.26	947.43 279.90 934.21 276.00
MSsq1 = MSsq2 = MSp =	Ssq1h * ((H2+H3+H4+Hd)/2-Hd) Ssq1v * B $_{\gamma_1}$ '*Hd 3 *kps $^+$ /3+(2*c1'*kps $^{+0.5}$ + $_{\gamma}$ 1'*kps $^+$ *H2')*Hd 2 /2	(kNm/m) (kNm/m) (kNm/m)	29.26 19.23 0.00	29.26 19.23 0.00	32.69 21.49 0.00
MOMENTI DO Mfext1 = Mfext2 = Mfext3 =	mp+ms (fp+fs)*(H3 + H2) (vp+vs)*(B1 +B2 + B3/2)	(kNm/m) (kNm/m) (kNm/m)		0.00 0.00 4.20	



11.3 VERIFICHE GEOTECNICHE

11.3.1 VERIFICA STATICA A RIBALTAMENTO, SCORRIMENTO E CARICO LIMITE VERTICALE - C. DRENATE

VERIFICA ALLO SCORRIMENTO (STR/GEO)

Risult	ante forz	e verticali (N)			
N	=	Pm + Pt + v + Stv + Sqv perm + Sqv acc	1542.64	(kN/m)	
Risult	ante forz	e orizzontali (T)			
T	=	Sth + Sqh + f	405.69	(kN/m)	
Coeffi	ciente di	attrito alla base (f)			
f	=	tg_{ϕ} 1'	0.36	(-)	
Fs	scorr.	(N*f + Sp) / T	1.38	>	1.1

VERIFICA AL RIBALTAMENTO

Mom Ms		lizzante (Ms) Mm + Mt + Mfext3	7052.96	(kNm/m)
Mom Mr	ento ribalt =	ante (Mr) MSt + MSq + Mfext1+ Mfext2 + MSp	76.83	(kNm/m)

Fs ribaltamento Ms / Mr 91.80 > 1.15

VERIFICA CARICO LIMITE DELLA FONDAZIONE (STR/GEO)

Risultante forze verticali (N)	Nmin	Nmax			
N = Pm + Pt + v + Stv + Sqv (+ Sovr acc)	1542.64	1630.80	(kN/m)		
Risultante forze orizzontali (T)					
T = Sth + Sqh + f - Sp	405.69	405.69	(kN/m)		
Risultante dei momenti rispetto al piede di valle (MM)					
$MM = \sum M$	6976.12	7434.56	(kNm/m)		
Momento rispetto al baricentro della fondazione (M)					
M = Xc*N - MM	-34.23	- 95.94	(kNm/m)		

Formula Generale per il Calcolo del Carico Limite Unitrario (Brinch-Hansen, 1970)



Fondazione Nastriforme

FS carico limite

qlim = c'Nc*ic	+ q_0 *Nq*iq + 0.5 * γ 1*B*N γ *i γ			
c1' φ1' γ1	coesione terreno di fondaz. angolo di attrito terreno di fondaz. peso unità di volume terreno fondaz.	3.00 20.00 12.89		(kPa) (°) (kN/m³)
$q_0 = \gamma d^*H2'$	sovraccarico stabilizzante	28.50		(kN/m ²)
e = M / N B*= B - 2e	eccentricità larghezza equivalente	-0.02 8.96	-0.06 8.88	(m) (m)
l valori di Nc, N	q e Ng sono stati valutati con le espressioni suggerite da Vesic (1975)			
	$g'/2$)* $e^{(\pi^* t g_{(\phi')})}$ (1 in cond. nd) $g_{(\phi')}$ (2+ $_{\pi}$ in cond. nd))* $tg_{(\phi')}$ (0 in cond. nd)	6.40 14.83 5.39		(-) (-) (-)
l valori di ic, iq	e iγ sono stati valutati con le espressioni suggerite da Vesic (1975)			
iq = (1 - T/(N + ic = iq - (1 - iq)) $i_{\gamma} = (1 - T/(N + iq))$	/(Nq - 1)	0.56 0.48 0.42	0.58 0.48 0.42	(-) (-) (-)
(fondazione nas	striforme m = 2)			
qlim	(carico limite unitario)	254.31	257.81	(kN/m ²)

F = qlim*B*/N

1.48

1.40

1.4

Nmin

Nmax

11.3.2 VERIFICA SISMICA A RIBALTAMENTO, SCORRIMENTO E CARICO LIMITE VERTICALE - C. **DRENATE**

Condizione sismica +

VERIFICA ALLO SCORRIMENTO

Fs	=	(N*f + Sp) / T	1.27	>	1
Coef f	ficiente di =	attrito alla base (f) $tg_{\phi 1}\text{'}$	0.36	(-)	
	tante forz =	e orizzontali (T) Sst1h + Ssq1h + fp + fs +Ps h + Ptsh	449.31	(kN/m)	
Risu N	tante forz =	e verticali (N) Pm+ Pt + vp + vs + Sst1v + Ssq1v + Ps v + Ptsv	1570.69	(kN/m)	

VERIFICA AL RIBALTAMENTO

Fr	=	Ms / Mr	18.10	>	1
Mom Mr		tante (Mr) MSst+MSsq+Mfext1+Mfext2+MSp+MPs+Mpts	389.72	(kNm/m)	
Mom Ms		ilizzante (Ms) Mm + Mt + Mfext3	7052.96	(kNm/m)	

VERIFICA A CARICO LIMITE DELLA FONDAZIONE

Risul	tante forz	e verticali (N)	Nmin	Nmax	
N	=	Pm+ Pt + vp + vs + Sst1v + Ssq1v + Ps v + Ptsv + (Sovr acc)	1570.69	1582.85	(kN/m)
Risul	tante forz	e orizzontali (T)			
	=	Sst1h + Ssq1h + fp + fs +Ps h + Ptsh - Sp	449.31		(kN/m)
Risul	tante dei l	momenti rispetto al piede di valle (MM)			
MM		ΣM	6786.28	6849.52	(kNm/m)
Mom	ento riene	etto al baricentro della fondazione (M)			
М	=	Xc*N - MM	281.82	273.30	(kNm/m)

Formula Generale per il Calcolo del Carico Limite Unitrario (Brinch-Hansen, 1970)



NV58: MURO DI SOTTOSCARPA MU83F RELAZIONE DI CALCOLO COMMESSA RS3T CODIFICA CL

LOTTO

30 D 78

DOCUMENTO

MU83F0 001

REV. FOGLIO

C 78 di 90

Fondazione Nastriforme

-					
c1' φ1' γ1	angolo di attr	eno di fondaz. ito terreno di fondaz. volume terreno fondaz.	3.00 20.00 12.89		(kN/mq) (°) (kN/m³)
$q_0 = \gamma d^*H2'$	sovraccarico	stabilizzante	28.50		(kN/m^2)
e = M / N B*= B - 2e	eccentricità larghezza ec	quivalente	0.18 8.64	0.17 8.65	(m) (m)
l valori di Nc, N	q e Ng sono s	tati valutati con le espressioni suggerite da Vesic (1975)			
Nq = $tg^2(45 + \phi)$ Nc = (Nq - 1)/ tg N γ = 2*(Nq + 1)	g(φ')	(1 in cond. nd) $ (2+_{\pi} \text{ in cond. nd}) $ (0 in cond. nd)	6.40 14.83 5.39		(-) (-)
I valori di ic, iq	e i _γ sono stati	valutati con le espressioni suggerite da Vesic (1975)			
iq = (1 - T/(N + ic = iq - (1 - iq)/iq + iq = (1 - T/(N + iq)/iq + iq = (1 - T/(N + iq + i	(Nq - 1)	(1 in cond. nd)	0.53 0.44 0.38	0.53 0.44 0.38	(-) (-) (-)
(fondazione nas	striforme m = 2	2)			
qlim	(carico limite	unitario)	230.75	231.64	(kN/m^2)

FS carico limite

F = qlim*B*/N

Nmin Nmax 1.27 1.27

_

1.2



Condizione sismica -

VERIFICA ALLO SCORRIMENTO

Risulta	ante forze	e verticali (N)			
N	=	Pm+ Pt + vp + vs + Sst1v + Ssq1v + Ps v + Ptsv	1474.77	(kN/m)	
		e orizzontali (T)			
T	=	Sst1h + Ssq1h + fp + fs +Ps h + Ptsh	431.59	(kN/m)	
	ciente di a	attrito alla base (f)			
f	=	tg _{φ1} '	0.36	(-)	
Fs	=	(N*f + Sp) / T	1.24	>	1
<u>VERI</u>	FICA AL	. RIBALTAMENTO			
Mome	nto stabi	lizzante (Ms)			
Ms	=	Mm + Mt + Mfext3	7052.96	(kNm/m)	
	nto ribalt	ante (Mr)			
Mr	=	MSst+MSsq+Mfext1+Mfext2+MSp+MPs+Mpts	1073.19	(kNm/m)	
Fr	=	Ms / Mr	6.57	>	1
	_				

VERIFICA A CARICO LIMITE DELLA FONDAZIONE

Risultante f N =	orze verticali (N) Pm+ Pt + vp + vs + Sst1v+ Ssq1v+ Ps v+ Ptsv	Nmin 1474.77	Nmax 1486.93	(kN/m)
Risultante f	orze orizzontali (T) Sst1h + Ssq1h + fp + fs +Ps h + Ptsh - Sp	431.59		(kN/m)
Risultante d MM =	dei momenti rispetto al piede di valle (MM) $\Sigma {\sf M}$	6330.77	6394.00	(kNm/m)
Momento ri	spetto al baricentro della fondazione (M) Xc*N - MM	305.71	297.20	(kNm/m)

Formula Generale per il Calcolo del Carico Limite Unitrario (Brinch-Hansen, 1970)



NV58: MURO DI SOTTOSCARPA MU83F RELAZIONE DI CALCOLO COMMESSA RS3T LOTTO 30 D 78 CODIFICA CL

DOCUMENTO MU83F0 001

1.31

1.31

Nmin

Nmax

REV.

FOGLIO 80 di 90

1.2

Fondazione Nastriforme

FS carico limite

qlim = c'Nc*ic + q_0 *Nq*iq + 0.5* γ 1*B*N γ *i γ

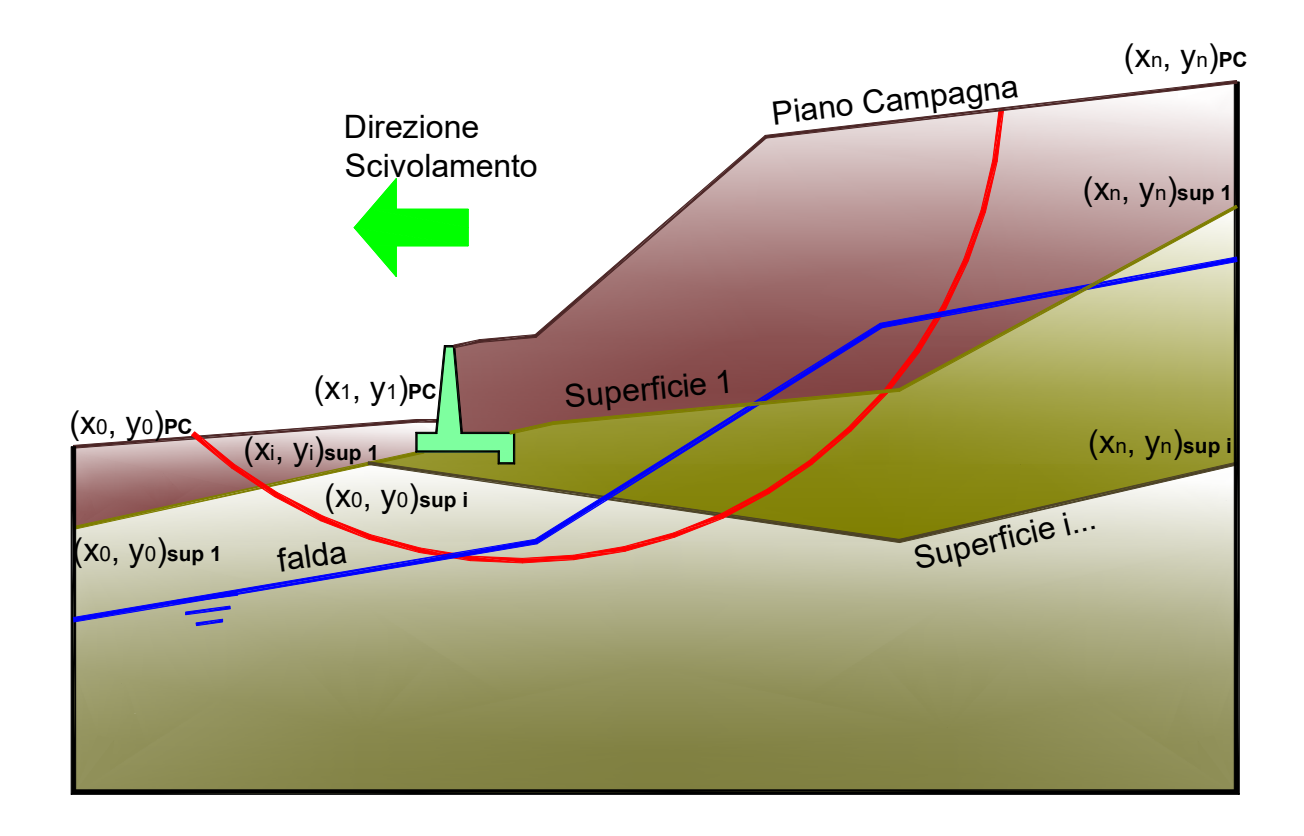
c1' φ1' γ1	coesione terreno di fondaz. angolo di attrito terreno di fondaz. peso unità di volume terreno fondaz.	3.00 20.00 12.89		(kN/mq) (°) (kN/m³)
$q_0 = \gamma d^*H2'$	sovraccarico stabilizzante	28.50		(kN/m^2)
e = M / N B*= B - 2e	eccentricità larghezza equivalente	0.21 8.59	0.20 8.60	(m) (m)
I valori di Nc, N	q e Ng sono stati valutati con le espressioni suggerite da Vesic (1975)			
$N_{\gamma} = 2^*(Nq + 1)$	(ϕ') (2+ π in cond. nd) *tg(ϕ') (0 in cond. nd)	6.40 14.83 5.39		(-) (-) (-)
I valori di ic, iq	e i $_{\gamma}$ sono stati valutati con le espressioni suggerite da Vesic (1975)			
iq = (1 - T/(N + ic = iq - (1 - iq)/iq + ig = (1 - T/(N + iq)/iq + ig = (1 - T/(N + iq)/iq + ig = (1 - T/(N + iq)/iq + iq)/iq = (1 - T/(N + iq)/iq + iq)/i	(Nq - 1)	0.52 0.43 0.37	0.52 0.43 0.37	(-) (-)
(fondazione nas	triforme m = 2)			
qlim	(carico limite unitario)	225.48	226.44	(kN/m ²)

F = qlim*B*/N

GRUPPO FERROVIE DELLO STATO ITALIANE	NUOVO CO TRATTA VA	LEGAME	NTO PALERI	NA – CATANIA – 10 – CATANIA SETTA XIRBI (LO – LOTTO 3B		
NV58: MURO DI SOTTOSCARPA MU83F	COMMESSA	LOTTO	CODIFICA	DOCUMENTO	REV.	FOGLIO
RELAZIONE DI CALCOLO	RS3T	30 D 78	CL	MU83F0 001	С	81 di 90

11.3.3 VERIFICA DI STABILITÀ GLOBALE - COND. DRENATE

Le analisi di stabilità, di seguito riportate, sono state effettuate limitando la ricerca delle potenziali superfici di scorrimento critiche alla fascia più prossima alla linea stradale.

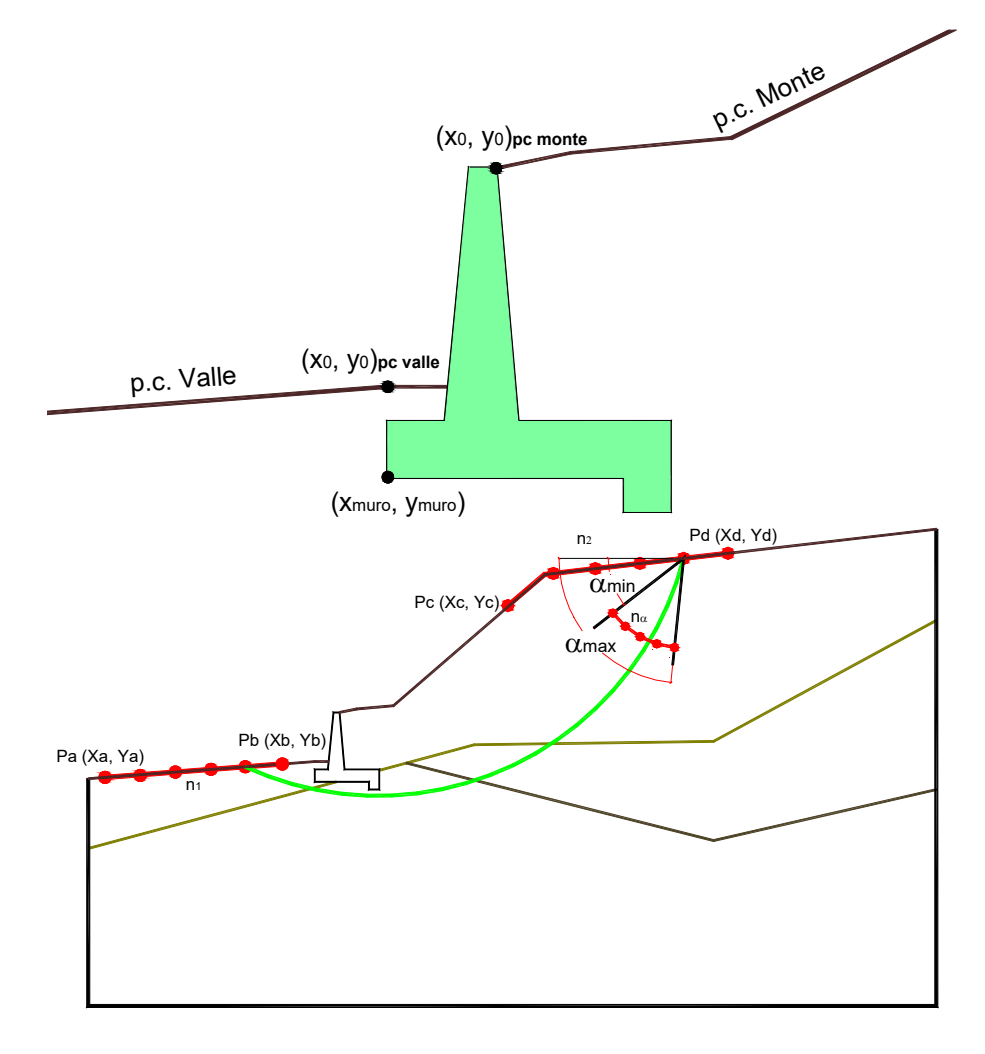


	γ [kN/m³]	ф [°]	c [kPa]	Descrizione
materiale 1	19.00	28	0	Rilevato - riporto
materiale 2	21.00	16	2.4	Coltre



NV58: MURO DI SOTTOSCARPA MU83F RELAZIONE DI CALCOLO
 COMMESSA
 LOTTO
 CODIFICA
 DOCUMENTO
 REV.
 FOGLIO

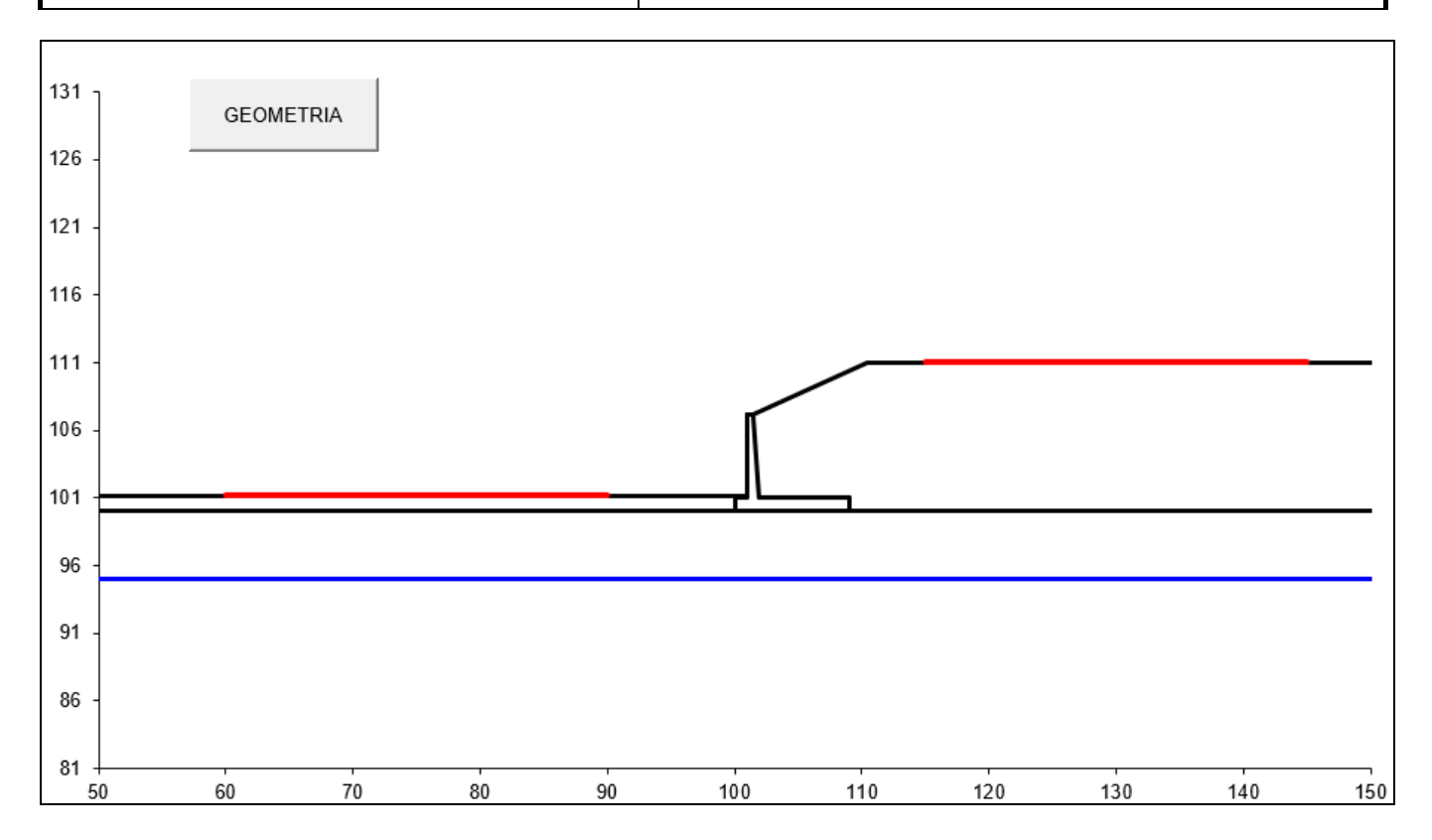
 RS3T
 30 D 78
 CL
 MU83F0 001
 C
 82 di 90



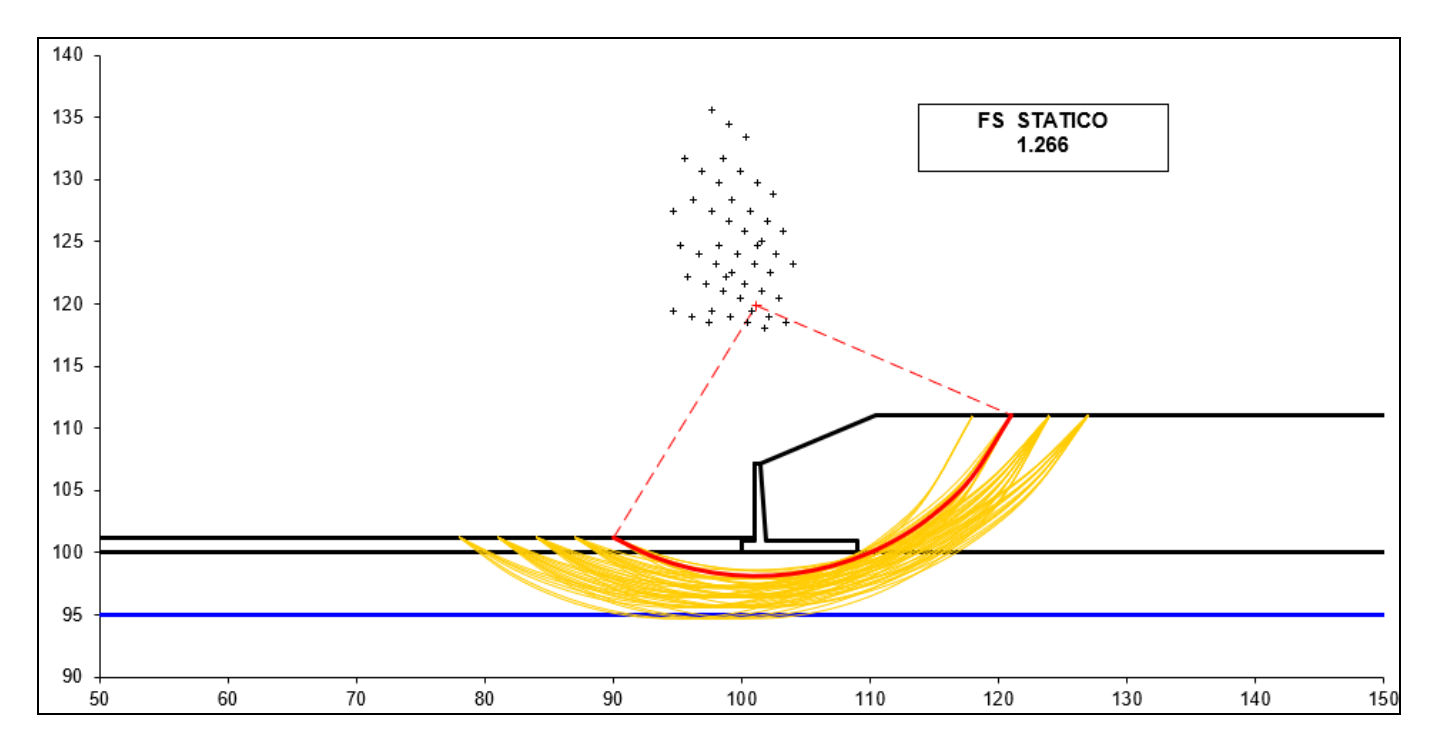
	p.c. va	lle		p.c. mo	nte		superfic	ie 1		superfic	cie 2		superfic	ie 3			
		materiale 1		▼		ı	mate	riale 2		mate	eriale 3		mate	riale 4		Ç lda	
	Х	у		Х	у		Х	у		Х	у		х	у		Х	у
0	100.000	101.200	0	101.400	107.200	0	50.000	100.000	0			0			0	50.000	95.000
1	50.000	101.200	1	110.400	111.000	1	150.000	100.000	1			1			1	150.000	95.000
2			2	150.000	111.000	2			2			2			2		

Sovraccarichi

GRUPPO FERROVIE DELLO STATO ITALIANE	NUOVO COI TRATTA VA	LEGAME	NTO PALERI	NA – CATANIA – 10 – CATANIA SETTA XIRBI (LO – LOTTO 3B		0
NV58: MURO DI SOTTOSCARPA MU83F	COMMESSA	LOTTO	CODIFICA	DOCUMENTO	REV.	FOGLIO
RELAZIONE DI CALCOLO	RS3T	30 D 78	CL	MU83F0 001	С	83 di 90

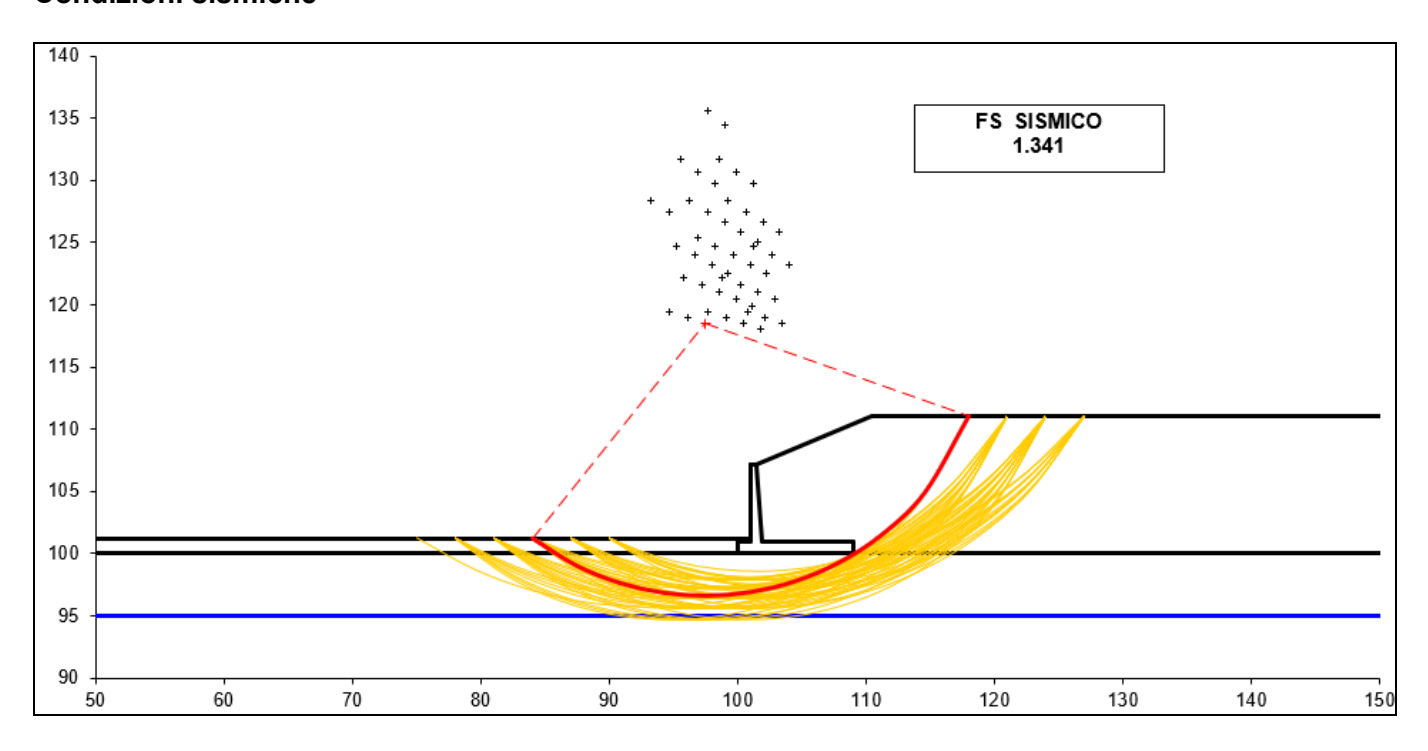


Condizioni statiche



NV36. INIONO DI 301103CARFA IVI063F	CUMENTO	REV.	FOGLIO

Condizioni sismiche



11.4 VERIFICHE STRUTTURALI

11.4.1 CALCOLO DELLE SOLLECITAZIONI

Reazione del terreno

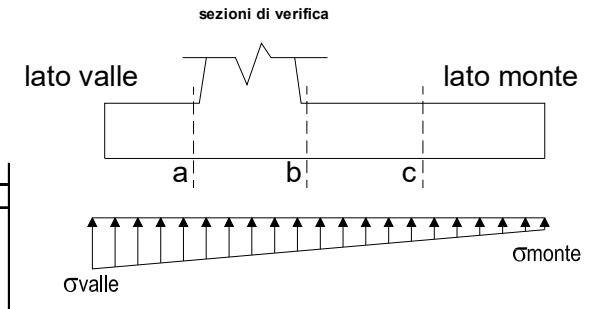
σvalle = N / A + M / Wgg

omonte = N / A - M / Wgg

A = 1.0*B 9.00 (m^2)

 $Wgg = 1.0*B^2/6$ 13.50 (m³)

	N	M	σvalle	σmonte
caso	[kN]	[kNm]	[kN/m ²]	[kN/m²]
statico	1542.64	-34.23	168.87	173.94
Statico	1630.80	-95.94	174.09	188.31
sisma+	1570.69	281.82	195.40	153.65
SiSilia	1582.85	273.30	196.12	155.63
sisma-	1474.77	305.71	186.51	141.22
SiSilia-	1486.93	297.20	187.23	143.20

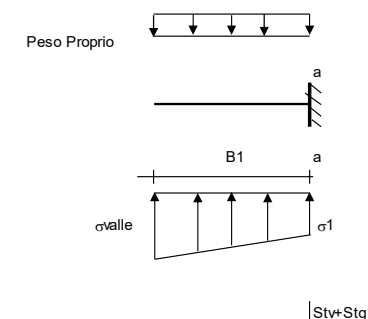


Mensola Lato Valle

PP = Peso Proprio. 25.00 (kN/m)

Ma = $_{\sigma}1*B1^{2}/2 + (_{\sigma}valle - _{\sigma}1)*B1^{2}/3 - PP*B1^{2}/2*(1\pm kv)$ $Va = {}_{\sigma}1*B1 + ({}_{\sigma}valle - {}_{\sigma}1)*B1/2 - PP*B1*(1\pm kv)$

caso	σvalle	σ1	Ma	Va
Caso	[kN/m ²]	[kN/m ²]	[kNm]	[kN]
statico	168.87	169.43	72.03	144.15
Statico	174.09	175.67	74.81	149.88
sisma+	195.40	190.76	84.02	167.27
SiSilia	196.12	191.62	84.81	168.06
sisma-	186.51	181.48	80.32	158.19
515111a-	187.23	182.34	80.30	158.98



PP

Peso del Terrapieno

PD

B5 - B5/2

Mensola Lato Monte

PP	=	25.00	(kN/m ²)	peso proprio soletta fondazione
PD	=	0.00	(kN/m)	peso proprio dente

		Nmin	N max stat	N max sism	
pm	=	170.36	181.96	171.96	(kN/m^2)
pvb	=	121.33	132.93	122.93	(kN/m^2)
pvc	=	145.84	157.44	147.44	(kN/m^2)

 $Mb = (_{Omonte} - (pvb + PP)^*(1 \pm kv))^*B5^2/2 + (_{O}2b - _{Omonte})^*B5^2/6 - (pm-pvb))^*(1 \pm kv)^*B5^2/3 + (_{O}2b - _{Omonte})^*B5^2/6 - (pm-pvb))^*(1 \pm kv)^*B5^2/6 + (_{O}2b - _{Omonte})^*B5^2/6 - (_{O}2b - _{Omonte})^*B5^2/6 + (_{O}2b - _{Omonte})^*B5^2/6 - (_{O}2b - _{Omonte})^*B5^2/6 + (_{O}2b - _{Omonte})^*B5^2/6 - (_{O}2b - _{Omonte})^*B5^2/6 + (_{O}2b - _{Omonte})^*B5^2/$ -(Stv+Sqv)*B5-PD*(1±kv)*(B5-Bd/2)-PD*kh*(Hd+H2/2)+Msp+Sp*H2/2

 $Mc = (\sigma_{monte} - (pvc + PP)^*(1\pm kv))^*(B5/2)^2/2 + (\sigma_{monte})^*(B5/2)^2/6 - (pm-pvc)^*(1\pm kv)^*(B5/2)^2/3 + (pvc + PP)^*(1\pm kv))^*(B5/2)^2/3 + (pvc + PP)^*(1\pm kv)^2/3 + (pvc + PP)^*(1\pm kv)^2/3 + (pvc + PP)^2/3 + (pvc + PP)$ -(Stv+Sqv)*(B5/2)-PD*(1±kv)*(B5/2-Bd/2)-PD*kh*(Hd+H2/2)+Msp+Sp*H2/2

 $Vb = (\sigma_{monte} - (pvb + PP)^*(1\pm kv))^*B5 + (\sigma 2b - \sigma_{monte})^*B5/2 - (pm - pvb))^*(1\pm kv)^*B5/2 - (Stv + Sqv) - PD^*(1\pm kv)$

 $Vc = (\sigma_{monte} - (pvc + PP)^*(1 \pm kv))^*(B5/2) + (\sigma_2 c - \sigma_{monte})^*(B5/2)/2 - (pm-pvc)^*(1 \pm kv)^*(B5/2)/2 - (Stv + Sqv) - PD^*(1 \pm kv)$

caso	σmonte	σ2b	Mb	Vb	σ2c	Мс	Vc
Caso	[kN/m ²]	[kN/m ²]	[kNm]	[kN]	[kN/m ²]	[kNm]	[kN]
statico	173.94	169.95	-1207.89	-139.85	171.94	-610.86	-196.71
Statico	188.31	177.11	-1198.69	-145.77	182.71	-601.02	-193.28
sisma+	153.65	186.54	-1435.28	-175.24	170.09	-678.41	-227.10
Sisiliat	155.63	187.52	-1435.31	-176.42	171.58	-677.38	-226.81
sisma-	141.22	176.90	-1389.25	-169.13	159.06	-655.09	-220.50
sisma-	143.20	177.89	-1386.69	-169.58	160.54	-653.41	-219.85

NV58: MURO DI SOTTOSCARPA MU83F RELAZIONE DI CALCOLO

COMMESSA LOTTO CODIFICA DOCUMENTO FOGLIO REV. RS3T 30 D 78 CL MU83F0 001 С 86 di 90

CALCOLO SOLLECITAZIONI PARAMENTO VERTICALE DEL MURO

Azioni sulla parete e Sezioni di Calcolo

Mt stat = $\frac{1}{2} \text{Ka}_{\text{orizz.}}^{*} \gamma^{*} (1 \pm k v)^{*} h^{2*} h/3$

Mt sism = $\frac{1}{2}$ * γ *(Kas_{orizz}*(1±kv)-Ka_{orizz}.)*h²*h/2 o *h/3

= $\frac{1}{2}$ Ka_{orizz}*q*h² Mq $\mathsf{M}_{\mathsf{ext}}$ = m+f*h

 $M_{inerzia} = \sum Pm_i *b_i *kh$

 N_{ext} = v

N _{pp+inerzia}= $\Sigma Pm_i^*(1\pm kv)$

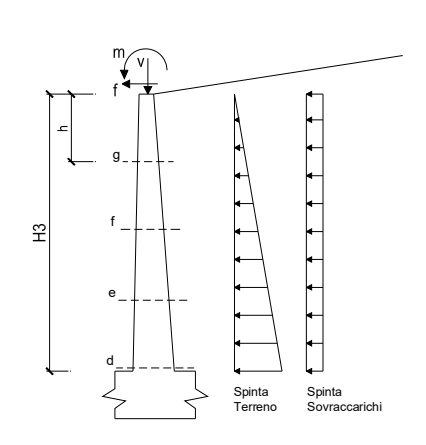
Vt stat = $\frac{1}{2}$ Ka_{orizz}* γ *(1±kv)*h²

Vt sism = $\frac{1}{2} * \gamma * (Kas_{orizz.} * (1\pm kv)-Ka_{orizz.}) * h^2$

 $Vq = Ka_{orizz}^*q^*h$

 $V_{ext} = f$

 $V_{inerzia} = \sum Pm_i *kh$



condizione statica

sezione	h	Mt	Mq	M _{ext}	M _{tot}	N _{ext}	N _{pp}	N _{tot}
50210110	[m]	[kNm/m]	[kNm/m]	[kNm/m]	[kNm/m]	[kN/m]	[kN/m]	[kN/m]
d-d	6.20	296.54	67.39	0.00	363.92	3.50	101.53	105.03
e-e	4.65	125.10	37.90	0.00	163.01	3.50	68.73	72.23
f-f	3.10	37.07	16.85	0.00	53.91	3.50	40.88	44.38
g-g	1.55	4.63	4.21	0.00	8.85	3.50	17.97	21.47

sezione	h	Vt	Vq	$V_{\rm ext}$	V _{tot}
30210110	[m]	[kN/m]	[kN/m]	[kN/m]	[kN/m]
d-d	6.20	143.49	21.74	0.00	165.22
e-e	4.65	80.71	16.30	0.00	97.01
f-f	3.10	35.87	10.87	0.00	46.74
g-g	1.55	8.97	5.43	0.00	14.40

condizione sismica +

sezione	h	Mt stat	Mt sism	Mq	M _{ext}	M _{inerzia}	M _{tot}	N _{ext}	N _{pp+inerzia}	N _{tot}
	[m]	[kNm/m]	[kNm/m]	[kNm/m]	[kNm/m]	[kNm/m]	[kNm/m]	[kN/m]	[kN/m]	[kN/m]
d-d	6.20	228.11	58.60	11.18	0.00	17.61	315.50	3.50	104.79	108.29
e-e	4.65	96.23	24.72	6.29	0.00	9.17	136.41	3.50	70.94	74.44
f-f	3.10	28.51	7.33	2.79	0.00	3.75	42.38	3.50	42.20	45.70
g-g	1.55	3.56	0.92	0.70	0.00	0.85	6.03	3.50	18.55	22.05

sezione	h	Vt stat	Vt sism	Vq	V _{ext}	V _{inerzia}	V _{tot}
	[m]	[kN/m]	[kN/m]	[kN/m]	[kN/m]	[kN/m]	[kN/m]
d-d	6.20	110.37	28.36	3.61	0.00	6.53	148.86
e-e	4.65	62.09	15.95	2.70	0.00	4.42	85.16
f-f	3.10	27.59	7.09	1.80	0.00	2.63	39.11
g-g	1.55	6.90	1.77	0.90	0.00	1.16	10.73

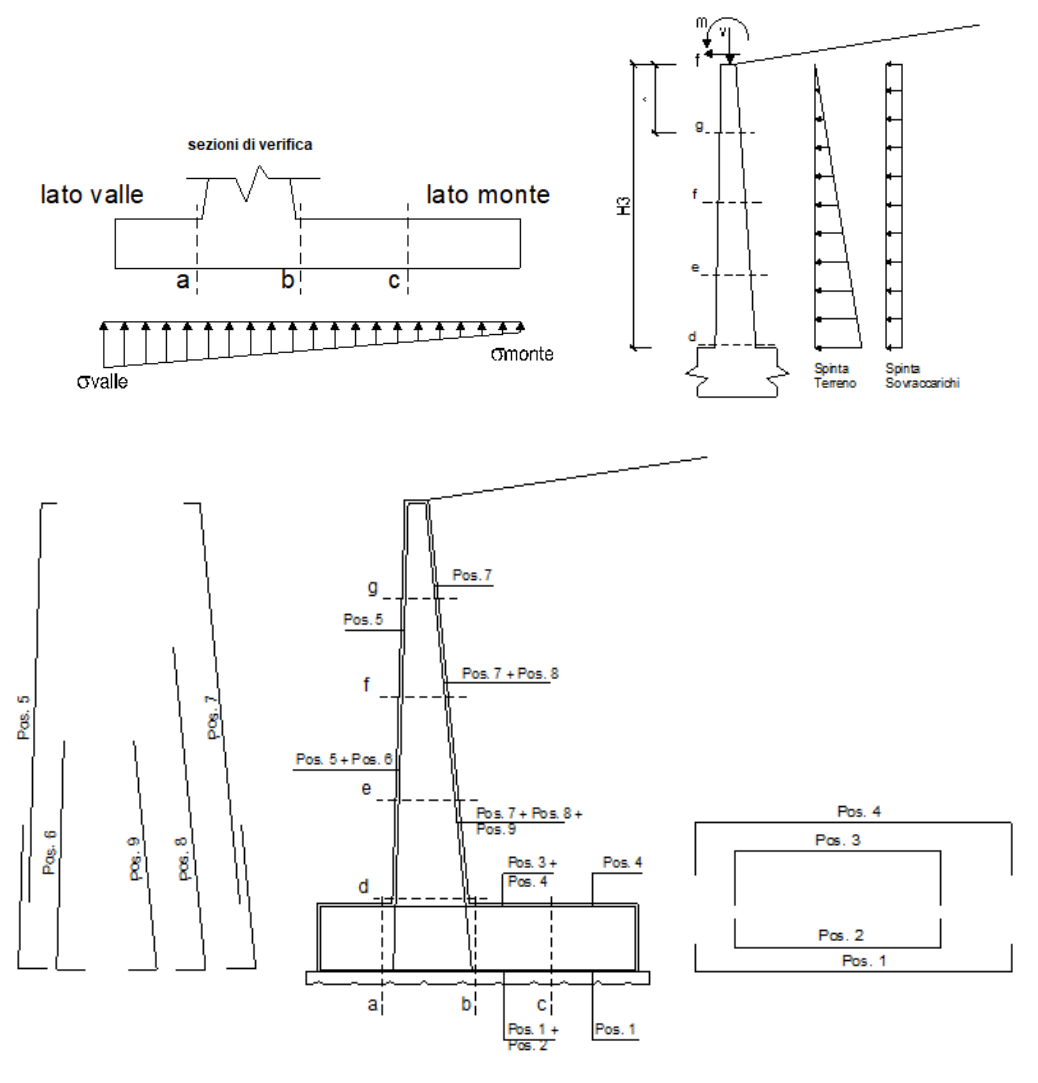
condizione sismica -

sezione	h	Mt stat	Mt sism	Mq	M _{ext}	M _{inerzia}	M _{tot}	N _{ext}	N _{pp+inerzia}	N _{tot}
	[m]	[kNm/m]	[kNm/m]	[kNm/m]	[kNm/m]	[kNm/m]	[kNm/m]	[kN/m]	[kN/m]	[kN/m]
d-d	6.20	228.11	43.46	11.32	0.00	17.61	300.50	3.50	98.26	101.76
e-e	4.65	96.23	18.33	6.37	0.00	9.17	130.10	3.50	66.52	70.02
f-f	3.10	28.51	5.43	2.83	0.00	3.75	40.52	3.50	39.57	43.07
g-g	1.55	3.56	0.68	0.71	0.00	0.85	5.81	3.50	17.39	20.89

sezione	h	Vt stat	Vt sism	Vq	$V_{\rm ext}$	V _{inerzia}	V_{tot}
	[m]	[kN/m]	[kN/m]	[kN/m]	[kN/m]	[kN/m]	[kN/m]
d-d	6.20	110.37	21.03	3.65	0.00	6.53	141.58
e-e	4.65	62.09	11.83	2.74	0.00	4.42	81.07
f-f	3.10	27.59	5.26	1.83	0.00	2.63	37.31
g-g	1.55	6.90	1.31	0.91	0.00	1.16	10.28



11.4.2 VERIFICHE SLU



Armatura minima

L'armatura minima principale in fondazione deve essere in percentuale non inferiore allo 0.20% dell'area di conglomerato.

L'armatura minima principale presente in zona tesa deve essere in percentuale non inferiore allo 0.15% dell'area di conglomerato per l'intera lunghezza.

L'armatura secondaria, ortogonale a quella principale, deve essere pari al massimo delle seguenti percentuali:

- 0.10% dell'area di conglomerato in entrambi i lembi;
- 20% dell'armatura principale.

Muro h =6,00m su fondazione diretta

ARMATURE

pos	n°/ml	ф	∐ strato	pos	n°/ml	ф	∐ strato
1	10.0	20		5	10.0	20	
2	0.0	0		6	0.0	0	
3	10.0	24	~	7	10.0	20	_
4	10.0	24		8	0.0	0	
•				9	0.0	0	

Pertanto l'armatura secondaria sarà pari a:

sez a - a: $\phi 14/20$ cm (ripartitori in fondazione e in elevazione);

sez b – b: ϕ 14/20cm (ripartitori in fondazione);

sez c – c: ϕ 14/20cm (ripartitori in fondazione);

sez d - d: $\phi 14/20$ cm (ripartitori in fondazione);

sez e - e: ϕ 14/20cm (ripartitori in fondazione);

sez f – f: ϕ 14/20cm (ripartitori in fondazione);

sez g - g: $\phi 14/20$ cm (ripartitori in fondazione);

Sez.	М	N	h	Af	A'f	Mu
(-)	(kNm)	(kN)	(m)	(cm ²)	(cm ²)	(kNm)
a - a	84.81	0.00	1.00	31.42	90.48	1112.26
b - b	-1435.31	0.00	1.00	90.48	31.42	2853.34
C - C	-678.41	0.00	1.00	45.24	31.42	1516.71
d - d	363.92	105.03	0.91	31.42	31.42	998.26
e -e	163.01	72.23	0.78	31.42	31.42	824.77
f - f	53.91	44.38	0.66	31.42	31.42	656.66
g - g	8.85	21.47	0.53	31.42	31.42	492.98

(n.b.: M+ tende le fibre di intradosso, M- tende le fibre di estradosso)

Sez.	V _{Ed}	h	V_{rd}	ø staffe	i orizz.	i vert.	θ	V_{Rsd}	
(-)	(kN)	(m)	(kN)	(mm)	(cm)	(cm)	(°)	(kN)	-
a - a	168.06	1.00	357.62	14	20	20	21.8	3090.14	Armatura a taglio non necessaria
b - b	176.42	1.00	508.81	14	20	20	21.8	3090.14	Armatura a taglio non necessaria
c - c	227.10	1.00	403.84	14	20	20	21.8	3090.14	Armatura a taglio non necessaria
d - d	165.22	0.91	353.59	14	20	20	21.8	2785.19	Armatura a taglio non necessaria
e -e	97.01	0.78	321.72	14	20	20	21.8	2353.18	Armatura a taglio non necessaria
f - f	46.74	0.66	288.56	14	20	20	21.8	1921.17	Armatura a taglio non necessaria
g - g	14.40	0.53	253.39	14	20	20	21.8	1489.16	Armatura a taglio non necessaria

11.4.3 VERIFICHE SLE TENSIONE

Condizione Statica

Sez.	М	N	h	Af	A'f	$\sigma^{\scriptscriptstyle extsf{C}}$	σf
(-)	(kNm)	(kN)	(m)	(cm ²)	(cm ²)	(N/mm ²)	(N/mm ²)
a - a	65.81	0.00	1.00	31.42	90.48	0.49	25.25
b - b	-897.66	0.00	1.00	90.48	31.42	5.52	133.67
c - c	-449.07	0.00	1.00	45.24	31.42	3.31	120.55
d - d	274.58	105.03	0.91	31.42	31.42	2.81	101.25
e -e	122.37	72.23	0.78	31.42	31.42	1.65	51.48
f - f	40.13	44.38	0.66	31.42	31.42	0.76	18.72
g - g	6.47	21.47	0.53	31.42	31.42	0.19	2.30

Condizione Sismica

00							
Sez.	М	N	h	Af	A'f	$\sigma^{\scriptscriptstyle extsf{C}}$	σf
(-)	(kNm)	(kN)	(m)	(cm ²)	(cm ²)	(N/mm ²)	(N/mm^2)
a - a	84.41	0.00	1.00	31.42	90.48	0.62	32.38
b - b	-1435.31	0.00	1.00	90.48	31.42	8.82	213.73
C - C	-678.41	0.00	1.00	45.24	31.42	5.00	182.12
d - d	315.50	101.76	0.91	31.42	31.42	3.22	119.12
е -е	136.41	70.02	0.78	31.42	31.42	1.84	58.92
f - f	42.38	43.07	0.66	31.42	31.42	0.80	20.31
g - g	6.03	20.89	0.53	31.42	31.42	0.18	2.04

(n.b.: M+ tende le fibre di intradosso, M- tende le fibre di estradosso)

11.4.4 VERIFICHE SLE FESSURAZIONE

condizione Frequente

Sez.	M	N	h	Af	A'f	$\sigma^{\rm C}$	σ^{f}	wk	\mathbf{w}_{amm}
(-)	(kNm)	(kN)	(m)	(cm ²)	(cm ²)	(N/mm ²)	(N/mm ²)	(mm)	(mm)
a - a	65.81	0.00	1.00	31.42	90.48	0.49	25.25	0.036	0.200
b - b	-897.66	0.00	1.00	90.48	31.42	5.52	133.67	0.165	0.200
c - c	-449.07	0.00	1.00	45.24	31.42	3.31	120.55	0.157	0.200
d - d	274.58	105.03	0.91	31.42	31.42	2.81	101.25	0.146	0.200
e -e	122.37	72.23	0.78	31.42	31.42	1.65	51.48	0.069	0.200
f - f	40.13	44.38	0.66	31.42	31.42	0.76	18.72	0.023	0.200
g - g	6.47	21.47	0.53	31.42	31.42	0.19	2.30	0.002	0.200

(n.b.: M+ tende le fibre di intradosso, M- tende le fibre di estradosso)

condizione Quasi Permanente

Sez.	M	N	h	Af	A'f	$\sigma^{\scriptscriptstyle extsf{C}}$	σ^{f}	wk	\mathbf{w}_{amm}
(-)	(kNm)	(kN)	(m)	(cm ²)	(cm ²)	(N/mm ²)	(N/mm ²)	(mm)	(mm)
a - a	60.64	0.00	1.00	31.42	90.48	0.45	23.27	0.033	0.200
b - b	-788.71	0.00	1.00	90.48	31.42	4.85	117.45	0.137	0.200
C - C	-396.43	0.00	1.00	45.24	31.42	2.92	106.42	0.139	0.200
d - d	228.11	105.03	0.91	31.42	31.42	2.34	81.52	0.117	0.200
e -e	96.23	72.23	0.78	31.42	31.42	1.31	38.24	0.051	0.200
f - f	28.51	44.38	0.66	31.42	31.42	0.55	11.48	0.014	0.200
g - g	3.56	21.47	0.53	31.42	31.42	0.10	0.35	0.000	0.200